

D-417

UNIVERSITET U BEOGRADU

PRIRODNO-MATEMATIČKI FAKULTET

INSTITUT ZA FIZIČKU HEMIJU

Slobodan K. Milonjić

**SORPCIONI PROCESI NA GRANIČNOJ POVRŠINI
KOLOIDNOG SILICIJUMDIOKSIDA**

Doktorska disertacija

Galerija
D

417

54.18(043.3)



050000417



COBISS ©

Beograd, 1981.

UNIVERZITET U BEOGRADU
PRIRODNO-MATEMATIČKI FAKULTET
INSTITUT ZA FIZIČKU HEMIJU



Slobodan K. Milonjić

SORPCIONI PROCESI NA GRANIČNOJ POVRŠINI
KOLOIDNOG SILICIJUMDIOKSIDA

Doktorska disertacija

Beograd, 1981.

D-417

Ун бг 417



Ova disertacija je radjena u Laboratoriji za hemijsku dinamiku i procesnu tehniku Instituta za nuklearne nauke "Boris Kidrič" u Vinči. Jedan deo ispitivanja je obavljen na katedri za koloidnu hemiju Hemijsko-tehnološkog instituta "D.I.Mendeljeev" u Moskvi (SSSR).

Zahvaljujem se Republičkoj zajednici nauke SR Srbije i Medjunarodnoj agenciji za atomsku energiju u Beču, čija su finansijska sredstva omogućila izradu ovog rada.

Posebnu zahvalnost izražavam prof.dr Milenku Šušiću, dopisnom članu SANU, koji je, i pored svojih brojnih obaveza, našao vremena da se prihvati rukovodjenja ovom tezom. Diskusije, saveti i sugestije koje mi je pružio prof.Šušić bile su od velike pomoći u toku pripreme završnog oblika ove disertacije.

Moj dragi prijatelj i kolega dr Miroslav Kopečni me je tokom izrade ovog rada mnogo zadužio svojom podrškom, stalnim interesovanjem i podsticanjem kao i na neposrednoj pomoći u jednom delu eksperimentalnog rada.

Koleginici Zoji Ilić, dipl.inž. dugujem zahvalnost na korisnim diskusijama u toku izrade rada.

Prof. dr Juriju G. Frolovu, šefu katedre za koloidnu hemiju Hemijsko-tehnološkog instituta "D .I.Mendeljeev" u Moskvi, zahvaljujem na korisnim diskusijama, prijateljstvu i gospodarstvu.

Zahvaljujem se doc.dr Nadeždi Petranović na čitanju rukopisa i kritičkim primedbama.

Zahvalnost izražavam i prof.dr Slobodanu Ribnikaru, koji je takođe našao vremena da kritički razmotri ovaj rad.

Crteže je izradila Milanka Pavlović, tehn.saradnik a tekst je kucala Dragoslava Vučinić. Obema se zahvaljujem na brizi i trudu oko tehničke opreme ovog rada.

Beograd, novembar 1981. god.

Slobodan Milonjić

S A D R Ž A J

Strana

	Strana
1. U V O D	9
2. O P Š T I D E O	11
2.1. Sorpcija jona na neorganskim oksidima	11
2.1.1. Sorpcija jona metala na silicijumdioksidi	15
2.1.2. Tačka nultog nanelektrisanja i površinsko nanelektrisanje silicijumdioksida	20
2.2. Stabilnost koloidnog silicijumdioksida	28
2.3. Korišćenje silicijumdioksida u hromatografiji gas-čvrsto	32
2.4. Toplota kvašenja silicijumdioksida	38
3. C I L J R A D A	45
4. E K S P E R I M E N T A L N I D E O	49
4.1. Korišćeni materijali	49
4.1.1. Priprema koloidnog silicijumdioksida	49
4.1.2. Karakterizacija dobijenog materijala.	50
4.1.3. Priprema čvrstog silicijumdioksida kogagulacijom koloidnog SiO_2	52
4.1.4. Karakterizacija čvrstog silicijumdioksiда	53
4.2. Aparati i uredjaji	55
4.3. Primjenjene metode	56
4.3.1. Metoda potenciometrijske titracije za izučavanje sorpcije jona na koloidnom silicijumdioksidi	56
4.3.2. Metode za odredjivanje stabilnosti koloidnog silicijumdioksida u prisustvu elektrolita	57

	Strana
4.3.3. Metoda za izučavanje sorpcije organskih jedinjenja na čvrstom silicijumdioksidu dobijenom iz koloidnog SiO_2	58
4.3.4. Metoda za određivanje toplote kvašenja praha silicijumdioksida u vodi	58
 5. EKSPERIMENTALNI REZULTATI I	
DISKUSIJA	61
5.1. Sorpcija jona alkalnih metala na koloidnom silicijumdioksidu	61
5.1.1. Površinsko nanelektrisanje koloidnog silicijumdioksida u prisustvu jona alkalnih metala	76
5.2. Uticaj temperature na sorpciju Li^+ - i Cs^+ -jona na koloidnom silicijumdioksidu	78
5.3. Stabilnost koloidnog silicijumdioksida u prisustvu elektrolita	89
5.4. Adsorpcija organskih jedinjenja na čvrstom silicijumdioksidu	100
5.5. Toplota kvašenja vodom prahova silicijumdioksida dobijenih iz koloidnog SiO_2	110
 6. ZAKLJUČAK	125
7. LITERATURA	137
8. PRILOG	151

Spisak važnijih upotrebljenih simbola

- a - aktivnost jona u tečnoj fazi
 C - ravnotežna koncentracija jona u rastvoru
 C_{cc} - kritična koncentracija koagulacije
 D - koeficijent raspodele u sistemu tečnost/čvrsto
 d_s - srednji prečnik čestica SiO_2
 f - protok gasa nosača
 F - Faraday-eva konstanta
 ΔG - promena slobodne energije procesa sorpcije
 Γ - količina sorbovanih jona
 ΔH - promena entalpije procesa sorpcije
 ΔH - izosterna toplota procesa sorpcije
 $\Delta H_k, \Delta h_k$ - toplota kvašenja
 K_a - prividna konstanta ionizacije
 $K_a^{int.}$ - konstanta jonizacije
 K_R - koeficijent raspodele u sistemu gas/čvrsto
 K_L - Langmuir-ova konstanta
 k - Boltzmann-ova konstanta
 N_{OH} - broj silanolnih grupa
 N_S - ukupan broj mesta na površini
 pH_{tnn} - tačka nultog nanelektrisanja
 pH_{iet} - izoelektrična tačka
 R - univerzalna gasna konstanta
 ΔS - promena entropije procesa sorpcije
 S_p - specifična površina oksida

- T - termodinamička temperatura
 t_M - mrtvo vreme hromatografskog uredjaja
 t_R - vreme zadržavanja (retenciono vreme)
 V_N - čista retencionia zapremina
 V_S - specifična retencionia zapremina
 z - naelektrisanje jona
 α - frakcija naelektrisanih mesta ili stepen jonizacije
 γ - koeficijent aktivnosti jona u tečnoj fazi
 μ - hemijski potencijal jona
 $\Delta\Psi$ - razlika Galvano potencijala dve faze
 Ψ_0 - potencijal površine
 Ψ_B - potencijal ravni specifično adsorbovanih kontrajona
 σ_0 - gustina površinskog naelektrisanja
 ζ - zeta potencijal



1. UVOD

Posle Drugog svetskog rata, zahvaljujući progresu nauke i tehnologije, intenzivno se razvijalo područje nauke koje se bavilo materijalima. Jedna grupa tih materijala jesu neorganski sorbenti koji nalaze značajnu primenu u nuklearnoj tehnologiji.

Vidno mesto medju neorganskim sorbentima zauzima silicijumdioksid (u različitim oblicima) zbog mogućnosti korišćenja za razdvajanje radioaktivnih izotopa, dekontaminaciju otpadnih voda radiohemijskih postrojenja, hromatografskom razdvajaju jona i sl. Ovakav interes prema silicijumdioksidu razumljivo je, s obzirom da ovaj materijal poseduje dobre sorpcione osobine kao i visoku termičku i radijaciono-hemiju stabilnost. Silikagel je prvi put bio primenjen, u radiohemijskim ispitivanjima (SAD, 1943. god.), za razdvajanje prvih količina plutonijuma iz rastvora ozračenog uranijuma i smeše fisionih produkata /1/.

Silicijumdioksid postoji u različitim oblicima a klasifikaciju je moguće izvršiti prema četiri glavne karakteristike: kristalnoj strukturi, disperznosti, sastavu površine i poroznosti /2/. Prema prvom kriterijumu postoji kristalni (kvarc, tridimit, stišovit i koesit) i amorfni silicijumdioksid. Prema disperznosti razlikuju se sledeći oblici: rastvorni, sol, hidrogel, aerogel i taložni silicijumdioksid. Svi ovi oblici su, uglavnom, amorfni i mogu se shvatiti kao disperzni sistemi kod kojih je čvrsti silicijumdioksid raspodeljen u tečnoj ili gasnoj disperznoj sredini.

Koloidni silicijumdioksid predstavlja stabilni sol čestica amorfног silicijumdioksida. Usvojena definicija isključuje rastvore polisilicijumove kiseline u kojima su polimerni molekuli ili čestice tako male da nisu stabilne /3/. Prečnik čestica sola može varirati u granicama od 5 do 100 nm, koncen-

tracija disperzne faze može dostići 50% a disperzna sredina može biti voda ili različiti organski rastvarači.

Koloidni silicijumdioksid nije imao značajniju primenu sve dok nije bilo moguće industrijski dobiti koncentrovan, standardizovan i stabilan sol. Godine 1941. Bird /4/ i 1951. god. Bechtold i Snyder /5/ su patentirali proces odvajanja natrijuma iz rastvora natrijumsilikata pomoću jonske izmene i dalji rast čestica do željene veličine. Koncentrujući sol uparanjem, ovi autori su dobili koloidni silicijumdioksid koji je sadržavao 30 mas.% SiO_2 u obliku uniformnih čestica prečnika 10 do 15 nm. Od tada se naglo proširila primena koloidnog silicijumdioksida. U današnje vreme ovaj materijal nalazi izuzetnu primenu u više od 100 različitih grana industrije, a tehnološki procesi primene su, uglavnom, predmet tehničke odnosno patentne literature. Tako se ovaj materijal uspešno primenjuje kao vezivno sredstvo i punioc u proizvodnji vatrostalnih i keramičkih proizvoda, kalupa za livenje, specijalnih stakala, cementa, prevlaka, itd. Koloidni silicijumdioksid se takođe koristi za obradu površina podova, zidova, tkanina, hartije i metalnih proizvoda kao sredstvo protiv klizanja, radi lakšeg uklanjanja nečistoća sa površine, povećanja sposobnosti prema adheziji, itd. Najveću primenu, ovaj materijal, nalazi kao sirovina za dobijanje sorbenata, nosača katalizatora i fotoosetljivih materijala.

I pored ovako velike praktične primene koloidnog silicijumdioksida, još uvek su ostali nedovoljno ispitani mehanizam i termodinamika procesa sorpcije a i neki aspekti korišćenja ovog materijala.

2. O P Š T I D E O

2.1. Sorpcija jona na neorganskim oksidima

Za interpretaciju sorpcije jona metala na neorganskim oksidima predlagani su različiti modeli /6/:

- 1) Gouy-Chapman-Stern-Graham model,
- 2) model jonske izmene,
- 3) model gel sloja i
- 4) model formiranja površinskih kompleksa. Obimna eksperimentalna ispitivanja, na različitim oksidima, pokazala su da prva dva modela nemogu potpuno opisati proces sorpcije.

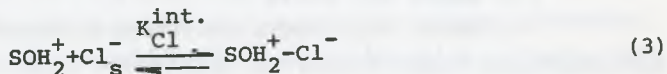
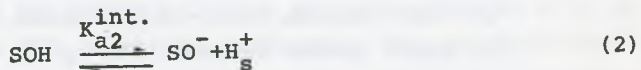
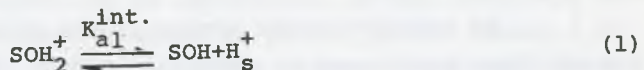
U današnje vreme se za analizu granične površine oksid/vodenih rastvor koriste dva poslednja modela koji se međusobno fundamentalno razlikuju. Jedna grupa autora /7-16/ zastupa mišljenje da je granična površina porozna, tako da joni koji određuju potencijal (H^+ - i OH^- - joni) i kontra joni mogu prođeti u čvrstu matricu blizu površine (gel sloj). Druga grupa autora /6,17-36/ rasmatra graničnu površinu kao ravnu nepropustljivu barijeru ili red mesta na površini. Ova mesta asociiraju ili disociraju dajući nanelektrisane grupe a takodje mogu vezati kontrajone (površinski kompleksi ili površinski jonski parovi).

Treba naglasiti da još uvek ne postoji model koji bi istovremeno bio u stanju da poveže eksperimentalne rezultate o količini sorbovanih jona, površinskom nanelektrisanju i elektrokinetičkom potencijalu.

Nedavno su Davis, James i Leckie /33-36/ predložili model koji predstavlja sintezu modela formiranja površinskih kompleksa datog od strane više autora. Proveravanje ovog modela, od strane citiranih autora, na različitim sistemima oksid/rastvor dalo je zadovoljavajuće rezultate. S obzirom na ovo i

na činjenicu da se naši eksperimentalni podaci dobro opisuju ovim modelom, navedeni model biće ukratko izložen.

U slučaju 1:1 elektrolita, npr. NaCl, na površini oksida metala moguće su sledeće četiri reakcije asocijacija-dissocijacije:



gde: SOH_2^+ , SOH , SO^- označavaju pozitivno, neutralno i negativno mesto na površini a $\text{SOH}_2^+ - \text{Cl}_s^-$ i $\text{SO}^- - \text{Na}_s^+$ predstavljaju površinske komplekse na graničnoj površini. Indeks s označava površinu oksida.

Konstante ravnoteže za reakcije amfoterne ionizacije (1) i (2) površinskih mesta mogu se napisati kao:

$$K_{\text{al}}^{\text{int.}} = \frac{[\text{SOH}] \cdot [\text{H}_s^+]_s}{[\text{SOH}_2^+]} \quad (5)$$

$$K_{\text{a2}}^{\text{int.}} = \frac{[\text{SO}^-] \cdot [\text{H}_s^+]_s}{[\text{SOH}]} \quad (6)$$

Koncentracija protona na površini oksida, $[\text{H}_s^+]_s$, može se izraziti preko koncentracije u masi rastvora, $[\text{H}^+]$, pomoću Boltzmann-ove raspodele:

$$[\text{H}_s^+]_s = [\text{H}^+] \exp(-\frac{e\psi_o}{kT}) \quad (7)$$

Ovde e označava nanelektrisanje elektrona, ψ_o potencijal površine, k -Boltzmann-ovu konstantu i T -termodinamičku temperaturu.

Zamenom jednačine (7) u jednačine (5) i (6) dobija se:

$$K_{a_1}^{\text{int.}} = \frac{[\text{SOH}] [\text{H}^+]}{[\text{SOH}_2^+]} \exp\left(-\frac{e\psi_o}{kT}\right) \quad (8)$$

$$K_{a_2}^{\text{int.}} = \frac{[\text{SO}^-] [\text{H}^+]}{[\text{SOH}]} \exp\left(-\frac{e\psi_o}{kT}\right) \quad (9)$$

Frakciju nanelektrisanih mesta, α , (ili stepen jonizacije) moguće je izraziti kao:

$$\alpha_- = \frac{-\sigma_o}{N_s} \quad \begin{array}{l} \text{za negativno nanelektrisanu} \\ \text{površinu} \end{array} \quad (10)$$

$$\alpha_+ = \frac{\sigma_o}{N_s} \quad \begin{array}{l} \text{za pozitivno nanelektrisanu} \\ \text{površinu} \end{array} \quad (11)$$

Ovde σ_o predstavlja gustinu površinskog nanelektrisanja definisanu kao /37-39/:

$$\sigma_o = F(\Gamma_{\text{H}^+} - \Gamma_{\text{OH}^-}) \quad (12)$$

gde je F - Faraday-ova konstanta, Γ_{H^+} i Γ_{OH^-} - količine sorbowanih H^+ - i OH^- - jona a N_s - ukupan broj mesta na površini.

Kombinacijom jednačina (10) i (11) sa jednačinama (8) i (9) dobijaju se izrazi za konstante jonizacije površinskih mesta.

$$K_{a_1}^{\text{int.}} = \frac{1-\alpha_+}{\alpha_+} [\text{H}^+] \exp\left(-\frac{e\psi_o}{kT}\right) \quad (13)$$

$$K_{a_2}^{\text{int.}} = \frac{\alpha_-}{1-\alpha_-} [\text{H}^+] \exp\left(-\frac{e\psi_o}{kT}\right) \quad (14)$$

Logaritmovanjem izraza (13) i (14) dobija se:

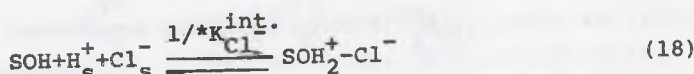
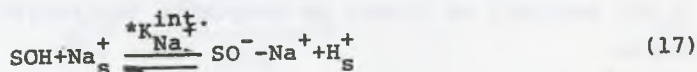
$$\text{int. } pK_{a_1} = \text{pH} + \log \frac{\alpha_+}{1-\alpha_+} + \frac{e\psi_o}{2,3 kT} \quad (15)$$

$$\text{int. } pK_{a_2} = \text{pH} - \log \frac{\alpha_-}{1-\alpha_-} + \frac{e\psi_o}{2,3 kT} \quad (16)$$

Jednačine (15) i (16) bez elektrostatičkog člana ($\frac{e\psi_o}{2,3 kT}$) predstavljaju oblik Henderson-Hasselbalch-ove jednačine koja se koristi za izračunavanje konstanti disocijacije slabih kiselina ili baza /40/ i konstanti ionizacije polielektrolita /41,42/.

Numeričke vrednosti $pK_{a_1}^{\text{int.}}$ i $pK_{a_2}^{\text{int.}}$ mogu se dobiti iz zavisnosti $pK_{a_1} = \text{pH} + \log \frac{\alpha_+}{1-\alpha_+}$ odnosno $pK_{a_2} = \text{pH} - \log \frac{\alpha_-}{1-\alpha_-}$ u funkciji stepena ionizacije površine (α_+ ili α_-). Ekstrapolacijom pK_{a_1} i pK_{a_2} na vrednost ionizacije α_+ ili α_- jednakom nuli tj. na vrednost $\sigma_o = 0$ i $\psi_o = 0$ (odsustvo specifične adsorpcije) dobijaju se konstante ionizacije ili konstante kiselosti (engl. intrinsic acidity constants) $pK_{a_1}^{\text{int.}}$ i $pK_{a_2}^{\text{int.}}$. Prva dva člana desnih strana jednačine (15) i (16) predstavljaju prividne konstante ionizacije pK_{a_1} i pK_{a_2} . Ukoliko je formiranje površinskih kompleksa značajno, dobijene vrednosti prividnih konstanti ionizacije (pri $\alpha = 0$) zavisiće od koncentracije elektrolita.

Davis, James i Leckie /33/ su pokazali da se reakcije ionizacije površinskih kompleksa mogu bolje pisati u obliku



Iz jednačina (1) - (4) i (17) i (18) proizilazi da je:

$$K_{Na^+}^{int.} = K_{a2}^{int.} \cdot K_{Na^+}^{int.} \quad (19)$$

$$K_{Cl^-}^{int.} = K_{al}^{int.} / K_{Cl^-}^{int.} \quad (20)$$

Koristeći se sličnim izvodjenjem opisanim gore, citirani autori su u slučaju formiranja površinskih kompleksa dobili sledeće izraze:

$$pK_{Na^+}^{int.} = pH - \log \frac{\alpha_-}{1-\alpha_-} + \log [Na^+] + \frac{(e\psi_o - e\psi_\beta)}{2,3 kT} \quad (21)$$

$$pK_{Cl^-}^{int.} = pH + \log \frac{\alpha_+}{1-\alpha_+} - \log [Cl^-] + \frac{(e\psi_o - e\psi_\beta)}{2,3 kT} \quad (22)$$

U jednačinama (21) i (22) ψ_β predstavlja potencijal ravnih speficično adsorbovanih kontrajona.

Numeričke vrednosti $pK_{Na^+}^{int.}$ i $pK_{Cl^-}^{int.}$ mogu se dobiti iz zavisnosti $pK_{Na^+}^{int.} = pH - \log \frac{\alpha_-}{1-\alpha_-} + \log [Na^+]$ ili $pK_{Cl^-}^{int.} = pH + \log \frac{\alpha_+}{1-\alpha_+} - \log [Cl^-]$ u funkciji stepena jonizacije površine (α_- ili α_+). Kada je površinsko nanelektrisanje $\sigma_o = 0$ tada je $\psi_o = \psi_\beta$, pa je $pK_{Na^+}^{int.} = pK_{Na^+}^{*int.}$ i $pK_{Cl^-}^{int.} = pK_{Cl^-}^{*int.}$.

2.1.1. Sorpcija jona metala na silicijumdioksidu

U izlaganju i diskusiji eksperimentalnih podataka ovoga rada upotrebljen je pojam sorpcija, dok je u ostalim slučajevima korišćen neposredan prevod iz izvorne literature (adsorpcija, jonska izmena, sorpcija, itd.).

Ispitivanja sorpcionih osobina različitih oblika silicijumdioksida, najčešće silikagela, započeta su još dvadesetih godina ovog veka /43/. Iako je, do sada objavljen znatan broj monografija o silicijumdioksidu /1-3,45-48/ u kojima su razmatrane i sorpcione osobine ovog materijala, smatrali smo za potrebu da se u ovom delu navedu, ukratko, važniji radovi

posvećeni sorpciji jona metala.

Izvestan broj autora /49-51/ je navodio da je silikagel sposoban da adsorbuje katjone iz alkalnih rastvora. Navedeni autori su zastupali mišljenje da je adsorpcija katjona iz neutralnih i slabokiselih rastvora moguća samo ako je aluminijum prisutan u silikagelu. Ovaj pogrešan zaključak, opovrgli su kasnije mnogi autori koristeći u svom radu radiohemijske i potenciometrijske metode.

Malati i Estefan su ispitivali adsorpciju jona alkalnih /52,53/ i zemnoalkalnih metala /53-55/ na kvarcu. Adsorpcija je izučavana iz razblaženih rastvora pri različitim pH vrednostima rastvora i različitim temperaturama. Dobijeni adsorpcioni afinitet ispitivanih katjona prati Hofmeister-ovu seriju ili liotropni redosled, tj. kod katjona datog naelektrisanja, afinitet opada sa porastom radijusa hidratisanog katjona.

Beljakova i Iljin /56,57/ su izučavali jonoizmenjivačka svojstva dve kristalne modifikacije polisilicijumovih kiselina, različitog hemijskog sastava, strukture i oblika čestica. Praćenje sorpcije jona alkalnih i zemnoalkalnih metala vršeno je potenciometrijskom i direktnom, radiometrijskom, metodom. Na jednom uzorku polisilicijumove kiseline, dobijeni redosled sorpcije jednovalentnih katjona u kiseloj oblasti odgovara Hofmeisterovoј seriji. U neutralnoj oblasti dolazi do izmene reda sorpcije i u alkalnoj oblasti dobijen je sledeći red: $\text{Li}^+ > \text{K}^+ > \text{Rb}^+ > \text{Cs}^+$. Redosled sorpcije dvovalentnih katjona na polisilicijumovim kiselinama, u kiseloj oblasti, izgleda ovako: $\text{Ca}^{2+} < \text{Sr}^{2+} < \text{Ba}^{2+}$. Koristeći Henderson-Hasselbalch-ovu jednačinu autori su izračunali konstantu kiselosti silanolnih grupa kod izučavanih modifikacija SiO_2 .

James i saradnici su ispitivali adsorpciju Co^{2+} /58/, Zn^{2+} /59/, Hg^{2+} /60/, $\text{Co}^{2+}, \text{Fe}^{3+}, \text{Cr}^{3+}$ - i Ca^{2+} /61,62/, $\text{Co}^{2+}, \text{La}^{3+}$ - i Th^{4+} - jona /63/ na kvarcu. Eksperimentalni rezultati pokazuju da se kobalt adsorbuje specifično ili nespecifično u зависnosti od pH rastvora i ukupne koncentracije kobalta /58/. Adsorpciono zasićenje se postiže pri uslovima precipitacije ko-

balta, što dovodi do promene naelektrisanja površine kvarca. Po našanje Hg(II) /60/ je slično ponašanju ostalih jona metala koji su sposobni da hidrolišu. Izučavajući adsorpciju Fe^{3+} , Cr^{3+} i Ca^{2+} - jona na SiO_2 , James i Healy /61/ su pokazali da adsorpcija i hidroliza nisu direktno i prosto povezane. Isti autori su pokazali /63/, na primeru adsorpcije Co^{2+} , La^{3+} i Th^{4+} -jona na kvarcu, da u zavisnosti od koncentracije jona metalai pH rastvora može doći do promene naelektrisanja površine SiO_2 . Ta ko npr., tačka nultog naelektrisanja SiO_2 ($\text{pH}_{\text{t.n.n.}} \approx 2,0$) zavisi od količine Th^{4+} - jona u rastvoru i može dostići vrednost koja odgovara tački nultog naelektrisanja Th(OH)_4 ($\text{pH}_{\text{t.n.n.}} = 9,8$). Na osnovu eksperimentalnih podataka o adsorpciji Co(II), Fe(III) i Cr(III) na kvarcu, James i Healy /62/ su predložili opšti matematički model adsorpcije jona metala, sposobnih da hidrolišu, na graničnoj površini oksid/vodenim rastvor.

Sidorova i saradnici /64/ su ispitivali elektrokinetičke i adsorpione osobine kvarca u vodenim rastvorima jona alkalnih metala metodom potenciometrijske titracije. Ovi autori su pokazali da se korekcija u veličini adsorpcije OH^- - jona, usled rastvaranja kvarca, mora uzeti u obzir za rastvore kod kojih je vrednost pH > 9 . U radu je data i konstanta disocijacije površinskih silanolnih grupa.

Clause i Weiss /65/ su saopštili da potpuno hidratisani čisti kvarc ne izmenjuje Co^{2+} -jona do pH = 7,0. Izmena je primetna samo posle termičkog tretmana koji dovodi do formiranja izolovanih silanolnih grupa ili posle uvodjenja drugih katjona, npr. Al^{3+} , na površinu SiO_2 .

Greenberg /66/ je izučavao sorpciju Ca^{2+} -jona na kvarcu, amorfnom i koloidnom (Ludox) silicijumdioksidu. Dobijeni rezultati ukazuju na hemisorpciju Ca^{2+} -jona, a izoterme odgovaraju Langmuir-ovom tipu. Sorpciju Ca^{2+} -jona na silikagelu različite poroznosti ispitivala je Plaćinda sa saradnicima /67/. Autori su pokazali da se sorpcija Ca^{2+} -jona može dovoljno jasno razdvojiti na dva procesa: brzi jonoizmenjivački proces i sporiji proces povezan sa formiranjem nove faze Ca-silikata.

Otv 67 417



Praćenje adsorpcije Na^+ -jona na neporoznom i mikroporoznom SiO_2 , Smit i saradnici /68-71/ su izvršili pomoću ^{24}Na kao obeleživača. U slučaju neporoznog SiO_2 nije opaženo formiranje gel sloja pri $\text{pH} = 10$, ni prodiranje Na^+ -jona u čvrstu fazu. Kod mikroporoznog SiO_2 , sorpcija Na^+ -jona nije ograničena na površinu već se dešava i u unutrašnjosti.

Tadros i Lyklema su ispitivali adsorpciju jednovalentnih /8/ i dvovalentnih katjona /9/ na taložnom SiO_2 , pomoću potenciometrijske titracije. U slučaju adsorpcije jona alkalnih metala, iz rastvora koncentracije $C \leq 0,1 \text{ mol} \cdot \text{dm}^{-3}$ i $\text{pH} \leq 10$, redosled adsorpcije odgovara liotropnom redu. Tadros i Lyklema zaključuju da se do vrednosti $\text{pH} \sim 7,5$ jednovalentni i dvovalentni katjoni adsorbiju fizički. Pri $\text{pH} \geq 7,5$ jednovalentni jo ni se i dalje adsorbiju fizički, dok se dvovalentni joni hemisorbiju i teško ih je desorbovati. Treba napomenuti, da ovi autori predpostavljaju postojanje negativnih grupa i kontra jona unutar čvrste matrice silikagela.

Ponašanje pirogenog i poroznog silicijumdioksida u prisustvu katjona alkalnih metala, ispitivao je Abendroth /72, '73/. Autor navodi redosled adsorpcije koji odgovara liotropnom redu. Treba napomenuti da je ovakav redosled nadjen za rastvore koncentracije $C \leq 0,1 \text{ mol} \cdot \text{dm}^{-3}$ i $\text{pH} \leq 9$. Isti redosled saopštava i Tien u svom radu /74/.

Ahrland sa saradnicima /75, 76/ je ispitivao sorpciju niza jona metala na silikagelu. Autori su dobili sledeći redosled sorpcije: $\text{Zr(IV)} > \text{U(IV)} \approx \text{Pu(IV)} > \text{U(VI)} > \text{Gd} > \text{Ca} \approx \text{Ba} \approx \text{Na}$. Eksperimentalni podaci ukazuju na mogućnost separacije plutonijuma i fisionih produkata od uranijuma.

Najopsežnija ispitivanja sorpcije jona metala na silikagelu izvršili su Maatman i saradnici /77-80/, izučavajući izmenu više od dvadeset jona metala. Odredjena je konstanta dissocijacije silanolnih grupa. Izmena jona alkalnih metala (Li^+ , Na^+ i K^+) izučavana je u temperaturskom opsegu 278-323 K. Ovi rezultati biće detaljnije diskutovani kasnije (deo 5.2) kada

bude govoreno o uticaju temperature na sorpciju Li^+ - i Cs^+ - jo na na koloidnom SiO_2 . Maatman sa saradnicima /81/ navodi u jednom od svojih prvih radova, posvećenom ovoj problematici, da redosled izmene jona alkalnih metala pri visokim koncentracijama i pH vrednostima rastvora može biti suprotan Hofmeister-ovoj seriji.

Strelko i Stražesko sa svojim saradnicima /82-86/ detaljno izučavaju jonsku izmenu na silikagelu pomoću radiohemijske i potenciometrijske metode. Ovi autori su zaključili da adsorpcija jona alkalnih i zemnoalkalnih metala pri $\text{pH} \leq 7$ raste sa porastom njihovih kristalografskih radijusa /82,84/. Na silikagelu kod koga su, praktično, svi H^+ -joni zamjenjeni Ca^{2+} -joni-ma (Ca-silikagel) red sorpcije katjona I i II grupe je obrnut, tj. $\text{Li}^+ > \text{Na}^+ > \text{K}^+ > \text{Rb}^+$ i $\text{Be}^{2+} > \text{Mg}^{2+} > \text{Sr}^{2+} > \text{Ba}^{2+}$ /82,83/. Sličan, obrnuti, red sorpcije ovih katjona opažen je i na silikagelu u H^+ -obliku pri $\text{pH} > 10,5$ i koncentraciji jona metala $C = 0,1 \text{ mol} \cdot \text{dm}^{-3}$ /82,83,86/.

Dušina i Aleskovskij su ispitivali sorpciju sledećih junja: Cu^{2+} , Zn^{2+} , Cd^{2+} , Pb^{2+} , Mg^{2+} , Ca^{2+} , Fe^{2+} , Fe^{3+} i Al^{3+} na silikagelu u prisustvu kompleksirajućih sredstava (NH_4OH , CH_3COONa). Potrebno je napomenuti, da ovi autori uravnotežavaju uzoraka izvode i u trajanju od 10 meseci; pri čemu dolazi do značajnog rastvaranja silikagela i formiranja silikata odgovarajućih metala /45,87/.

Adsorpciju Zn^{2+} -jona na silikagelu ispitivao je Koza-wa /88,89/. U radu /89/ je diskutovana mogućnost primene adsorpcije Zn^{2+} -jona za određivanje specifične površine različitih oksida.

Nečaev i saradnici /90,91/ su metodom potenciometrijske titracije ispitivali adsorpciju K^+ -jona i katjona dvovalentnih metala na kvarcu i silikagelu. Autori su predpostavili da se K^+ -jon sorbuje nespecifično, dok se Ba^{2+} -jon sorbuje specifično /91/. U radu /90/ je pored metode potenciometrijske titracije korišćena i analitička metoda za izučavanje adsorpcije. Po-

kazano je, da se metoda potenciometrijske titracije može koristiti za ispitivanje adsorpcije jona alkalnih metala.

Schindler sa saradnicima /32,92-94/ interakciju jona metala sa površinom silikagela rasmatra preko formiranja površinskih kompleksa. Autori navode konstante kiselosti površinskih hidroksilnih grupa.

Sorpцији jona metala na koloidnom SiO_2 posvećeno je samo nekoliko rada /66,95-97/. Sva ova izučavanja vršena su radi praćenja stabilnosti koloidnog silicijumdioksida. Matijević i saradnici /96/ navode tri različita modela za izmenu kataljona sa silanolnim protonima. U prvom modelu predpostavljeno je da površina SiO_2 u početku sadrži dva tipa silanolnih grupa različite reakcione sposobnosti. Kod drugog modela, predpostavljeno je da prividna ravnotežna konstanta procesa izmene varira sa reakcijom. Treći model je kombinacija predpostavki prvog i drugog modela i pokazao se da najviše zadovoljava. Ovo je razumljivo s obzirom na veliki broj promenljivih parametara i metodu podešavanja (fitovanja).

2.1.2. Tačka nultog naelektrisanja i površinsko naelektrisanje silicijumdioksida

Izraz nulta tačka naelektrisanja (eng. zero point of charge, pH_{zpc}) upotrebljen je u oblasti koloida od strane Overbeek-a i saradnika /98/, Bolt-a /99/ a takođe i od strane Parks-a i De Bruyn-a u radu sa Fe_2O_3 /38/. Međutim, Berube i De Bruyn /100/ su u kasnijem radu upotrebili izraz tačka nultog naelektrisanja (eng.point of zero charge, pH_{pzc}) koji prema našem mišljenju potpunije odgovara svom značenju. Ovaj termin je potpuno prihvacen, mada ima autora koji i sada koriste stariji naziv /101/. Prema Ahmedu /98/ (a i mi smo istog mišljenja) potrebno je i dalje zadržati oznaku zpc (ane pzc) da bi se izbegla konfuzija sa oznakom pzc koja se koristi za potencijal nultog naelektrisanja (eng.potential of zero charge,pzc) u elektrohemiji.

Tačka nultog naelektrisanja, pH_{tnn} , predstavlja pH vrednost pri kojoj je naelektrisanje površine, σ_0 , jednako nuli. Izoelektrična tačka, pH_{iet} , predstavlja vrednost pH pri kojoj je elektrokinetički potencijal jednak nuli. Tačka nultog naelektrisanja se obično određuje metodom potenciometrijske titracije. Tačka preseka adsorpcionih izotermi vodoničnih i hidroksilnih jona u funkciji pH za različite jonske jačine indiferentnog elektrolita daje pH_{tnn} . Izoelektričnu tačku moguće je odrediti nekom od metoda za merenje elektrokinetičkog potencijala: potencijal strujanja, sedimentacioni potencijal, elektroforeza i elektroosmoza.

Tačka nultog naelektrisanja jednaka je izoelektričnoj tački samo u odsustvu specifične adsorpcije kontra jona. U slučaju specifične adsorpcije kontra jona pH_{tnn} i pH_{iet} se pomjeraju u suprotnim pravcima. Tako npr. specifična adsorpcija katjona pomera tačku nultog naelektrisanja prema nižim vrednostima pH, dok se izoelektrična tačka pomera prema višim vrednostima pH. U slučaju adsorpcije anjona dešava se obrnuto. Mišljenje nekih autora, da su tačka nultog naelektrisanja i izoelektrična tačka identične prema definiciji, kritikovano je od strane Lyklema-e /7,102,103/ i Ahmed-a /98/.

Tačke nultog naelektrisanja oksida zavise od nekoliko makroskopskih osobina oksidne faze /98/, kao što su: 1) stehiometrija (naročito površine), 2) poluprovodničke osobine oksida, 3) kristalna struktura, 4) stepen hidratacije površine (koji zavisi i od temperature tretmana) i 5) razlika u kiselim i baznim konstantama disocijacije površinskih hidroksilnih grupa.

Vrednost tački nultog naelektrisanja i izoelektričnih tački za veliki broj oksida, merene različitim metodama, sa kupljene su od strane Parks-a /104/ i Ahmed-a /98/. U tablici 1 date su vrednosti pH_{tnn} i pH_{iet} za silicijumdioksid. Kao što se iz tablice 1 vidi dobijene su različite vrednosti za pH_{tnn} i za pH_{iet} , mada sve vrednosti leže u opsegu pH = 1,5-3,7. Činjenica je, da su sve korištene metode nedovoljno osetljive u po-

Tablica 1. Vrednosti tačke nula elektrisanja, pH_{tnm} , i izoelektrične tačke, pH_{iet} , za silicijumdioksid

Oblak SiO_2	Elektrolit	pH_{tnm}	pH_{iet}	Metoda određivanja	Literatura
1	2	3	4	5	6
Kvarc/gel i sol	-	-	1,5-3,7	-	104
Kvarc	KNO_3	3,6	-	Merenje promene pH ras- tvora usled dodatka ok- sida, potencijal struja nja	98 105
Kvarc	NaCl, HCl	2	2	pHtnm merena prema sorp- ciji Na^+ , pH_{iet} merena elektrokinetičkom meto- dom (potencijal i stru- ja strujanja)	64
Kvarc	-	2	-	-	106
Gel	-	3	-	-	13
Gel	-	3	-	-	14
Kvarc	NaCl	-	2	elektrokinetički potencijal strujanja	107
Kvarc	-	-	2,5	elektroforeza potencijal strujanja	108
Gel	-	2,0*	-	elektroforeza	109
Gel	$10^{-3} \text{ mol/dm}^3 \text{ KCl}$ $10^{-2} - 10^{-1} \text{ KCl}$ $10^{-3} - 10^{-2} \text{ KCl}$	- 3 2,5	2 - -	potencijal strujanja potenciometrijska titracija	8
Kvarc sol	HCl NaCl	- 3,5	2 -	potencijal strujanja potenciometrijska titra- cija	110 99

Nastavak tablice 1.

	1	2	3	4	5	6
Gel	-	2,5-3,0	-	Kalorimetrija	111	
Gel	-	2,0-2,5	-	Potenciometrijska titracija	7	
Staklasti	KNO_3 , $\text{Ba}(\text{NO}_3)_2$	2,5*	-	Potencijal strujanja	51	
Sol	-	-	2-3	Merenjem promene pH za vreme disperzionog procesa	112	
Kvarc	-	3,0	-	-	60	
Kvarc	HNO_3 , KOH	-	2-3	Elektroforeza	60	
Gel	KCl	1,80*	-	Elektroosmoza	113	
Kvarc	KCl	2,0*	-	Elektroforeza i koagulacija	58	

*) Vrednosti pH_{tnn} označene sa zvezdicom ustvari predstavljaju pH_{iet} s obzirom na metodu određivanja. Mnogi autori i danas često greše u označavanju pH_{tnn} i pH_{iet}. Tako vrednosti označene od strane autora kao pH_{tnn} za okside: Fe_2O_3 /114/, Al_2O_3 i TiO_2 /109/, Al_2O_3 /101/, Al_2O_3 i MgO /115/, Al_2O_3 , La_2O_3 , Sc_2O_3 , In_2O_3 , Co_2O_3 , TiO_2 , ZrO_2 , Nb_2O_5 i CdO /113/, TiO_2 /62/ predstavljaju pH_{iet}, jer su dobijene metodom elektroforeze ili potencijala strujanja.

menutom opsegu pH tj. da su sve vrednosti za pH_{tnn} i pH_{iet} dobijene ekstrapolacijom.

Kod neorganskih oksida površinsko naelektrisanje i potencijal površine su funkcija pH a vodonični i hidroksilni joni se označavaju kao joni koji određuju potencijal na graničnoj površini oksid-rastvor. Cestina površinskog naelektrisanja na graničnoj površini oksid-rastvor, σ_o , može se izračunati pomoću izraza datog jednačinom (12). Površinsko naelektrisanje se obično izražava u $\mu\text{C.cm}^{-2}$ i ima pozitivnu, nula ili negativnu vrednost u zavisnosti da li je Γ_{H^+} veće, jednak ili manje od Γ_{OH^-} . Koristeći aproksimacije:

$$\begin{aligned}\sigma_o \cdot S_p &\approx \Gamma_{\text{H}^+} && \text{na kiseloj strani } pH_{tnn} \\ \sigma_o \cdot S_p &\approx \Gamma_{\text{OH}^-} && \text{na alkalnoj strani } pH_{tnn}\end{aligned}$$

(gde je S_p - specifična površina oksida).

Pozitivna naelektrisanja na površini oksida se razmatraju kao višak adsorbovanih H^+ -jona u odnosu na pH_{tnn} , a negativna naelektrisanja kao površinski višak OH^- -jona.

U oblasti pH iznad tačke nultog naelektrisanja površina SiO_2 dobija negativno naelektrisanje usled disocijacije površinskih hidroksilnih grupa. Ovo površinsko naelektrisanje neutrališe se viškom sakupljenih kontra jona u oblasti dvojnog sloja.

U literaturi postoji skroman broj radova posvećenih ispitivanju površinskog naelektrisanja silicijumdioksida. Bolt /99/ je ispitivao gustinu površinskog naelektrisanja kolidnog SiO_2 (Ludox) u funkciji koncentracije NaCl i pH rastvora. Za oblast koncentracije 0,001 do 1,0 mol/dm³ NaCl i pH = 5-10 površinsko naelektrisanje varira u granicama od -0,2 do -28,9 $\mu\text{C.cm}^{-2}$. U slučaju kvarca Ahmed /105/ je dobio vrednost $\sigma_o = -60 \mu\text{C}/\text{cm}^2$ pri pH = 11 u prisustvu 1,0 mol/dm³ KNO_3 . Uporedjujući vrednosti sa ukupnim brojem mesta po cm^2 ovaj autor je zaključio da se potpuna disocijacija monosloja površine kvarca dešava.

va pri pH \approx 11,5. I za ostale okside Ahmed /98,105,116/ navodi da pri pH \sim 11 maksimalne vrednosti negativnog površinskog naelektrisanja iznose $60\text{--}65 \mu\text{C.cm}^{-2}$, pod uslovom da nema značajnijeg rastvaranja rešetke oksida.

Visoke vrednosti površinskog naelektrisanja, σ_o^- , koje čak premašuju gustinu silanolnih grupa, saopštene su od strane Tadros-a i Lyklema-e /8,9/. Ovi autori su u svojim ispitivanjima koristili taložni SiO_2 -komercijalni proizvod firme B.D.H. Da bi objasnili dobijene visoke gustine površinskog naelektrisanja autori su pretpostavili mogućnost prodiranja kontra jona u strukturu ispod površine poroznog oksida. Na osnovu ovih eksperimentiranih Lyklema /7,10/ je razvio model dvojnog sloja na poroznim površinama, izračunavajući raspodelu potencijala unutar površinskog sloja čvrste materije prema jednačini Poisson-Lang-muir-a.

Abendroth /72/ je pokazao da različite metode pripreme ne vode značajnjim razlikama u gustinama površinskog naelektrisanja kod neporoznih uzoraka silicijumdioksida. Taložni pirogeni SiO_2 imaju slične gustine površinskog naelektrisanja u prostim elektrolitima. Kasnije je isti autor /73/ proširio svoja istraživanja i na uzorce poroznog SiO_2 . Rezultati tih istraživanja su pokazali da je gustina naelektrisanja poroznog SiO_2 niža od onih za neporozni SiO_2 . Abendroth na osnovu tih istraživanja zaključuje da se model koji je razvio Lyklema nemože prihvati.

Yates i Healy /117/ su u svom radu koristili taložni SiO_2 dobijen od istog proizvodjača (B.D.H.) kao i autori rada /8/. Njihove dobijene vrednosti za σ_o^- su niže od onih određenih od strane Tadros-a i Lyklema-e ($\sim 70 \mu\text{C.cm}^{-2}$ prema $\sim 150 \mu\text{C.cm}^{-2}$ pri pH = 10). Medjutim, treba napomenuti da se i specifične površine, određene B.E.T. metodom prema adsorpciji azota, takodje razlikuju. Yates i Healy ukazuju da poroznost za jone ne može biti objašnjena pomoću poroznosti određene adsorpcijom gasa. Kao moguće objašnjenje ovi autori navode prisustvo gel sloja od nekompletno kondenzovane polisilicijumove

kiseline na površini taložnog SiO_2 . Gustine površinskog naelektrisanja termički tretiranih uzoraka taložnog SiO_2 su niže ili slične onim za pirogeni SiO_2 dobijenim od strane Abendrotha /72/.

U nizu radova posvećenih ispitivanju dvojnog električnog sloja pažnja autora je poklanjana zavisnosti potencijala dvojnog električnog sloja od koncentracije i sastava elektroličita. Ispitivanje te zavisnosti veoma je važno kako sa teorijske tako i praktične strane, naročito za rastvore sa jonima koji određuju potencijal.

Kada se govori o potencijalima dvojnog električnog sloja, treba razlikovati: /118/

1) Razliku Galvano potencijala dve faze, tj. razliku električnih potencijala u tačkama koje se nalaze u dubini čvrste (ψ^C) i tečne (ψ^T) faze; $\Delta\varphi = \psi^C - \psi^T$

2) Potencijal površine, ψ_0 . On se obično računa od tačke nultog naelektrisanja ili izoelektrične tačke, pa je prema tome $\psi_0 \equiv (\psi^P - \psi^T) - (\psi^P - \psi^T)_{tnn}$, gde je ψ^P -potencijal površine čvrste faze na granici sa tečnom fazom;

3) Potencijal ravni (koja prolazi kroz centar prvog sloja kontra jona) kada su joni iz rastvora najbliži površini čvrste faze u odnosu na potencijal u masi rastvora ($\psi^T = 0$), ψ_1 ;

4) Zeta, ζ , potencijal (takodje pri $\psi^T = 0$).

Veličina $\Delta\varphi$ nemoguće je termodinamički odrediti zato što je nemoguće razdvajiti rad prenosa naelektrisanja iz jedne faze u drugu na "čisto-električnu" i "čisto-hemijsku" komponentu. Promenu $\Delta\varphi$ u zavisnosti od aktivnosti jona u tečnoj fazi može biti strogo odredjena pomoću Nernst-ove jednačine date u diferencijalnom obliku (videti npr. (39)):

$$\frac{d(\Delta\varphi)}{d \log a_i} = \pm \frac{23}{z_i \cdot F} \frac{RT}{(23)}$$

gde se znak + ili - odnosi na katjon ili anjon koji određuje

potencijal; a_i - aktivnost datog jona u tečnoj fazi; z_i - na-elektrisanje tog jona.

Što se tiče veličine Ψ_1 za sada ne postoji direktna eksperimentalna metoda za njeno određivanje.

Za izračunavanje potencijala površine, Ψ_o , mnogi autori koriste izraz identičan Nernst-ovoj jednačini:

$$\Psi_o = \pm \frac{RT}{z_i F} \ln \frac{a_i}{(a_i)_{tnn}} \quad (24)$$

Korišćenje izraza (24) za okside kritikovano je, u poslednje vreme, od strane nekih autora /7,17,118/. Pretpostavka da je hemijski potencijal na površini čvrste faze konstantan može se prihvati samo za čvrste materije, kao što je AgJ, gde su joni koji određuju potencijal (Ag^+ i J^-) konstituenti rešetke. Objasnjenje leži u činjenici što se sastav površine čvrste materije ne menja za vreme adsorpcije jona koji određuju potencijal. U slučaju oksida, sastav površine i prema tome hemijski potencijal površinskih konstituenata, po pravilu, nisu više nezavisni od sastava rastvora. Zbog toga se za okside (u slučaju H^+ -jona) jednačina (24) piše u obliku:

$$\Psi_o = \frac{RT}{F} \ln \frac{a_{H^+}}{(a_{H^+})_{tnn}} - \frac{\mu_{H^+}^P - (\mu_{H^+}^P)_{tnn}}{F} \quad (25)$$

Simbol $\mu_{H^+}^P$ označava hemijski potencijal H^+ -jona na površini oksida. Jasno je, da $\mu_{H^+}^P$ ne može biti dobijeno bez prepostavki koje nemaju termodinamičku osnovu. Diferencijalni oblik jednačine (25) bio je dat od strane Berube-a i De Bruyn-a /21,100/. Ovi autori su na osnovu svojih eksperimentalnih podataka sugerisali da se za malo površinsko nanelektrisanje $\mu_{H^+}^P$ može uzeti konstantno. Međutim, njihovi rezultati nisu uverljivi kao što je to pokazao Breeuwsm-a /16/. Levine i Smith /17/ su nedavno dali dalju analizu problema izračunavajući $\mu_{H^+}^P$ upotreboom statističko-mehaničkog modela.

2.2. Stabilnost koloidnog silicijumdioksida

Koagulacija koloidnih sistema može se dešavati pod dejstvom niza faktora: starenja sistema, promene koncentracije dispersne faze, promene temperature, mehaničkih dejstava, svetlosti, itd. Medjutim, najvažniju teorijsku i praktičnu vrednost ima koagulacija izazvana dodatkom elektrolita /119/.

La Mer i Healy /120/ su definisali razliku izmedju pojmoveva koagulacija i flokulacije. Oni su predložili da se pojам flokulacija koristi u specijalnom slučaju koagulacije kada je finalna struktura stvorena pomoću vezivanja organskih molekula ili koloidnih neorganskih čestica, pri čemu stvorena slabo vezana trodimenzionalna mreža ima pore koje omogućavaju laku filtraciju. Sa druge strane, izraz koagulacija se upotrebljava za slučajeve gde su čestice spojene zajedno u relativno guste aggregate ili klastere koji su kompaktni i zbog toga ih je teško odvojiti filtracijom. Jasno je, da ne postoji oštra razlika izmedju ovih pojmoveva.

Izraz agregacija Iler /3/ koristi za sve tipove vezivanja koloidnih čestica. Tako, agregacija, npr. kod SiO_2 sola, uključuje: 1) Geliranje. Ovde su čestice vezane zajedno u relativne lance koji popunjavaju čitavu zapreminu sola tako da ne ma porasta koncentracije silicijumdioksida u bilo kojoj makroskojskoj oblasti sredine. Zaista, ukupna sredina postaje viskozna. 2) Koagulaciju, gde čestice prilaze jedna drugoj u relativno gusto-pakovane grude (hrpe) (eng. clumps), u kojima je SiO_2 koncentrovani nego u originalnom solu, tako da se koagulant setluje kao relativno gust precipitat. 3) Flokulaciju, gde su čestice vezane zajedno pomoću "mostova" od sredstava za flokulaciju, koji su dovoljno dugi da agregisana struktura ostaje otvorena i voluminozna.

Jasno je, da se ove razlike odnose uglavnom na razblažene sole koji sadrže samo nekoliko procenata SiO_2 . U koncentrovanim smešama moguće je razlikovati gel ali ne i praviti

razliku izmedju koagulacije i flokulacije.

4) Koacervaciju. Kod ovog tipa agregacije čestice SiO_2 su okružene slojem adsorbovanog materijala koji čini čestice manje hidrofilnim, ali ne formira "mostove" izmedju čestica. Čestice agregiraju kao koncentrovana tečna faza nemešljiva sa vodenom fazom.

Interakcija koloida sa elektrolitima zavisi od prirode čvrste faze, naročito od sastava njene površine, kao i od vrste i koncentracije jonskih vrsta u rastvoru. Količina adsorbovane vode na čvrstoj površini igra važnu ulogu kod stabilnosti koloida. Koloidi se klasifikuju na liofobne i liofilne. Uopšteno govoreći, liofobni koloidi "odbijaju", dok liofilne čestice reaguju sa molekulima rastvarača. Liofobni koloidi lakše koagulišu pomoću elektrolita nego liofilni.

Stabilnost hidrofobnih koloida uglavnom je povezana sa nanelektrisanjem čestica, dok je u slučaju hidrofilnih koloida taj faktor od manjeg značaja /3/. Faktori koji utiču na površinsko nanelektrisanje takodje će uticati na stabilnost sola. Veličina, oblik, stepen hidratacije, karakter liganda u kompleksiranju i ostali parametri igraju važnu ulogu /121/.

Imajući u vidu problematiku kojoj je posvećena ova disertacija a i zbog ograničenosti prostora, mi ćemo se zadržati samo na analizi radova posvećenih koagulaciji tj. uticaju elektrolita na stabilnost koloidnog SiO_2 . Stabilnost koloidnog SiO_2 u prisustvu elektrolita bila je predmet izučavanja mnogih autora. Bez obzira na znatan broj publikacija, mehanizam koagulacije pomoću elektrolita nije ni do danas potpuno jasan te je i opravдан zaključak Depasse i Watillon-a /122/ da će biti potrebni daljni eksperimenti za razjašnjenje tačne prirode ovog mehanizma.

Allen i Matijević /97,121,123,124/ su ispitivali koagulaciju koloidnog SiO_2 i zaključili da se mehanizam koagulacije ovog sola razlikuje od onog koji važi za liofobne koloide. Kritične koncentracije koagulacije, za različite elektrolite,

nije bilo moguće korelisati sa promenama elektroforetske pokretnjivosti ili zeta potencijala. Isti autori ukazuju da Schulze-Hardy zakon nije primenljiv na koloidni SiO_2 /121,125/.

Do sličnih zaključaka došao je i Harding /126/, koji je pokazao da ponašanje malih čestica SiO_2 ne može biti objašnjeno pomoću konvencionalne DLVO (Derjagin, Landau, Verwey, Overbeek) teorije, dok se čestice SiO_2 , čija je veličina veća od 50 nm ponašaju prema teoriji dvojnog sloja, tj. kao klasični hidrofobni koloidi.

Da bi objasnili mehanizam koagulacije koloidnog SiO_2 pod dejstvom elektrolita, Allen i Matijević /97,123-125/ su pokazali da jonska izmena katjona (koji ne hidrolišu) sa silanolnim protonima igra dominantnu ulogu u destabilizaciji koloidnog SiO_2 . To znači, da je za koagulaciju koloidnog SiO_2 odgovorna dehidratacija površine SiO_2 kao posledica jonske izmene. Kao rezultat ovih istraživanja i potvrdu rečenog Allen i Matijević /97,124,125/ daju jedinstvenu "krivu kritične izmene" za sve ispitivane katjone (videti sliku 24). To znači da koagulacija koloidnog silicijumdioksida nastupa kada je izmenjena neka kritična frakcija silanolnih protona pri datom pH.

Lyklema je u svom nedavnom teorijskom radu /127/ pokušao da koagulaciju SiO_2 sola objasni pomoću DLVO teorije uvođeći neke modifikacije. Autor ipak zaključuje da, za sada, ne postoji dovoljno podataka koji bi omogućili proveravanje tako modifikovane DLVO-teorije. Mišljenje ovog autora je da se pri rasmatranju destabilizacije SiO_2 sola ne treba pozivati na jonsku izmenu tj. sorpciju kao mehanizam destabilizacije.

Umesto pomenutog mehanizma dehidratacije, Depasse i Watillon /122/ su za objašnjenje koagulacije predložili medjučestično povezivanje tj. formiranje kiselo-baznih veza izmedju čestica:



Autori su utvrdili da su svi katjoni alkalnih metala u stanju da izvrše koagulaciju koloidnog silicijumdioksida u oblasti pH=7-11. Medjutim, iznad pH=11 samo su Li^+ - i Na^+ -joni u stanju da izazovu koagulaciju, dok K^+ -, Rb^+ - i Cs^+ -joni to nisu u stanju. S obzirom na visoku stabilnost koloidnog SiO_2 pri pH tački nultog naelektrisanja, DLVO-teorija ne može biti primenjena na ovaj sistem.

Za objašnjenje činjenice da se SiO_2 sol ne ponaša prema DLVO teoriji (nasuprot kvarcu čija se stabilnost može objasniti pomoću pomenute teorije), Kitchener /129/ smatra da se hidratacija kao i rastvorljivost SiO_2 moraju uzeti u obzir. Da bi podržao ove ideje autor navodi eksperimente Yarer-a i Pugh-a (bez citiranja literaturnog izvora) koji su pokazali da stabilnost suspenzija praha kvarca raste držanjem praha u vodi. Porast stabilnosti Kitchener objašnjava formiranjem filma silicijumove kiseline oko čestica kvarca.

Tschapek i Torres Sanchez /130/ su nedavno pokazali da postoji evidentna razlika u koagulaciji izmedju koloidnog SiO_2 i suspenzija kvarca zbog znatne razlike u stepenu hidratacije njihovih površina. U literaturi /123/ postoji evidencija da su čestice koloidnog SiO_2 jako hidratisane.

Matijević i saradnici /124,125,131-134/ su ispitivali i uticaj katjona sklonih ka hidrolizi (Al^{3+} , La^{3+} , Cu^{2+}) na stabilnost koloidnog SiO_2 . Ovde treba imati u vidu činjenicu da pH utiče ne samo na stanje površine čestice SiO_2 već takođe i na sastav jonskih vrsta u rastvoru. Kao i u slučaju katjona koji ne hidrolišu, i ovde je pokazano da ne postoji prosta zavisnost izmedju stabilnosti koloidnog silicijumdioksida i njegove elektroforetske pokretljivosti. Povećane koncentracije u rastvoru jona koji hidrolišu vode, po pravilu, pojavljuju promene nanelektrisanja čestice.

Stumm i saradnici /135-137/ su rasmatrali neke hemijske aspekte stabilnosti koloida, naročito koagulaciju i promenu nanelektrisanja SiO_2 pomoću jona metala koji hidrolišu. Ovi

autori su zaključili da se polimerni hidrokso-metalni kompleksi jače adsorbuju u odnosu na monomerne metalne jone zbog čega izazivaju koagulaciju pri nižim kritičnim koncentracijama koagulacije.

Na kraju treba pomenuti radove Matijevića i saradnika /132,138/ posvećene heterokoagulaciji koloidnog SiO_2 sa polivinilhloridnim lateksom u prisustvu Na^+ , K^+ , Ca^{2+} , Al^{3+} i La^{3+} -jona. U zavisnosti od eksperimentalnih uslova moguća je selektivna koagulacija koloidnog SiO_2 u prisustvu PVC lateksa ili stabilizacija lateksa pomoću koloidnog SiO_2 .

2.3. Korišćenje silicijumdioksida u hromatoografiji gas-čvrsto

Gasna hromatografija ima veliki značaj u izučavanju sorpcionih karakteristika različitih sorbenata pri vrlo niskim pokrivenostima. Ova metoda nije ograničena samo na niske pokrivenosti već ju je moguće primeniti i u radu sa većim koncentracijama sorbata.

Za izračunavanje konstante ravnoteže i izosterne top-lote sorpcije, prema položaju maksimuma uskih simetričnih hromatografskih pikova, neophodno je odrediti čistu retencionu zapreminu, V_N . Vrednost čiste retencione zapremine izračunava se prema sledećem izrazu /139,140/:

$$V_N = (t_R - t_M) \cdot f \cdot \frac{T}{T_f} \cdot \frac{p_0 - p_w}{p_0} \cdot \frac{3}{2} \left[\frac{(p_i/p_o)^2 - 1}{(p_i/p_o)^3 - 1} \right] \quad (26)$$

gde je: t_R -vreme zadržavanja (retenciono vreme) potrebno da uzorak sorbata prodje od ulaza (injektor-a) do izlaza (detektora); t_M -mrtvo vreme hromatografskog uredjaja tj. vreme potrebno da uzorak sorbata koji se ne sorbuje na sorbentu prodje od ulaza do izlaza; f -protok gasa nosača; T -temperatura kolone; T_f -temperatura uredjaja za merenje protoka; p_0 -pritisak u mera-

raču protoka (obično atmosferski); p_w -napon pare vode na temperaturi na kojoj je vršeno merenje protoka; p_i -ulazni pritisak gase nosača i P_o -izlazni pritisak gase nosača (obično atmosferski).

U hromatografiji gas-čvrsto čistu retencionu zapreminu moguće je pretvoriti u specifičnu retencionu zapreminu, V_s , deleći V_N sa površinom sorbenta u koloni, S_p . Specifična retencionu zapreminu, za datu temperaturu kolone i određeni par sorbat-sorbent, jednaka je koeficijentu raspodele, K_R /141/:

$$\frac{V_N}{S_p} = V_S = K_R \quad (27)$$

Izosternu toplotu sorpcije pri granično maloj (nultoj) pokrivenosti sorbenta moguće je izračunati iz zavisnosti /139,142/:

$$\Delta H = -R \frac{d \ln(K_R/T)}{d(1/T)} \quad (28)$$

gde je R-univerzalna gasna konstanta. Prikazujući $\ln(K_R/T)$ u funkciji $(1/T)$ dobija se prava linija čiji nagib predstavlja vrednost $(-\Delta H/R)$. Ovde treba ukazati da mnogi autori za izračunavanje izosterne toplote sorpcije koriste zavisnost $\ln K_R = f(1/T)$. Na ovaj način izračunata izosterna toplota niža je od prave vrednosti za član RT (T -srednja vrednost temperature intervala) /139,142/. Na ovo su ukazali i Habgood i Hanlan /143/ u svom radu publikovanom pre više od dvadeset godina.

Uporedjenje toplota sorpcije za različite sorbate moguće je na istoj koloni, dok je poređenje toplote sorpcije za isti sorbat na različitim kolonama od manjeg značaja pošto vrednosti promene entropije sorpcije variraju od jedne kolone do druge /144/.

Promena slobodne energije sorpcije povezana je sa koeficijentom raspodele preko izraza /141/:

$$\Delta G = - RT \ln K_R \quad (29)$$

Na kraju, promenu entropije odgovarajućeg sorpcionog procesa moguće je dobiti iz klasične jednačine:

$$\Delta S = \frac{\Delta H - \Delta G}{T} \quad (30)$$

Kiseljev sa saradnicima /142,145,146/ je izvršio klasifikaciju adsorbenata i adsorbata u zavisnosti od mogućih interakcija. Prema toj klasifikaciji adsorbati se dele u četiri grupe (A, B, C, D) dok su adsorbenti podeljeni u tri grupe (I, II, III). U grupu A spadaju molekuli koji imaju sferne simetrične elektronske oblake ili σ -veze (plemeniti gasovi, zasićeni ugljovodonici). U grupu B spadaju molekuli koji imaju funkcionalne grupe sa slobodnim elektronskim parovima (etri, ketoni, nitrili, tercijarni amini i sl.) ili π -veze (nezasićeni i aromatični ugljovodonici). U grupu C spadaju molekuli na čijoj periferiji je lokalno koncentrisano pozitivno naelektrisanje. To su neka metalorganska jedinjenja, npr. metil-litijum. Na kraju, u grupu D spadaju molekuli čije funkcionalne grupe imaju susedne karike tipa B i C. To su molekuli koji sadrže hidroksilne, primarne i sekundarne aminske grupe i sl.

Prema Kiseljevu i saradnicima /142,146/ svi adsorbenti podeljeni su u tri grupe. U I grupu spadaju adsorbenti koji samo nespecifično dejstvuju sa bilo kojim molekulima. Na njihovoj površini nema ni funkcionalnih grupa ni izmenjenih jona. To su: grafitna čadj, bornitrid, zasićeni ugljovodonici (odgovarajući porozni polimeri i monoslojevi). U II grupu spadaju specifični adsorbenti na čijoj površini su izdignuti centri sa koncentrisanim pozitivnim naelektrisanjem: kisele hidroksilne i karboksilne grupe i katjoni (naročito katjoni sa malim radijusom i velikim naelektrisanjem). U ovu grupu adsorbenata spadaju: SiO_2 sa hidroksiliranom površinom, porozni polimeri sa karboksilnim grupama, zeoliti, neorganske soli (npr. sulfati). Na kraju, III-oj grupi pripadaju adsorbenti na čijoj površini je

lokalno koncentrisana elektronska gustina. To su: porozni polimeri i monoslojevi na čijoj površini su izdignute takve funkcionalne grupe kao što su: $>O$, $-CN$, $\equiv N$ i sl.

Molekuli grupe A dejstvuju nespecifično sa adsorbentima sve tri grupe. Molekuli grupe B i grupe D dejstvuju nespecifično sa adsorbentima I grupe i specifično sa adsorbentima II grupe, a takodje i sa adsorbentima III grupe, ukoliko je moguće specifično dejstvo izmedju odgovarajućih funkcionalnih grupa u molekulu i površine adsorbenta. Molekuli grupe D na površini nespecifičnog adsorbenta (adsorbent I grupe) specifično dejstvuju jedan sa drugim uz formiranje vodoničnih veza. Na površini nespecifičnog adsorbenta mnogi molekuli grupe A, B i D sposobni su da formiraju asocijate različite stabilnosti.

Silicijumdioksid se koristi u različitim hromatografskim sistemima kao što su: tečna hromatografija, jonoizmenjivačka hromatografija, hromatografija gas-čvrsto ili kao nosač za hromatografiju gas-tečnost. Brojni radovi su uradjeni i posvećeni analitičkoj primeni i teorijskim izučavanjima ovog materijala. U nedavno objavljenoj monografiji Unger-a /2/ rasmatra se primena ovog materijala u svim hromatografskim sistemima izuzev kod sistema hromatografije gas-čvrsto.

Phillips i Scott /147/ su prvi predložili upotrebu modifikovanih sorbenata u hromatografiji gas-čvrsto. Sve do tog vremena SiO_2 (a i ostali oksidni sorbenti) je korišćen, uglavnom, za analizu lakih ugljovodnika i permanentnih gasova /148/. Modifikacija se sastoji u prevlačenju cvrstog sorbenta sa neorganskom solju ili polimerom. Pri tome se smanjuje broj aktivnih mesta za interakciju sorbata sa površinom a takodje se i površina sorbenta redukuje i postaje homogenija. Na taj način se dobijaju simetričniji hromatografski pikovi sa kraćim vremenima zadržavanja.

Cooke i Barry /149/ su pokazali da konvencionalna tehnika za pripremu modifikovanih sorbenata pomoću rotacionog uparivača nije prihvatljiva. Razlog tome je što se izvesna ko-

ličina odmerene soli deponuje na zidove staklene flaše i što je koncentracija metalnih jona u elektrostatički adherovanom materijalu veća od one u masi materijala za red veličine. Citirani autori su, na primeru silikagela, pokazali da se mnogo bolji rezultati dobijaju ako se odgovarajuća količina silikagela uravnotežava, u plastičnim flašama, sa rastvorom željene soli.

Značajan doprinos u izučavanju ponašanja modifikovanog silikagela u hromatografiji gas-čvrsto dao je Sawyer sa saradnicima /141,150-154/. U radu /150/ izučavani su površinski kompleksi formirani od strane aromatičnih molekula sa LaCl_3 na silikagelu. Eksperimentalni podaci su pokazali da se hromatografija gas-čvrsto može uspešno koristiti za izučavanje kompleksiranja površine, naročito kod slabih površinskih kompleksa. Gerber i Sawyer /154/ su merili retencione zapremine O_2 , N_2 , inertnih gasova i metana na poroznom SiO_2 modifikovanom sa NaCl , LaCl_3 i Na_2MoO_4 u cilju izučavanja prirode nespecifičnih interakcija. Dobijeni rezultati ukazuju da je energija interakcije, pri desorpciji na poroznom SiO_2 , direktno proporcionalna polarizabilnosti molekula sorbata izuzev u slučaju metana. Na primeru sorpcije serije cikličnih alkena (C_5-C_8), polialkena i alkana na poroznom SiO_2 , Brookman i Sawyer /141,151/ su pokazali da se hromatografija gas-čvrsto može efikasno koristiti za određivanje molekulskih struktura cikličnih nezasićenih ugljovodonika. Cadogan i Sawyer /152/ su ispitivali uticaj termičkog tretmana (523-973K) modifikovanog silikagela i poroznog SiO_2 na retencione zapremine različitih sorbata. Dobijene maksimume ili minimume kod zavisnosti $\Delta(\Delta G) = f(T)$, $\Delta(\Delta H) = f(T)$ i $\Delta(\Delta S) = f(T)$ pri $T = 773-873\text{K}$ autori su objasnili dehidroksilacijom sorbenata. U slučaju benzola toploata sorpcije na hidroksiliranoj površini SiO_2 je veća u odnosu na dehidroksilirani uzorak. Rezultati ovih autora su u skladu sa rezultatima Kiseljeva /155/. Promene termodinamičkih parametara procesa sorpcije različitih ugljovodonika i halogenmetana u odnosu na njihove molarne refrakcije, dipolne momente i specifične interakcije odredjivali su Okamura i Sawyer /153/. Kao sorbent

korišćen je porozni SiO_2 modifikovan sa Na_2SO_4 .

Guillemin i saradnici /156-159/ su detaljno ispitivali mogućnost korišćenja čistog SiO_2 , u obliku sfernih čestica tzv. sferosila, u hromatografiji gas-čvrsto. Svi ovi radovi posvećeni su analitičkoj primeni u cilju razdvajanja različitih molekula. Pri tome je ispitivan uticaj temperature aktivacije, specifične površine, poroznosti i modifikacije čvrstog sorbenta. Posebnu pažnju Guillemin /160/ je posvetio specifičnoj površini kao važnom parametru u hromatografiji. Silicijum dioksid se ne preporučuje za razdvajanje polarnih jedinjenja (pre svega onih koja sadrže kiseonik) zato što ova jedinjenja daju nesimetrične pikove (tzv. teglenje). Međutim, korišćenjem modifikatora kao što su Carbowax 20 ili silikonska ulja moguće je dobiti zadovoljavajuće rezultate razdvajanja /156-158/.

Smolková i saradnici /161-163/ su odredjivali sorpcione izoterme n-heksana, cikloheksana i benzola na različitim uzorcima sferosila. Ovi autori su pokazali /161/ da je sorbovana količina po jedinici površine za tri različita tipa sferosila ista, na osnovu čega su zaključili da je koncentracija silanolnih grupa približno ista. U sledećem radu Smolková i saradnici /162/ su saopštili rezultate ispitivanja uticaja termičkog tretmana sferosila (od 373 do 1273K) na sorpciju benzola i heksana. Toplota sorpcije benzola opada sa porastom temperature tretmana, dok je u slučaju n-heksana dobijena ista vrednost bez obzira na temperaturu tretmana. Ovi autori su takođe pratili promenu kristalne strukture uzorka sferosila u zavisnosti od temperature tretmana. Uzorak sferosila specifične površine $210 \text{ m}^2 \cdot \text{g}^{-1}$ je zadržavao amorfnu strukturu do temperature tretmana od 1073K, pri 1173K postao je delimično kristalan, dok je pri 1283K potpuno kristalisan (α -kristobalit). U slučaju uzorka čija je $S_p = 27 \text{ m}^2 \cdot \text{g}^{-1}$ delimična kristalizacija se dešava pri 1073K. Dalja ispitivanja ovih autora /163/ su pokazala da se na polaznom sferosilu polarne supstance, sa visokim tačkama ključanja, nereverzibilno sorbuju. Autori navode da se organski molekuli, bez konkretnog navodjenja o kojim se molekulima radi, katalitički ras-

padaju na ovakvom materijalu. Simetrične i oštре pikove eluiranja za polarne supstance moguće je dobiti na termički tretiranim sferosilu.

Kiseljev sa saradnicima posebnu pažnju posvećuje ispitivanju adsorpcionih osobina modifikovanog silikagela. Kao modifikator površine ovi autori koriste trimetilsilan /164/, poliarilat /165/, i poliamid /166/. Datar i Ramanathan /167/ za modifikaciju površine silikagela koriste Cu(II)-jedinjenja. Kiseljev /168/ je pokazao da prisustvo, na površini SiO_2 , nečistoća koje formiraju jake Lewis-ove kisele centre (kao što su Al i B) izaziva porast u energiji vezivanja izmedju elektron-donor molekula. Efekat je specijalno primetan pri dehidroksilaciji kada jaki Lewis kiseli centri postaju otkriveni.

Cook, Barry i Solomon /144/ su izučavali sorpciju nekih alkana, alkena i aromatičnih jedinjenja na silikagelu modifikovanom hloridima Mn^{2+} , Co^{2+} , Zn^{2+} i Ca^{2+} . Interesantno je napomenuti da su ovi autori dobili izuzetno visoku vrednost ($-98.3 \text{ kJ.mol}^{-1}$) za toplotu sorpcije 1-pentena na nemodifikovanom silikagelu. Autori navode da zbog hemisorpcije ΔH nije određena za 1-heksen i 1-hepten.

2.4. Toplota kvašenja silicijumdioksida

Mnoga istraživanja su izvedena na određivanju toplota kvašenja različitih vrsta SiO_2 , kako u vodi tako i u organskim rastvaračima. Pregled literature (podaci dati u tablici 2) ukazuje na znatne protivrečnosti i neslaganja u vrednostima toplota kvašenja (ΔH_k) dobijenim u različitim laboratorijama a često i od strane istih istraživača. Iz tablice 2 se vidi da toplote kvašenja prahova SiO_2 variraju u širokim granicama. Očevидно је, да се структура и састав површине разликују не само од praha do praha nego se i znatno modikuju uslovima pod kojima su uzorci pripremani.

Tablica 2. Toplote kvašenja, $-\Delta h_k$ (mJ.m⁻²), silicijumdioksida u različitim tečnostima

Vrsta SiO ₂	Način pripremanja adsorbenta	S_p' m ² g ⁻¹	Tehnost za kvašenje	$-\Delta h_k$ mJ.m ⁻²	Literatura
1	2	3	4	5	6
Aerosil TK-800	termički tretiran pri 423K (vakuum)	129 4,3	voda "	505 510	179
Mleveni kvarc	termički tretiran pri 573-633K (vakuum)	328	benzol cikloheksan n-oktan	97 68 54	
Linde SiO ₂ prah	"	366	metanol voda	185 261	180
Siliika gel	"	120	benzol voda	100 263	
Aerosil	termički tretiran pri 423K (vakuum)	701	heptan butylalkohol butilhlorid nitropropan	110 188 223 285	181
Porozni SiO ₂	termički tretiran pri 523K	0,83-0,91	voda	165	182
Kvarc	uzorci vakuumirani pri 388-633K, termički tretiran u vazduhu do 1373K			160-1450*	169
Kvarc	termički tretiran pri 383-723K (vakuum)	0,07-1,28 162 - 188	voda voda	457-892 88,8-182	183
Kvarc	termički tretiran pri 383-723K (vakuum)	7,5	voda	308 - 410	184

Nastavak tablice 2.

	1	2	3	4	5	6
Kvarc amorfni	termički tretiran pri 383-723K (vakuum)	0,046-7,5 353 - 746	voda voda	330-940 150-278	170	
Silikagel	termički tretiran pri 383-673K (vakuum)	353 - 746	benzol cikloheksan	75-160 30-85	185	
Kvarc amorfni	termički tretiran pri 383-723K (vakuum)	0,070-1,28 1,28 188-812	voda metanol voda	460-900 430-454 160-460	186	
Aerosil	termički tretiran pri 973-1333K	8,5-147,5	voda	160	187	
"	termički tretiran do 973K	144-355	voda	160-455		
"	termički tretiran do 773K (vazduh)	155	voda	107-175**		
"	termički tretiran od 773K (vakuum)	155	voda	120-186**	172	
"	termički tretiran od 700K (vakuum)	144-171	benzol	92-121		
Aerosil	termički tretiran pri 300-773K (vakuum)	200	benzol	98-224	173	
Silikagel	termički tretiran pri 293-1173K (vakuum)	272-349	voda	79,4-430,0	174	
Aerosil	termički tretiran pri 293-1173K (vakuum)	95,8-220,9	voda	18,2-62,0	175	

Nastavak tablice 2.

1	2	3	4	5	6
Silikagel	termički tretiran pri 450-1250K (vazduh, vakuum, he- lium, kiseonik, voda)	15-733	voda alkoholi benzol cikloheksan toluoil hloroform	78-195 80-210 68-91 49 78-98 69-86	188
Kvarc	termički tretiran pri 373-673K (vakuum)	5,1	voda HCl (0.001-0.1 mol/dm ³)	364-447 346-952	189
Silikagel	termički tretiran pri 573-973K	340-695	voda	45-182	190
Kvarc	termički tretiran pri 373-573K (vakuum)	31,7-50,8	voda	210-242	191
Aerosil	Termički tretiran pri 573-973K (vazduh)	120-240	alkoholi	128-254	192
Silikagel	termički tretiran pri 293-1173K (vazduh)	695-178	voda	96-199	
Aerosil	termički tretiran pri 573K (vazduh)	244	voda	172	193
Kvarc	termički tretiran pri 573K (vazduh)	-	voda	296	
Silikagel	termički tretiran pri 293-1173K (vazduh)	695-275	voda	93-200	177

* Ponovljena merenja 193/ sa istim materijalom ukazuju na netačnost ovako visoke vrednosti Δh_K° .

** Merenje topote izvrgenog pr. 284,7-327,7K

Rezultati dobijeni kod različitih uzoraka SiO_2 , degaziranih u vakuumu pokazuju maksimum na krivoj: toplota kvašenja u vodi prema temperaturi degazacije. Ovaj maksimum se nalazi pri temperaturi od $T=573 \pm 50\text{K}$ /169-177/. Za objašnjenje ovog maksimuma u literaturi postoje tri hipoteze. Prema jednoj hipotezi /169,176,177/, za vreme kvašenja hidroksilne grupe na površini SiO_2 formiraju vodonične veze sa molekulima vode. Pri temperaturama višim od 573K dešava se kondenzacija površinskih hidroksilnih grupa. Silanolne grupe prelaze u siloksanove grupe koje se teško rehidroksiliraju kvašenjem u vodi; prema tome, dolazi do smanjenja toplote kvašenja. Sa druge strane, pri nižim temperaturama površinske hidroksilne grupe su delimično pokrivene izvesnom količinom molekula fizički adsorbovane vode tako da toplota kvašenja postaje manja. Pri temperaturi $T=573 \pm 50\text{K}$ postoji najveća koncentracija površinskih hidroksilnih grupa što dovodi do maksimuma u toploti kvašenja.

Prema drugoj hipotezi /170,174,175,178/, termički tretman vodi formiranju siloksanove površine usled kondenzacije površinskih hidroksilnih grupa. Kvašenjem u vodi uzorka SiO_2 sa siloksanovom površinom dolazi do stvaranja hidroksilnih grupa. Toplota kvašenja raste pošto i dehidroksilacija raste sa porastom temperature termičkog tretmana. Posle odredjene temperature tretmana dolazi do smanjenja toplote kvašenja što je posledica formirane siloksanove površine koju je teško ponovo hidroksilirati.

Nasuprot gore pomenutim objašnjenjima Tyler i saradnici /172/ navode da toplota kvašenja SiO_2 u vodi i benzolu sačrši član koji odražava remećenje strukture sloja tečnosti koji se nalazi oko čestice. Činjenica je, danas već dobro poznata u literaturi, da se voda blizu površine SiO_2 znatno razlikuje od vode u masi (tečnog stanja) i zavisi od poroznosti uzorka.

Nedavan rad Kondo-a i saradnika /188/, posvećen izučavanju toplote kvašenja silikagela u vodi i nekim organskim ras-tvaračima, ukazuje da ne postoji prosta zavisnost toplote kvašenja od temperature termičkog tretmana. Ovi autori ukazuju da ne-

ma maksimuma saopštenog ranije. Međutim, vrednosti toplota kvašenja u vodi i alifatičnim alkoholima proporcionalne su gustoći površinskih OH-grupa u oblasti $0\text{--}4 \text{ OH/nm}^2$.

Veliki broj autora /174-177, 190, 192, 194, 195/ je pokazao da toplota kvašenja SiO_2 u vodi i drugim polarnim rastvaračima zavisi primarno od sadržaja vode u uzorku i proporcionalna je (najmanje kvalitativno) broju hidroksilnih grupa na površini i njihovoj mogućnosti za interakciju sa tečnom vodom. Nažalost, nemoguće je direktno meriti sadržaj površinskih OH-grupa u funkciji veličine čestice kod kristalnih modifikacija SiO_2 , pa i ostalih oksida. Poznato je, da su infracrvena merenja ograničena na uzorke sa visokim specifičnim površinama ($S_p > 50 \text{ m}^2 \cdot \text{g}^{-1}$) /196, 197/ koji su, po pravilu, kompletno amorfni.

Eksperimentalni podaci izvesnog broja autora sugeriraju da toplota kvašenja SiO_2 u vodi može zavisiti od specifične površine praha. Hackerman i saradnici /169, 186, 196/ su saopštili da su toplote kvašenja relativno grubih prahova ($S_p < 3 \text{ m}^2 \cdot \text{g}^{-1}$) veće za faktor 2 ili više od onih dobijenih za prahove velikih specifičnih površina ($S_p > 100 \text{ m}^2 \cdot \text{g}^{-1}$) i za gele. Do istog zaključka došao je i Jegorov sa saradnicima /176, 177, 191/ koji navode da uzorci SiO_2 sa većom specifičnom površinom imaju manju toplotu kvašenja i obrnuto. Ponavljajući svoja mikrokalorimetrijska merenja o uticaju veličine čestica SiO_2 na ΔH_k , Hackerman i saradnici /183, 196/ su prethodno dobijene rezultate pokušali da interpretiraju preko kristalne strukture SiO_2 površine. Njihovi rezultati ukazuju da su mnogi prahovi kristalnog kvarca amorfni u površinskom sloju. Ovo mišljenje podržavaju i drugi autori /199-202/.

Taylor i Hockey /187/ su pokazali da toplota kvašenja u vodi termički tretiranog amorfног SiO_2 ne zavisi od specifične površine praha. Za ova ispitivanja autori su koristili prah čija se S_p nalazi u oblasti od 8,5 do $147,5 \text{ m}^2 \cdot \text{g}^{-1}$. Isti autori navode da su toplotе kvašenja u vodi kristalnih modifikacija SiO_2 verovatno veće od onih za amorfne uzorke. Ovu pret-

postavku podržavaju Wade i saradnici /196/. Uzrok ovog fenomena, do sada, je ostao nejasan. Prema našem mišljenju jedno od mogućih objašnjenja moguće je naći u specifičnoj površini. Pošto se toplota kvašenja obično saopštava kao toplota oslobođena po jedinici površine ($mJ \cdot m^{-2}$) kada se čista čvrsta materija uroni u tečnost za kvašenje, to će vrednosti toplote kvašenja zavisiti od upotrebljene metode za određivanje specifične površine čvrste materije. S obzirom da kristalne modifikacije SiO_2 imaju niske vrednosti S_p (reda nekoliko m^2/g) to i greske u određivanju istih mogu biti velike.

Navedeni literaturni podaci ukazuju da toplota kvašenja u vodi prahova SiO_2 zavisi od sledećih parametara: strukture čestica, poroznosti, hidratacije površine, nečistoća, temperature kvašenja, termičkog tretmana kao i od vrste atmosfere za vreme termičkog tretmana.

3. C I L J R A D A

Granična površina silicijumdioksid/elektrolit bila je predmet, a i danas je, najintenzivnijih izučavanja u odnosu na sve ostale granične površine oksid/vodenih rastvor. Ovo je i razumljivo, s obzirom na izuzetne važnosti različitih oblika silicijumdioksida, stakla, silikata, itd. u skoro svim oblastima nauke i tehnologije.

S obzirom na današnju važnost koloidnog silicijumdioksida izuzetno je malo pažnje, do sada, posvećeno izučavanju sorpcionih osobina ovog materijala. Najdalje se otišlo u oblasti ispitivanja stabilnosti koloidnog silicijumdioksida u prisustvu elektrolita i različitih organskih jedinjenja, s obzirom da je poznavanje stabilnosti osnovni preuslov za dalje korišćenje ovog materijala. U literaturi ne postoje podaci o sorpcionim osobinama čvrstog materijala dobijenog iz ovog sela.

U želji da doprinesemo boljem poznavanju sorpcionih osobina koloidnog silicijumdioksida, kao jedne od bitnih karakteristika tog materijala, odlučili smo se da ispitamo: 1) Sorpciju jona alkalnih metala iz vodenih rastvora; 2) Stabilnost koloidnog silicijumdioksida u prisustvu jona alkalnih metala; 3) Sorpciju niza organskih jedinjenja na prahovima dobijenim iz koloidnog silicijumdioksida, i 4) Toplotu kvašenja vodom prahova dobijenih iz koloidnog silicijumdioksida.

1. Izučavanje sorpcije jona metala na silicijumdioksidu pri višim vrednostima pH i koncentracije, važno je, pre svega, zbog selektivnosti. Iz iznetih literaturnih podataka (deo 2.1.1) može se videti da ne postoji jedinstveno mišljenje o selektivnosti sorpcije jona metala na ovom sorbentu. Sorpciju jona metala na koloidnom silicijumdioksidu izučavalo je

nekoliko autora, prvenstveno sa ciljem odredjivanja stabilnosti ovog sola. Imajući u vidu da je, do sada, malo pažnje posvećeno koloidnom SiO_2 odlučili smo se, da u našem radu, detaljno ispitamo sorpciju jona alkalnih metala u zavisnosti od pH rastvora, koncentracije jona metala, vrste anjona i specifične površine koloidnog silicijumdioksida. Posebno smo se orjentisali na ispitivanje uticaja temperature na sorpciju jona alkalnih metala na koloidnom SiO_2 , s obzirom da takva ispitivanja na ovom sorbentu nisu radjena.

2. Najveći broj radova posvećenih koloidnom silicijumdioksidu odnosi se na ispitivanje stabilnosti ovog sola. Međutim, cilj naših izučavanja vezanih za ovu problematiku bio bi da se ovaj problem rasvetli više sa gledišta uticaja sorpcije jona alkalnih metala na stabilnost koloidnog silicijumdioksidu.

3. Iako je silikagel jedan od najčešće korišćenih sorbenata u hromatografiji gas-čvrsto, u literaturi ne postoji ni jedan podatak o mogućnosti korišćenja sorbenata dobijenih iz koloidnog silicijumdioksida. Iz tih razloga, smatrali smo važnim, ispitati ponašanje takvih čvrstih sorbenata ili nosača prema sorpciji organskih jedinjenja. Planirani su eksperimenti iz čijih rezultata bi se sagledao uticaj modifikacije površine silicijumdioksida na mehanizam sorpcije ovih jedinjenja. U tom cilju predviđen je rad, u širokom temperaturskom intervalu, sa polaznim silicijumdioksidom (tj. SiO_2 u H-obliku) i sa prahovima modifikovanim sa jonima alkalnih metala.

4. Sve do nedavno, smatralo se da maksimalnu toplotu pri kvašenju vodom oslobadjavaju uzorci silicijumdioksida termički tretirani pri $573+50\text{K}$. Slična ispitivanja sa prahovima dobijenim iz koloidnog silicijumdioksida nisu saopštена u literaturi. Predviđeni su eksperimenti sa kojima bi se ispitao uticaj termičkog tretmana na ovakav materijal. Ovo je od značaja s obzirom na monodisperznost u oblik primarnih čestica koloidnog silicijumdioksida. Takodje je predviđeno praćenje uticaja termičkog tretmana na promenu kristalne strukture.

Imajući ovo u vidu, očekujemo da rezultati ovih ispitivanja, kao originalan doprinos, doprinesu rešavanju problema vezanih za koloidni silicijumdioksid i prahove dobijene iz ovog materijala, a koji su istaknuti na osnovu kratke analize literaturnih podataka.

ni divo i jaslinor ob ostojnicij ubiv u ovo izuzeti
vrednoj upravskoj bezbjednosti, socijalnoj oskrbi, pravosudju
i političkih svetova i priznajući inicijatice i interesove na
političkim i ekonomskim planovima te finansijskim resursama
koje su u potpunosti potrebiti za razvoj i razširjanje
konzervativne politike, učinio je da se premaši ne samo
ekonomski interes države, već i interes i potrebe na
političkom planu, a takođe je način napredovanja na ovom području
ponešao.

U poslednjih dva desetljeća postavljeni kolosalni interes
jednogodišnjeg rasta je na Zapadnoj strani Evrope, ali i u
Sjeveru, ali i u Sredozemlju, učinio je da se održatice
ne samo na polju ekonomskog razvoja, već i na ekonomskoj i političkoj
sferi, jer su se stabilnosti kolodiovi slijedili uobičajeno.

A. Zapadna Evropa, učinjen od slobodne koriđenja
zemljopisnih granica, u liberalizmu se počelo
u poslednjih desetljećima razvijati i učiniti dominantom
u kolosalnoj ekonomskoj sferi na svijetu, smatrajući da je
tako, impunski postignuti kolosalni uspeh u svakom pogledu.

Uz to, učinjen je i veliki uspeh u političkoj i vojnoj
sfери, jer su se učinile i velike političke i vojne
uspehe, a učinjen je i veliki uspeh u kulturnoj
sfери, jer su se učinile i velike kulturne uspehe.

Uz to, učinjen je i veliki uspeh u ekonomskoj
sfери, jer su se učinile i velike ekonomске uspehe.

Uz to, učinjen je i veliki uspeh u vojnoj
sfери, jer su se učinile i velike vojne uspehe.

4. E K S P E R I M E N T A L N I D E O

4.1. Korišćeni materijali

4.1.1. *Priprema koloidnog silicijumdioksida*

Koloidni silicijumdioksid dobijen je metodom jonske izmene, slično postupku opisanom u literaturi /99,203,204/. Vodenim rastvor natrijumsilikata (vodeno staklo), u kome je koncentracija $\text{SiO}_2 \sim 3,5$ mas.%, propušten je kroz staklenu kolonu (prečnika $d=75$ mm, visine $h=300$ mm), koja je sadržavala 500 g katjonskog izmenjivača KU-2 u H-obliku, brzinom od $\sim 10 \text{ cm}^3/\text{min}$. Periodično je vršena kontrola pH efluenta. Prva količina efluenta, $\sim 300 \text{ cm}^3$, sa vrednošću $\text{pH} > 3$ je odbačena. Naredne količine efluenta (polisilicijumova kiselina) čija pH vrednost iznosi 2-3 su sakupljene. Podešavanje pH sakupljenog efluenta ($\sim 2500 \text{ cm}^3$) izvršeno je dodavanjem rastvora NaOH (1 mol/ dm^3). Rastvor polisilicijumove kiseline zapremine 400 cm^3 sa vrednošću $\text{pH}=7,2-7,6$ prenet je u stakleni balon sa tri otvora, zapremine $3,5 \text{ dm}^3$. Zagrevanje staklenog balona ostvareno je pomoću ultratermostata napunjene glicerinom. Temperatura termostata sa glicerinom od 380 K regulisana je kontaktnim termometrom. U balonu je održavana temperatura ključanja sola (~ 374 K). Rastvor polisilicijumove kiseline držan je pri temperaturi ključanja u trajanju od 1,5 h radi formiranja centara kristalizacije. U sol koji ključa dodavan je, kapanjem, preostali deo efluenta, u trajanju od 3-3,5 h, pomoću levka za odvajanje. Pri ovome nastaje proces rasta polaznih čestica do srednjeg prečnika, $d_{\text{sr}} \sim 10 \text{ nm}$. Posle dodatka čitave količine efluenta produžavano je zagrevanje još 15 minuta. Dobijeni koloidni silicijumdioksid ohladjen je do sobne temperature.

Pri procesu jonske izmene katjonski izmenjivač prelazi u Na-oblik. Za dalje korišćenje katjonski izmenjivač treba

prevesti u H-oblik. Regeneracija jonoizmenjivača izvodi se sa 3% rastvorom H_2SO_4 . Posle regeneracije jonoizmenjivač je ispiran sa destilovanom vodom do neutralne reakcije.

4.1.2. Karakterizacija dobijenog materijala

U cilju karakterizacije pripremljenog koloidnog silicijumdioksida vršeno je:

- a) odredjivanje sadržaja silicijumdioksida,
- b) odredjivanje sadržaja Na_2O ,
- c) merenje pH pripremljenog sola i
- d) odredjivanje veličine čestica silicijumdioksida.

a) Odredjivanje sadržaja silicijumdioksida

Odredjivanje sadržaja SiO_2 u pripremljenom solu vršeno je volumetrijskom metodom /205,206/ na sledeći način. Odmerena količina (~10 g) koloidnog silicijumdioksida preneta je u merni sud od 100 cm^3 i dopunjena sa destilovanom vodom. Od ovog rastvora odpipetirano je 25 cm^3 u erlenmajer od 50 cm^3 i neutralisano sa HCl ($0,1 \text{ mol/dm}^3$), uz indikator metil crveno, do isčezavanja žute boje. Rastvor je zatim prenet u porcelansku šolju (prethodno zaštićenu sa parafinom), dodato je 4 g suvog NaF , nekoliko kapi indikatora metil crvenog i titrisano sa HCl ($1,0 \text{ mol/dm}^3$) do isčezavanja žute boje.

Sadržaj silicijumdioksida određuje se prema izrazu:

$$SiO_2 = \frac{v \cdot k \cdot h \cdot 0,015}{G} 100, \% \quad (31)$$

gde je: v -zapremina HCl ($1,0 \text{ mol/dm}^3$) utrošena pri titraciji (cm^3); k -koeficijent popravke za HCl ($1,0 \text{ mol/dm}^3$); h -razblažeњe rastvora; $0,015$ -koeficijent za preračunavanje i G -masa koloidnog silicijumdioksida (g).

b) Odredjivanje sadržaja Na_2O

Koncentracija Na_2O u pripremljenoj solu određivana je volumetrijskom metodom /205/.

Odmerena količina (~10 g) koloidnog silicijumdioksiда preneta je u merni sud od 100 cm^3 i dopunjena sa destilovanim vodom. Od ovog rastvora odpipetirano je 25 cm^3 i titrisano sa HCl ($0,1 \text{ mol/dm}^3$) uz metiloranž.

Sadržaj alkalijske izračunat je prema formuli:

$$\text{Na}_2\text{O} = \frac{v \cdot k \cdot h \cdot 0,0031}{G} 100, \% \quad (32)$$

gde je: v -zapremina HCl ($0,1 \text{ mol/dm}^3$) utrošena pri titraciji (cm^3); k -koeficijent popravke HCl ($0,1 \text{ mol/dm}^3$); h -razblaženje rastvora; $0,0031$ faktor za preračunavanje i G -odvaga koloidnog silicijumdioksida (g).

a) Merenje pH koloidnog silicijumdioksida

Jedna od najvažnijih karakteristika koloidnog silicijumdioksida je pH pošto se ponašanje koloidnog SiO_2 može da menja sa malim promenama ove veličine. Merenje pH se obično vrši /3/ uz korišćenje staklenih elektroda otpornih na alkalijske.

d) Određivanje veličine čestica silicijumdioksida

Za određivanje veličine čestica čvrstog SiO_2 u pripremljenom solu korišćena je metoda predložena od strane Sears-a /207/.

Uzorak koloidnog silicijumdioksida, koji sadrži 1,5 g čvrstog SiO_2 , prenet je u čašu zapremine 250 cm^3 . Radi neutralizacije slobodne alkalijske koja se nalazi u solu dodata je razblažena HCl do vrednosti $\text{pH}=3-3,5$. U ovaj rastvor uneto je 30 g NaCl i sa destilovanom vodom zapremina je dovedena do 150 cm^3 . Termostatiranjem, uz stalno mešanje, održavana je temperatura rastvora na $298 \pm 0,5 \text{ K}$. Standardnim rastvorom NaOH ($0,1 \text{ mol/dm}^3$) pH rastvora sola doveden je do vrednosti $\text{pH}=4$ i sa istim rastvorom hidroksida nastavljena je titracija do vrednosti $\text{pH}=9$ (stabilna vrednost).

Izračunavanje specifične površine, S_p , silicijumdioksida vrši se pomoću empirijske jednačine /207/:

$$S_p = 32 \cdot v \cdot k - 25, \text{ m}^2/\text{g} \quad (33)$$

gde je: v -zapremina NaOH ($0,1 \text{ mol/dm}^3$) utrošena na titraciju soli od $\text{pH}=4$ do $\text{pH}=9 (\text{cm}^3)$; k -koeficijent popravke NaOH ($0,1 \text{ mol/dm}^3$).

Srednji prečnik čestica SiO_2 moguće je izračunati prema obrascu:

$$d_s = \frac{6}{S_p \cdot \rho} \quad (34)$$

gde je: S_p -specifična površina (m^2/g) i ρ -gustina amorfognog silicijumdioksida ($\text{g} \cdot \text{cm}^{-3}$). S obzirom da je $\rho=2,2 \text{ g} \cdot \text{cm}^{-3}$ /3/ gornji izraz prelazi u

$$d_s = \frac{2720}{S_p}, \text{ nm} \quad (35)$$

4.1.3. Priprema čvrstog silicijumdioksida koagulacijom koloidnog SiO_2

U cilju dobijanja čvrstog silicijumdioksida i prevođenja u Li-,Na-,K- i Cs-oblik vršena je koagulacija koloidnog silicijumdioksida na sledeći način. U 400 g koloidnog silicijumdioksida dodata je, uz mešanje, odgovarajuća količina hlorida pomenutih jona (da bi koncentracija iznosila 1 mol/dm^3). Pomoću rastvora NaOH vršeno je doterivanje pH pripremljenih rastvora do vrednosti $\text{pH}=10$. Ovako pripremljeni rastvori uravnotežavani su u plastičnim sudovima (uz mešanje) u trajanju od 4-5 h. Posle toga disperzna faza je odvajana od disperzne sredine filtracijom (vodenim vakuuum). Dobijena disperzna faza (SiO_2 sa sorbowanim jonom) sušena je na vazduhu, sitnjena i ispirana sa destilovanom vodom do negativne reakcije na Cl^- -jon. Ovako dobijeni materijal sušen je na vazduhu a zatim u sušnici pri $T=383 \text{ K}$ u trajanju od 24 h.

Radi dobijanja čvrstog SiO_2 u H-obliku odredjena količina (400 g) koloidnog silicijumdioksida je tretirana na sledeći način. Pomoću NaCl izvršena je koagulacija i odmah je počela filtracija u cilju odvajanja čvrste faze. Čvrsta faza (delimično suva) preneta je u plastičnu flašu u koju je dodato 200 $\text{cm}^3 \text{HCl}$ (0,15 mol/dm³) u cilju desorpcije sorbovanog Na^+ -jona. Uravnotežavanje je vršeno u trajanju od 24 h. Posle uravnotežavanja pH rastvora je iznosio 2,2 što odgovara vrednosti pH_{tNN} za SiO_2 (tablica 1). Pri ovoj vrednosti pH, silicijumdioksid se nalazi u H-obliku tj. nema sorbovanih Na^+ -jona. Čvrst materijal je odvojen filtracijom, sušen na vazduhu i ispran sa destilovanim vodom do negativne reakcije na Cl^- -jone. Posle toga materijal je sušen na vazduhu a zatim u sušnici pri $T=383 \text{ K}$ u trajanju od 24 h.

4.1.4. Karakterizacija čvrstog silicijumdioksida

Karakterizacija pripremljenog čvrstog silicijumdioksida vršena je prema određivanju:

- a) kristalne strukture,
- b) specifične površine i
- c) količine sorbovanih jona.

a) Određivanje kristalne strukture

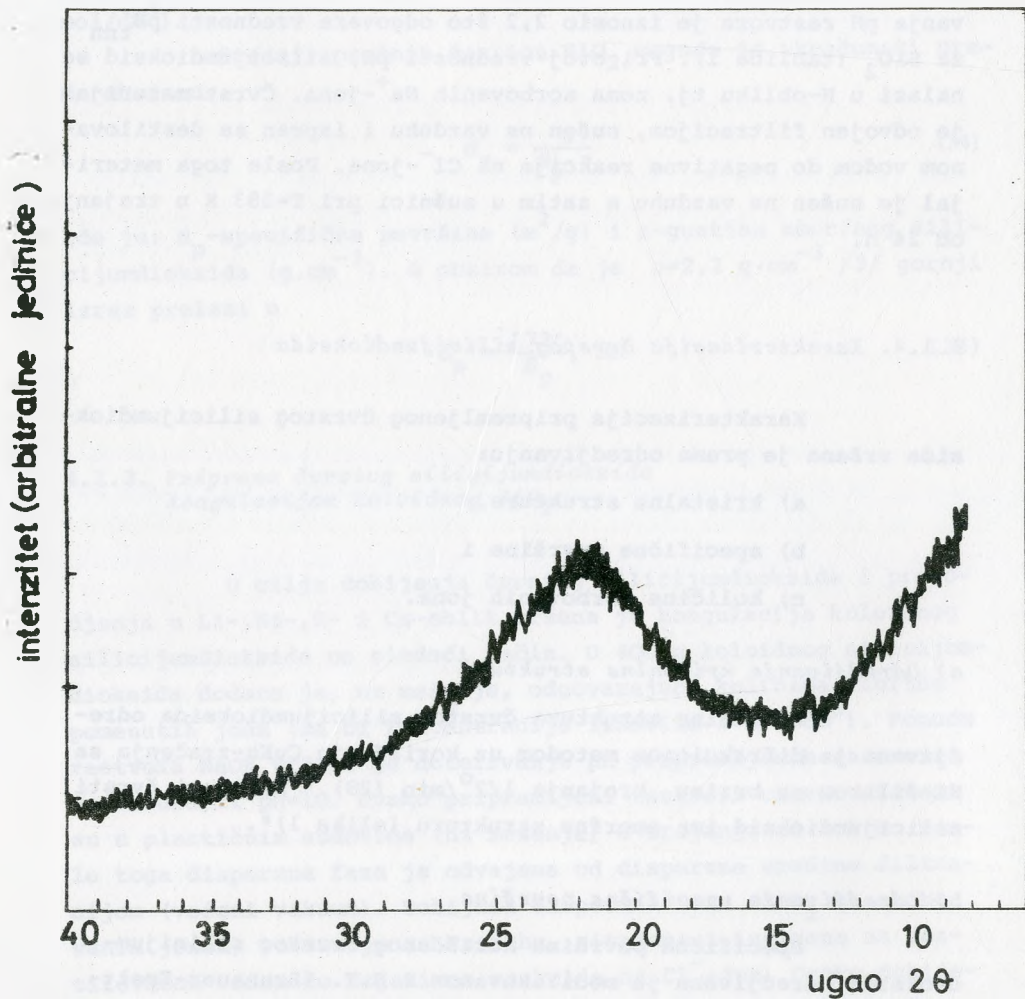
Kristalna struktura čvrstog silicijumdioksida određivana je difrakcionom metodom uz korišćenje CuK α -zračenja sa Ni-filtrom uz brzinu brojanja $1/2^\circ/\text{min}$ (20). Dobijeni čvrsti silicijumdioksid ima amorfnu strukturu (slika 1)*.

b) Određivanje specifične površine

Specifična površina korišćenog čvrstog silicijumdioksida određivana je modifikovanom B.E.T. (Brunauer-Emett-

* Određivanje kristalne strukture izvršio je S. Malčić, dipl. fiz. hem., naučni savetnik Instituta za nuklearne nauke "Baris Kidrič", u Vinči, na čemu mu se najlepše zahvaljujem.

Teller) metodom u "jednoj tački" uz odgovarajuće korekcije. Uzorci su degazirani u vakuumu (1.33Pa) pri 423 K. Na ovako oslobođene površine sorbovan je azot čistoće 99,9%, sušen provođenjem kroz silikagel. Posle sorpcije na temperaturi tečnog azota, gas je desorbovan na temperaturi nešto višoj od sobne.



Sl. 1. Dobijeni difraktogram praha SiO_2 pripremljenog iz koloidnog silicijumdioksida

Specifična površina izračunavana je iz razlike pritisaka u mernom i uporednom sudu jednake zapremine koji su se u toku sorpcije i desorpcije identično tretirali.

c) Odredjivanje količine sorbovanih jona

Za odredjivanje količine sorbovanog jona oko 1 g tačno odmerenog čvrstog silicijumdioksida uravnotežavano je sa $20 \text{ cm}^3 \text{ HCl}$ ($\sim 0,03 \text{ mol/dm}^3$). Uravnotežavanje je izvodjeno u plastičnim flašicama pri sobnoj temperaturi u trajanju od 24 h. Filtriranjem je odvojen rastvor od čvrstog materijala. Izmerene vrednosti pH rastvora nakon uravnotežavanja ($\text{pH}=2,0-2,2$) ukazuju na potpunu desorpciju ranije sorbovanih jona ($\text{pH}=\text{pH}_{\text{tNN}}$). Količina jona alkalnih metala u rastvoru određena je metodom atomske apsorpcione spektrofotometrije /208/. Dobijene su sledeće vrednosti sorbovanih jona alkalnih metala:

$\text{SiO}_2\text{-Li}$	sorbovano	0,12 mmol Li^+ /g SiO_2
$\text{SiO}_2\text{-Na}$	"	0,35 mmol Na^+ /g SiO_2
$\text{SiO}_2\text{-K}$	"	0,27 mmol K^+ /g SiO_2
$\text{SiO}_2\text{-Cs}$	"	0,45 mmol Cs^+ /g SiO_2

4.2. Aparati i uredjaji

Za odredjivanje sorpcije jona alkalnih metala korišćena je modifikovana aparatura za potenciometrijsku titraciju sa staklenom i srebro/srebrohloridnom elektrodom, uz stalno uvodjenje azota radi sprečavanja apsorpcije CO_2 iz vazduha. Merenje pH rastvora vršeno je pomoću pH-metra (proizvodnje "Poles-pečat", SSSR) tip pH-121 sa tačnošću 0,02 pH jedinice.

Praćenje promene optičke gustine rastvora pri koagulaciji koloidnog silicijumdioksida vršeno je upotrebom fotoklorimetra (proizvodnje "Elektromedyczna", Warszawa, Poland) tip KF-5 uz korišćenje filtra FG 7 (550 nm).

Odredjivanje sorbovane količine alkalnih metala na čvrstom silicijumdioksidu vršeno je na atomskom apsorpcionom

spektrofotometru firme Perkin Elmer, Model 403.

Specifična površina pripremljenih uzoraka čvrstog silicijumdioksida merena je korišćenjem komercijalnog aparata areametra firme Ströhlein.

Praćenje promene kristalne strukture čvrstog silicijumdioksida pri termičkom tretmanu vršeno je rentgenskim difraktometrom Siemens Kristalloflex 4 sa GM-brojačem.

Gasni hromatograf firme Perkin Elmer, model 881 sa plameno-jonizacionim detektorom korišćen je za izučavanje sorpcije organskih jedinjenja na čvrstom silicijumdioksidu. Registracija hromatograma vršena je uz korišćenje pisača proizvodnje Hitachi/Perkin Elmer, Model 159.

Merenje toplote kvašenja vodom čvrstog silicijumdioksida izvodjeno je upotrebom kalorimetra diferencijalnog tipa sa izotermskim omotačem, konstruisanog u Institutu za nuklearne nauke "B.Kidrič" Vinča. Detaljan opis i postupak rada ponutog kalorimetra dati su ranije /209,210/. S obzirom da su merene vrednosti toplota kvašenja relativno niske, radi preciznijeg odredjivanja ove veličine, dobijeni signali su pojačani (X8) korišćenjem Hewlett Packard pojačavača, tip 2470 A.

4.3. Primjenjene metode

4.3.1. Metoda potenciometrijske titracije za izučavanje sorpcije jona na koloidnom silicijumdioksidu

Količina sorbovanih jona alkalnih metala na koloidnom silicijumdioksidu merena je metodom potenciometrijske titracije /38,99/, uz korišćenje staklene i srebro/srebrohloridne elektrode. U svakom ogledu izvodjena je titracija 250 cm^3 rastvora odredjene koncentracije jona alkalnih metala u prisustvu koloidnog silicijumdioksida (1 g preračunato na čvrsti SiO_2). Titracija je izvodjena u polietilenskom sudu u cilju sprečavanja kontaminacije rastvora sa Si koji bi mogao nastati rastvaranje

ranjem staklene posude, uz održavanje konstantne temperature ($\pm 0,2$ K). Za vreme titracije rastvor je neprekidno mešan po- moću magnetne mešalice. Zbog sprečavanja koagulacije koloidnog SiO_2 i radi prevodjenja silicijumdioksida u H-oblik pH rastvora elektrolita i sola SiO_2 je, pomoću razblažene HCl , do- voden do vrednosti pH=2,8. Ova vrednost pH bliska je vrednos- ti tačke nultog nanelektrisanja sa SiO_2 . Titracija rastvora je izvodjena sa rastvorom alkalije ($0,1 \text{ mol/dm}^3$) koji sadrži isti katjon, sem u slučaju cezijumovih soli kod kojih je za titra- ciju upotrebljen NaOH ($0,1 \text{ mol/dm}^3$). Rastvor alkalije dodavan je po $0,25$ do $0,5 \text{ cm}^3$ svakih 5 min. Vreme trajanja jedne tit- racije iznosilo je ~ 4 h. Na isti način izvodjena je i titraci- ja rastvora bez dodatka koloidnog silicijumdioksida (blanko proba). Iz razlike količine alkalije utrošene pri titraciji probe sa koloidnim silicijumdioksidom i blanko probe, pri od- redjenoj vrednosti pH, moguće je izračunati sorbovanu količinu datog jona.

4.3.2. Metode za određivanje stabilnosti koloidnog silicijumdioksida u prisustvu elektrolita

Pri ispitivanju stabilnosti koloidnog silicijumdiok- sida u prisustvu elektrolita primenjen je prethodno pomenuti postupak potenciometrijske titracije pri čemu je momenat koagu- lacije registrovan vizuelno /130/. Da bi uporedili rezultate o stabilnosti koloidnog SiO_2 u prisustvu elektrolita dobijene vi- zuelnim putem, stabilnost je praćena i merenjem optičke gustine rastvora. Postignuta je dobra saglasnost pri poređenju rezul- tata dobijenih ovim dvema metodama. Tako npr. koagulacija kolo- idnog silicijumdioksida iz rastvora $0,75 \text{ mol/dm}^3 \text{ KCl}$ se dešava pri pH=8,30 (odredjeno vizuelno), dok je korišćenjem kolorimet- ra dobijeno da se koagulacija dešava pri pH=8,25.

4.3.3. Metoda za izučavanje sorpcije organskih jedinjenja na čvrstom silicijumdioksidu dobijenom iz koloidnog SiO_2

U poslednje vreme gasna hromatografija se koristi kao brza i veoma tačna metoda za izučavanje procesa adsorpcije na površinama čvrstih materijala /139,142,146,168/. Termo-dinamički parametri koji opisuju proces sorpcije mogu se izračunati direktno iz hromatograma. Prednosti ove metode predstavljaju: brzina eksperimenta, ispitivanje sorpcije pri niskim pokrivenostima sorbenta, mogućnost modifikacije sorbenta u koloni, rad i pri povišenim temperaturama i ispitivanje sorpcije u dinamičkim uslovima.

U našim eksperimentima hromatografske kolone od nerdjajućeg čelika dužine 2 m i unutrašnjeg prečnika 2,2 mm punjene su sa tačno odredjenom količinom pripremljenog čvrstog SiO_2 , veličine čestica 0,125-0,250 mm (60-120 mesh-a). Pre rada svaka kolona je kondicionirana u struji azota pri 523 K u trajanju od 24 h. Kao gas nosač korišćen je azot prečišćen pre ulaska u hromatograf. Protok gasa nosača varirao je u granicama $10-20 \text{ cm}^3 \text{ min}^{-1}$. Uzorci sorbata unošeni su mikrošpricem u hromatografski sistem kao mali uzorak pare. Vremena zadržavanja merena su štopericom sa tačnošću $\pm 0,2$ sec. Srednja vrednost vremena zadržavanja, dobijena iz najmanje tri nezavisna merenja, korišćena je za dalju obradu podataka. Prepostavljeno je, da je mrtvo vreme sistema jednako vremenu zadržavanja metana pri dатој temperaturi kolone.

4.3.4. Metoda za određivanje toplote kvašenja praha silicijumdioksida u vodi

Za izučavanje interakcije silicijumdioksid-voda odabrali smo kalorimetrijsku metodu koja omogućava direktno merenje toplote kvašenja i određivanje površinske energije silicijumdioksida. Toplota kvašenja je merena unošenjem 0,1-0,3 g uzorka SiO_2 u 200 cm^3 destilovane vode. Dobijeni eksperimentalni

rezultati predstavljaju srednje vrednosti 8-10 pojedinačnih merenja, što je u skladu sa preporukama. Naime, prema preporuci o publikaciji rezultata kalorimetrijskih merenja broj pojedinačnih merenja treba da iznosi 8-12 /211,212/.

Auf der anderen Seite des Flusses befindet sich ein weiterer Bereich mit
einem kleinen See und einer kleinen Insel, welche durch eine schmale
Brücke mit dem Festland verbunden ist. Auf der Insel befindet
sich ein kleiner Teich, welcher von einem kleinen Bach gespeist wird.
Der Bach entspringt aus einer Quelle im Hintergrund des Bildes und mündet
in den Teich. Der Teich ist von einer Mauer umgeben und hat eine
kleine Brücke über ihm. Im Hintergrund sind einige Bäume und
Felsen zu sehen.

Die Szene zeigt einen kleinen Teich im Vordergrund, der von einer
Mauer umgeben ist. Auf der Mauer steht ein kleiner Brunnen. Im Hintergrund
sind einige Bäume und Felsen zu sehen. Die Sonne scheint hell und
wirkt auf die Wasserfläche des Teiches. Die Farben sind warm und
durchdringen die Szene. Die Mauer ist aus Natursteinen gebaut und
hat eine gewisse Alter感. Der Teich selbst ist nicht sehr groß und
die Wasseroberfläche ist ruhig. Die Umgebung wirkt friedlich und
natürlich. Es gibt keine Menschen oder Tiere in der Szene.

Die Szene zeigt einen kleinen Teich im Vordergrund, der von einer
Mauer umgeben ist. Auf der Mauer steht ein kleiner Brunnen. Im Hintergrund
sind einige Bäume und Felsen zu sehen. Die Sonne scheint hell und
wirkt auf die Wasserfläche des Teiches. Die Farben sind warm und
durchdringen die Szene. Die Mauer ist aus Natursteinen gebaut und
hat eine gewisse Alter感. Der Teich selbst ist nicht sehr groß und
die Wasseroberfläche ist ruhig. Die Umgebung wirkt friedlich und
natürlich. Es gibt keine Menschen oder Tiere in der Szene.

In izučavanju je ustanovljeno da slijedjajućim metodama
detektovanje mikrostrukturnih struktura može biti uspostavljeno
na temelju kvaliteta i određivanja površinske strukture mikro-
strukturnih struktura. Detektovanje je na razini upotrebom 0,1-0,3 g/m²
zraka CO₂ u 200 cm² detektorskom vodu. Dohijeni rezultati pokazuju

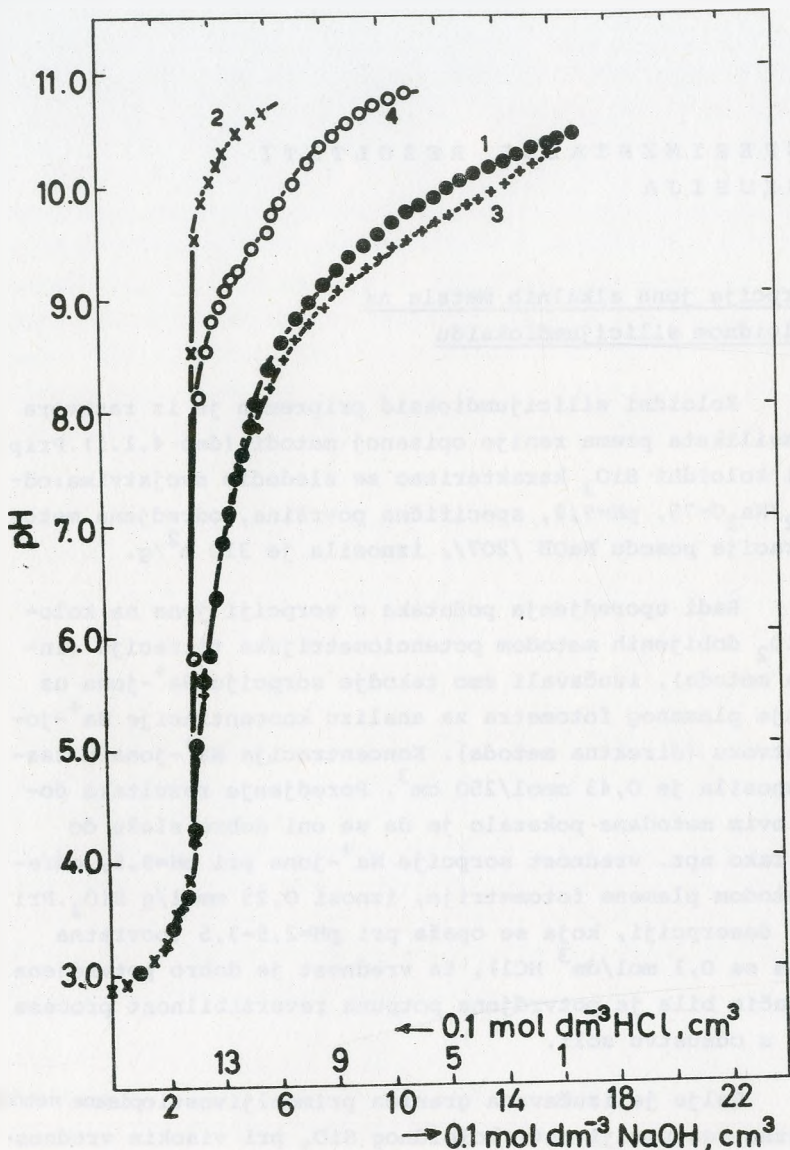
5. E K S P E R I M E N T A L N I R E Z U L T A T I I
D I S K U S I J A

5.1. Sorpcija jona alkalnih metala na
koloidnom silicijumdioksidu

Koloidni silicijumdioksid pripreman je iz rastvora natrijumsilikata prema ranije opisanoj metodi (deo 4.1.1). Pripomljeni koloidni SiO_2 karakterisao se sledećim svojstvima: odnos $\text{SiO}_2/\text{Na}_2\text{O}=75$, $\text{pH}=9,8$, specifična površina, odredjena metodom titracije pomoću NaOH /207/, iznosila je $310 \text{ m}^2/\text{g}$.

Radi uporedjenja podataka o sorpciji jona na koloidnom SiO_2 dobijenih metodom potenciometrijske titracije (indirektna metoda), izučavali smo takodje sorpciju Na^+ -jona uz korišćenje plamenog fotometra za analizu koncentracije Na^+ -jona u rastvoru (direktna metoda). Koncentracija Na^+ -jona u rastvoru iznosila je $0,43 \text{ mmol}/250 \text{ cm}^3$. Poredjenje rezultata dobijenih ovim metodama pokazalo je da se oni dobro slažu do $\text{pH}=9,5$. Tako npr. vrednost sorpcije Na^+ -jona pri $\text{pH}=9,5$, određena metodom plamene fotometrije, iznosi $0,25 \text{ mmol/g SiO}_2$. Pri potpunoj desorpciji, koja se opaža pri $\text{pH}=2,5-3,5$ (povratna titracija sa $0,1 \text{ mol/dm}^3 \text{ HCl}$), ta vrednost je dobro potvrđena. Na taj način bila je potvrđena potpuna reverzibilnost procesa sorpcije u odsustvu soli.

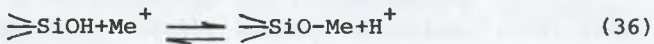
Dalje je izučavana granica primenljivosti opisane metode zbog zнатне rastvorljivosti koloidnog SiO_2 pri visokim vrednostima pH. Na slici 2 dat je tipičan izgled krivih dobijenih pri titraciji rastvora $1,0 \text{ mol/dm}^3 \text{ NaCl}$. Pri odredjenoj pH vrednosti, razlika između krivih 1 i 2 (slika 2) predstavlja zapremnu bazu potrebne za neutralizaciju oslobođenog vodoničnog jona za vreme sorpcije. Ako je potenciometrijska titracija izvodjena do vrednosti $\text{pH} > (9,0-9,5)$, opažen je histerezis (ne-



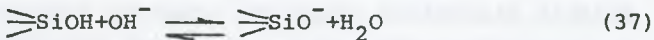
S1. 2. Tipičan oblik krivih potenciometrijske titracije koloidnog SiO_2 u prisustvu $1,0 \text{ mol}/\text{dm}^3 \text{NaCl}$: 1- u prisustvu koloidnog SiO_2 , 2- bez koloidnog SiO_2 , 3- povratna titracija sa $0,1 \text{ mol}/\text{dm}^3 \text{HCl}$, 4- titracija rastvora posle odvajanja disperzne faze, $T = 298 \text{ K}$.

podudaranje sorpcione i desorpcione krive titracije), koji objašnjavamo znatnom rastvorljivošću koloidnog SiO_2 u toj oblasti pH. Ispitivanja su pokazala, da oblik krive desorpcije zavisi od vrste jona, njegove koncentracije u rastvoru i vrednosti pH do koje je izvodjena titracija. Za sve ispitivane katjone reverzibilnost sorpcije opaža se pri $\text{pH} < (8,0-8,5)$, ukoliko je titracija izvodjena do $\text{pH} < 9,5$. Ukoliko je sorpcija ispitivana pri visokim vrednostima pH, to je dobijeni histerezis veći i pH vrednost, od koje se krive poklapaju, se pomera ka nižim vrednostima. Dobijeni histerezis moguće je objasniti na sledeći način. Pri rastvaranju SiO_2 dešava se depolimerizacija koja je praćena apsorpcijom OH^- -jona i zato se pri povratnoj titraciji troši manje kiseline nego što je bilo dodato alkalijske (slika 2, kriva 3).

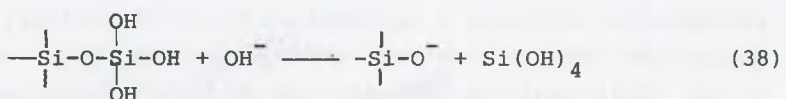
Na osnovu ovih rezultata može se zaključiti da se do vrednosti $\text{pH} \leq 8,5$ odigrava proces jonske izmene prema reakciji (36):



Porast pH rastvora vodi ka većoj disocijaciji površinskih silanolnih grupa, prema reakciji (37):



Kako se rastvorljivost koloidnog SiO_2 ekstremno povećava pri vrednostima $\text{pH} > 9,5$ (rastvorljivost veća od 10^{-3} mol/dm³) /3, 213-215/ to se odgovarajuća količina OH^- -jona troši i na proces rastvaranja. Dalje, iz literature /2,44,96,117/ je poznato da na površini SiO_2 mogu postojati različite grupe (tj. grupe različitih reakcionih sposobnosti) kao $\geqslant \text{SiOH}$; $\geqslant \text{Si(OH)}_2$ i $-\text{Si(OH)}_3$. Povećanje pH rastvora vodi ka stvaranju silicijumove kiseline tj. ka desorpciji sorbovane (nekondenzovane) silicijumove kiseline prema reakciji (38):



Da bi utvrdili prirodu rastvorenih jedinjenja centrifugiranjem smo odvojili disperznu sredinu od koagulisane disperzne faze. Prozračni rastvor smo zakiselili sa HCl do pH=2,8 a zatim titrisali rastvorom NaOH (slika 2, kriva 4). Položaj krive 4 zavisi od vrednosti pH do koje je izvodjena titracija a prema tome od količine rastvorenog SiO₂ u prisustvu elektrolita. Titracija sola u prisustvu elektrolita daje prevoj koji odgovara pK ~ 7, dok titracija rastvorenog dela koloidnog SiO₂ u prisustvu istog elektrolita daje vrednost pK od 9,3 do 10. Na osnovu toga moguće je zaključiti da do pH=9,0-9,5 u sorpciji učestvuju površinske silanolne grupe sa pK ≈ 6,8 /92,93/, a pri rastvaranju se formira ortosilicijumova kiselina, čija je prva konstanta jonizacije bliska vrednosti pK ≈ 9,5 /92/.

Interesantno je napomenuti da su Matijević i saradnici /96/, ispitujući proces jonske izmene Na⁺-jona na koloidnom SiO₂, pretpostavili postojanje dve vrste silanolnih grupa različite reakcione sposobnosti i dobili konstante pK_I=5,5 i pK_{II}=9,0. Međutim, Matijević u radu /216/ navodi da je vrednost pK ortosilicijumove kiseline jednaka pK jonizacije površinskih silanolnih grupa pri srednjoj pokrivenosti površine. To je razumljivo pošto se pri titraciji koloidnog SiO₂ u prisustvu raznih elektrolita dobija samo jedan prevoj koji odgovara pK vrednosti površinskih silanolnih grupa. Da bi otkrili drugi prevoj potrebno je odvojiti koagulisanu disperznu fazu od disperzne sredine kao što je to bilo uradjeno u našim ogledima.

Imajući u vidu napred izloženo, sorpcija katjona alkalnih metala (Li⁺, Na⁺, K⁺ i Cs⁺) na koloidnom SiO₂ izučavana je metodom potenciometrijske titracije do pH=9,0-9,5. Koncentracija hlorida pomenutih katjona varirana je u intervalu od 0,1 do 2,5 mol/dm³, a temperatura je održavana na 298 ± 0,2 K.

Dobijeni eksperimentalni podaci o sorpciji katjona

alkalnih metala iz hloridnih rastvora prikazani su u tablici 1P*. Iz tablice 1P se vidi da sa povišenjem pH raste veličina sorpcije ispitivanih jona. Pri nižim koncentracijama elektrolyta i nižim vrednostima pH opaža se bolja sorpcija katjona sa većim atomskim brojem, tj. dobijen je sledeći red sorpcije:



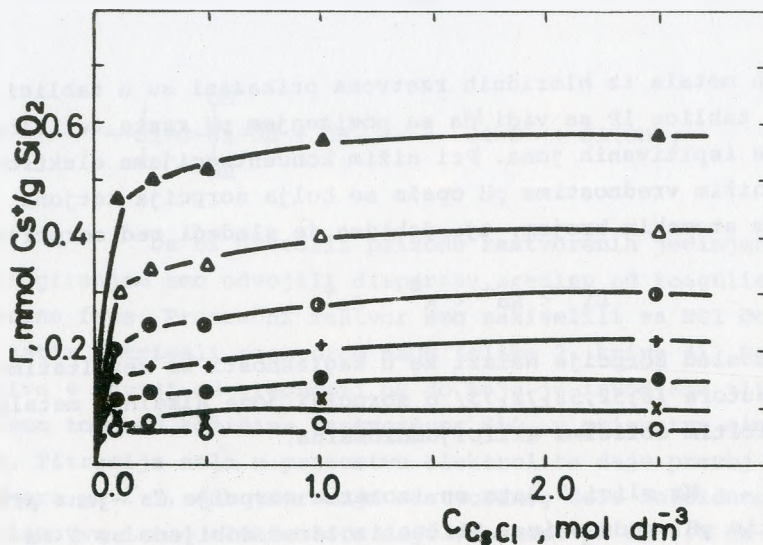
Ovaj redosled sorpcije nalazi se u saglasnosti sa rezultatima drugih autora /8,52,53,72,73/ o sorpciji jona alkalnih metala na različitim oblicima silicijumdioksida.

Na slici 3 date su izoterme sorpcije Cs^+ -jona pri različitim pH vrednostima. Slične izoterme dobijene su i za ostale ispitivane katjone. Dobijene izoterme odgovaraju Langmuir-ovom tipu adsorpcionih izotermi. Granične vrednosti veličine sorpcije, Γ_∞ , i Langmuir-ove konstante, K_L , za ispitivane katjone pri različitim vrednostima pH odredjene su ekstrapolacijom linearnog oblika izotermi. U tablici 3 date su vrednosti Γ_∞ za različite vrednosti pH kao i vrednosti K_L za pH=8,0, za sve ispitivane katjone.

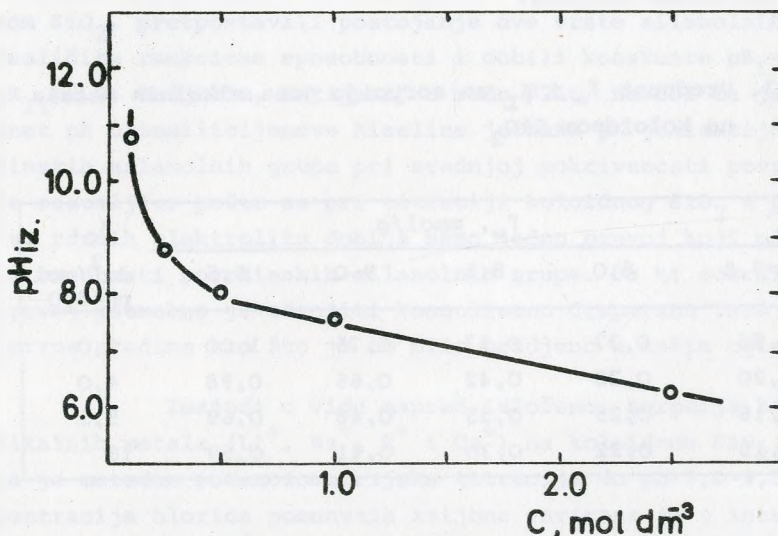
Tablica 3. Vrednost Γ_∞ i K_L za sorpciju jona alkalnih metala na koloidnom SiO_2

Jon	Γ_∞ , mmol/g					K_L , dm^3/mol pH=8,0
	pH=7,5	8,0	8,5	9,0	9,5	
Li^+	0,26	0,37	0,53	0,75	1,00	2,0
Na^+	0,20	0,28	0,42	0,66	0,98	4,0
K^+	0,16	0,25	0,35	0,48	0,69	5,5
Cs^+	0,15	0,22	0,30	0,41	0,59	18

* Ozakom P uz redni broj biće obeležavane tablice i slike koje su iz tehničkih razloga izdvojene u poseban prilog.

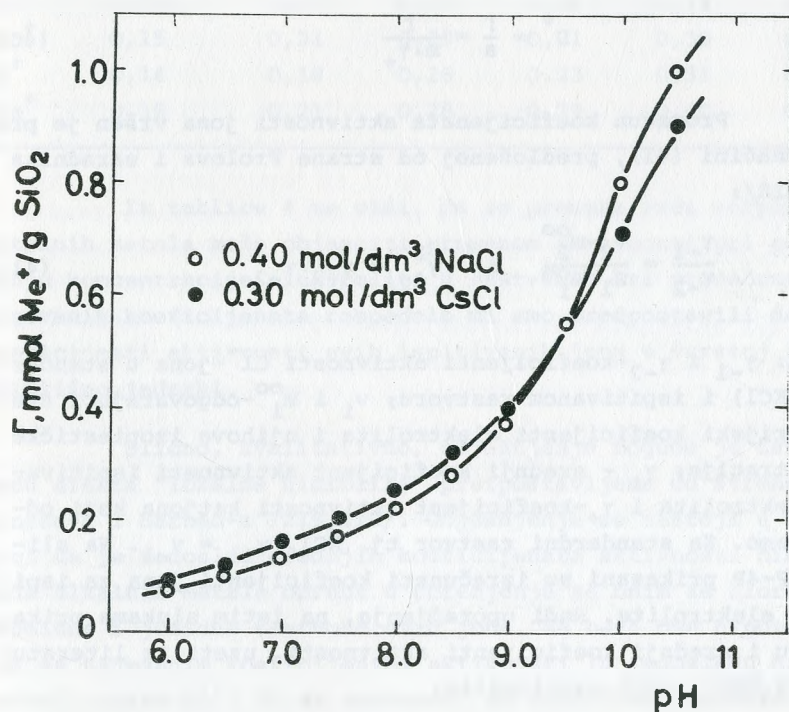


Sl. 3. Izoterme sorpcije Cs^+ -jona na koloidnom SiO_2 pri različitim pH vrednostima:
 \circ 6,5, \times 7,0, \bullet 7,5, $+$ 8,0, \circ 85, Δ 9,0, \blacktriangle 9,5,
 $T = 298 \text{ K}$.



Sl. 4. Zavisnost pH izmene reda sorpcije u funkciji koncentracije jona alkalnih metala. $T = 298 \text{ K}$.

Prikazivanjem zavisnosti veličine sorpcije katjona, Γ , u funkciji njihovih kristalografskih radijusa utvrđena je promena redosleda sorpcije pri određenim vrednostima pH. Na slici 4 data je zavisnost pH izmene reda sorpcije u funkciji koncentracije jona u rastvoru za ispitivane katjone. Takva pojava primećena na silikagelu, opisana je kvalitativno u radu /84/. Mi smo zapazili takvu pojavu i u radu Matijevića i Allen-a /97/, posvećenom izučavanju stabilnosti SiO_2 sola u prisustvu elektrolita. Uporedjenjem izotermi sorpcije za $0,3 \text{ mol/dm}^3 \text{ CsCl}$ i $0,4 \text{ mol/dm}^3 \text{ NaCl}$, datih u radu /97/, primećena je izmena reda sorpcije ova dva jona pri $\text{pH} \approx 9$. (slika 5)*.



Sli. 5. Izmena reda sorpcije Na^+ - i Cs^+ -jona na koloidnom SiO_2 (Ludox). Podaci preračinati iz rada /97/ (slika 2).

* Zahvaljujem se prof.dr E.Matijeviću, Institute of Colloid and Surface Science, Clarkeon College, Potsdam, U.S.A., na korisnim diskusijama.

Da bi objasnili tu činjenicu mi smo izračunali koeficijente raspodele za sve ispitivane jone prema jednačini:

$$D = \frac{\Gamma}{C}, \text{ cm}^3/\text{g} \quad (39)$$

gde je: Γ -veličina sorpcije datog jona pri određenom pH (mmol/g SiO_2) i C-ravnotežna koncentracija jona u rastvoru (mmol/cm³).

Imajući u vidu da je sorpcija izučavana iz koncentrovanih rastvora izračunali smo takođe i korigovane koeficijente raspodele prema jednačini:

$$D^* = \frac{\Gamma}{a} = \frac{\Gamma}{m \cdot \gamma_+} \quad (40)$$

Proračun koeficijenata aktivnosti jona vršen je prema jednačini (41), predloženoj od strane Frolova i saradnika /217,218/:

$$\frac{\gamma_{-1}}{\gamma_{-2}} = \frac{v_2 \cdot m_2^{oo}}{v_1 \cdot m_1^{oo}} \quad i \quad \gamma_{\pm 2}^2 = \gamma_{+2} \cdot \gamma_{-2} \quad (41)$$

gde su: γ_{-1} i γ_{-2} -koeficijenti aktivnosti Cl^- -jona u standarnom (KCl) i ispitivanom rastvoru; v_i i m_i^{oo} -odgovarajući stehiometrijski koeficijenti elektrolita i njihove izopiestičke koncentracije; γ_{\pm} - srednji koeficijent aktivnosti ispitivanog elektrolita i γ_+ -koeficijent aktivnosti katjona koji određujemo. Za standardni rastvor tj. KCl , $\gamma_{+1} = \gamma_{-1}$. Na slikama 1P-4P prikazani su izračunati koeficijenti jona za ispitivane elektrolite. Radi uporedjenja, na istim slikama prikazani su i srednji koeficijenti aktivnosti, uzeti iz literaturе /219,220/, ovih elektrolita.

Ovde treba napomenuti da se nedavno, u isto vreme kada su publikovani ovi naši rezultati, pojavio rad Hurlena /221/ posvećen određivanju koeficijenata aktivnosti jona alkalnih metala. Slaganje izmedju rezultata, prikazanih na slikama 1P-4P i onih datih od strane Hurlen-a, je dobro bez obzi-

ra na razlike u metodama određivanja.

U tablici 4 date su vrednosti D i D* za određivanje vrednosti pH rastvora i koncentraciju 1 mol/dm³.

Tabela 4. Vrednosti D i D* pri sorpciji jona alkalnih metala iz 1 mol/dm³ rastvora na koloidnom SiO₂

Jon	D, cm ³ /g			D*, cm ³ /g		
	pH=7,5	8,0	8,5	7,5	8,0	8,5
Li ⁺	0,15	0,22	0,32	0,16	0,24	0,35
Na ⁺	0,15	0,21	0,29	0,21	0,30	0,41
K ⁺	0,14	0,18	0,26	0,23	0,31	0,45
Cs ⁺	0,15	0,21	0,28	0,29	0,40	0,55

Iz tablice 4 se vidi, da se promena reda sorpcije alkalnih metala može objasniti promenom aktivnosti pri povećanju koncentracije elektrolita u rastvoru. Pri proračunu korigovanih koeficijenata raspodele mi smo predpostavili da su koeficijenti aktivnosti svih ispitivanih jona u čvrstoj fazi približno jednaki.

Slično, kvalitativno, objašnjenje moguće je dati pomoću efekta "lokalne hidrolize" pretpostavljene od strane Robinson-a i Harned-a /219,222/. Objašnjenje se sastoji u činjenici da je redosled srednjih koeficijenata aktivnosti hidroksida alkalnih metala obrnut u poređenju sa onim za hloridne, bromidne i jodidne rastvore ovih jona. Na bazi ove hipoteze, jon sa najmanjim koeficijentom aktivnosti (u redosledu hidroksida), naime Li⁺, će se sorbovati na negativnoj površini u najvećoj količini.

Treba, dakle, podvući da redosled sorpcije jona alkalnih metala na koloidnom SiO₂ (mišljenja smo i na drugim oblicima SiO₂ i drugim neorganskim oksidima) zavisi od koncen-

tracije i pH rastvora ovih elektrolita. Donošenje zaključaka na osnovu rada samo sa rastvorima koncentracije $C < 0,1 \text{ mol} \cdot \text{dm}^{-3}$ i $\text{pH} < 10$ može biti samo jednostrano i odnosi se samo na ispitivane uslove. Uopštavanje ovakvog zaključka može biti pogrešno, naročito za koncentrovanije rastvore. Niz autora /8,9,72,223-225/ upravo čini ovaku grešku.

U cilju izučavanja uticaja anjona na veličinu sorpcije odredjivali smo sorpciju katjona Li^+ , Na^+ i Cs^+ iz rastvora njihovih sulfata (tablica 2P). Iz tablica 1P i 2P vidi se, da veličina sorpcije katjona alkalnih metala ne zavisi od vrste anjona (u slučaju Cl^- - i SO_4^{2-} -jona). Dobijeni podaci o veličini sorpcije slažu se u granicama greške eksperimenta.

Takođe smo ispitivali zavisnost veličine sorpcije katjona alkalnih metala od specifične površine koloidnog silicijumdioksida. U tablici 3P dati su eksperimentalni podaci o sorpciji Li^+ - i Cs^+ -jona iz hloridnih i sulfatnih rastvora na koloidnom SiO_2 različitih specifičnih površina. Kao što se iz tablice 3P vidi dobijena je ista veličina sorpcije na uzorcima koloidnog silicijumdioksida različitih specifičnih površina. Kao potvrda rečenom govori i činjenica da krive titracije, u prisustvu SiO_2 , ne pokazuju diskontinuitet oko pH vrednosti gde čestice počinju da koagulišu. Pri koagulaciji svakako dolazi do povećanja razmera čestica SiO_2 tj. do smanjenja specifične površine SiO_2 .

Plaćinda i saradnici /67/ su pokazali da sorpcija Ca^{2+} -jona na silikagelu ne zavisi od specifične površine ovog sorbenta (radjeno sa silikagelom specifične površine $S_p = 58-278 \text{ m}^2/\text{g}$).

Dobijeni podaci u saglasnosti su i sa rezultatima Heston-a i saradnika /226/. Ovi autori su zaključili, da u oblasti $\text{pH}=7-10,5$ broj adsorbovanih OH^- -jona po jedinici površine ne zavisi od veličine čestica koloidnog SiO_2 . Objasnjenje ove pojave nalazi se u činjenici da broj silanolnih grupa ne zavisi od specifične površine SiO_2 . Čertov i sarad-

nici /227/ su ispitivali zavisnost koncentracije površinskih i unutarglobulnih silanolnih grupa i specifične površine kserogela (suvi SiO_2). Pomenuti autori ukazuju, da koncentracija površinskih i unutarglobulnih silanolnih grupa kod sintetizovanih kserogela ostaje praktično konstantna i ne zavisi od specifične površine SiO_2 .

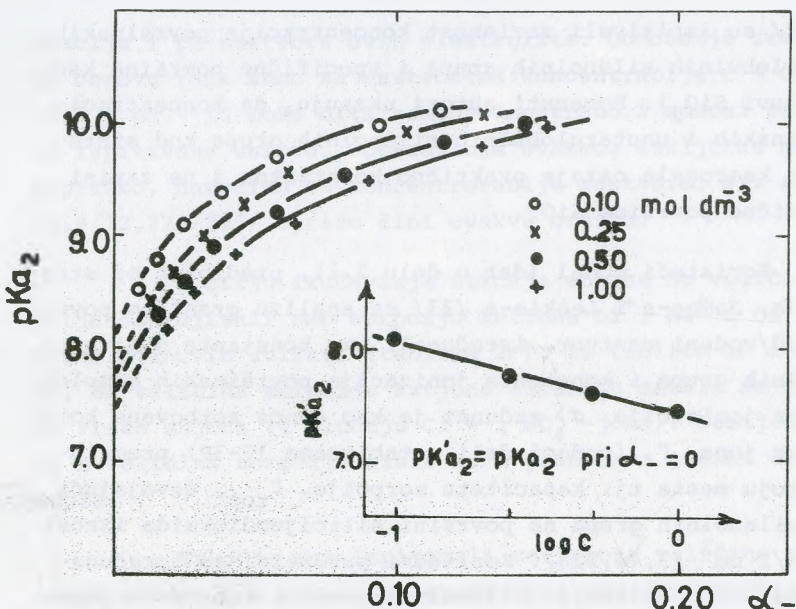
Koristeći model (dat u delu 2.1), predložen od strane Davis-a, James-a i Leckie-a /33/ za analizu granične površine oksid/vodenih rastvor, izračunali smo konstante jonizacije silanolnih grupa i konstante jonizacije površinskih kompleksa. Stepen jonizacije, α , računat je kao odnos sorbovane količine datog jona, Γ , (podaci dati u tablicama 1P-3P) prema ukupnom broju mesta tj. kapacitetu sorpcije, Γ_{tot} , usvajajući da broj silanolnih grupa na površini silicijumdioksida iznosi $7,85 \text{ SiOH}/1 \text{ nm}^2$ /3,44,228/. Korišćeni parametri za izračunavanje konstanti jonizacije silanolnih grupa i konstanti jonizacije površinskih kompleksa dati su u tablicama 4P-1OP.

Na slici 6 dat je primer grafičkog određivanja konstanti jonizacije, $pK_{a2}^{\text{int.}}$, za sistem: koloidni SiO_2 /rastvor CsCl pri 298 K. Grafičkom ekstrapolacijom krivih na vrednost $\alpha=0$ dobijaju se konstante jonizacije površinskih hidroksilnih grupa, $pK_{a2}^{\text{int.}}$; za različite koncentracije elektrolita. Na sličan način određene su vrednosti konstanti jonizacija silanolnih grupa u prisustvu ostalih ispitivanih katjona.

U cilju provere ispravnosti grafičke ekstrapolacije izvršili smo numeričko izračunavanje vrednosti konstanti jonizacije silanolnih grupa, $pK_{a2}^{\text{int.}}$. Oblik krivih $pK_{a2}^{\text{int.}} = f(\alpha)$, dat na slici 6, može se predstaviti matematičkim izrazom:

$$pK_{a2} = pK_{a2}^{\text{int.}} + \frac{\alpha}{a+b \cdot \alpha} \quad (42)$$

gde su a i b konstante. Jednačina data izrazom (42) predstavlja oblik Langmuir-ove adsorpcione izoterme pomerene po ordinatnoj osi za vrednost $pK_{a2}^{\text{int.}}$. Jednačinu (42) moguće je predstaviti u obliku prave linije /229/:



Sl. 6. Zavisnost prividnih konstanti ionizacije u funkciji stepena ionizacije za sistem koloidni SiO_2 /rastvor CsCl $T = 298 \text{ K}$.

$$\frac{\alpha_- - \alpha_{-1}}{pK_{a2} - pK_{a21}} = a + b\alpha_{-1} + \frac{b}{a} (a + b\alpha_{-1}) \cdot \alpha_- \quad (43)$$

nanoseći na apscisnu osu vrednosti α_- a na ordinatnu osu vrednosti $\frac{\alpha_- - \alpha_{-1}}{pK_{a2} - pK_{a21}}$. U jednačini (43) α_{-1} i pK_{a21} predstavljaju koordinate bilo koje tačke na eksperimentalnoj krivoj. Na slići 5P data je dobijena tipična zavisnost za ispitivani sistem koloidni SiO_2 /rastvor CsCl . Sa slike se vidi da je dobijena prava linija koja odgovara jednačini (43). Određivanjem konstanti a i b moguće je, zamenom u jednačinu (42), izračunati vrednost pK_{a2}^{int} . Korišćenjem računara Hewlett-Packard 25* izračunate su konstante a i b u jednačini (43) metodom najmanjih kvadrata.

* Zahvaljujem se mr R. Stevanoviću, dipl. inž., iz Instituta za nuklearne nauke "B. Kidrič" Vinča, na pomoći u pravljenju programa za ova izračunavanja.

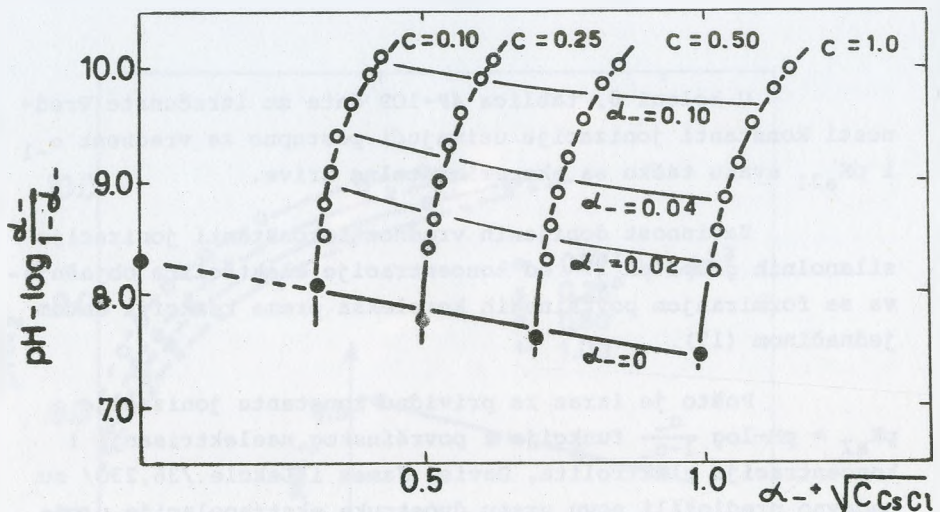
U koloni 8, tablica 4P-1OP date su izračunate vrednosti konstanti jonizacije uzimajući postupno za vrednost α_{-1} i pK_{a21} svaku tačku sa eksperimentalne krive.

Zavisnost dobijenih vrednosti konstanti jonizacije silanolnih grupa pK_{a2}^{int} od koncentracije elektrolita objašnjava se formiranjem površinskih kompleksa prema reakciji datom jednačinom (17).

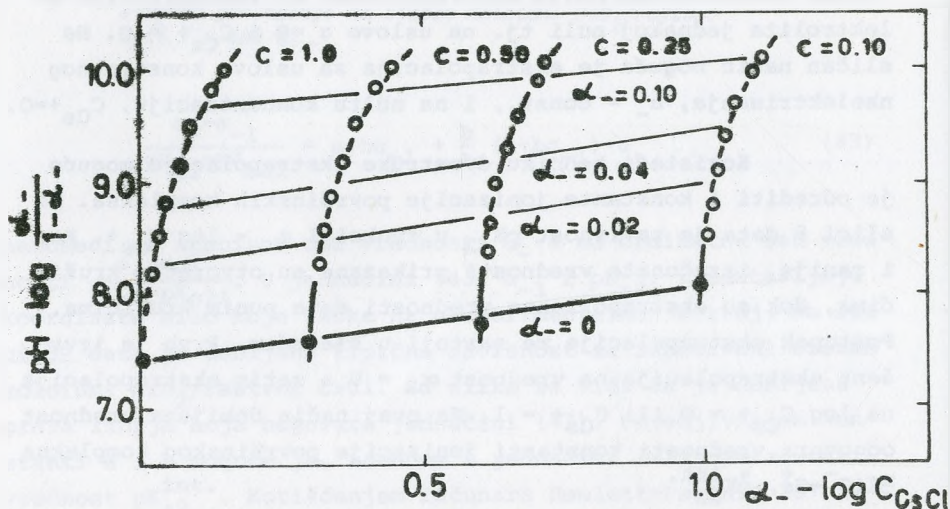
Pošto je izraz za prividnu konstantu jonizacije $pK_{a2} = pH - \log \frac{\alpha_-}{1-\alpha_-}$ funkcija i površinskog nanelektrisanja i koncentracije elektrolita, Davis, James i Lekcie /36,230/ su nedavno predložili novu vrstu dvostrukе ekstrapolacije u cilju dobijanja vrednosti pK_{a2}^{int} . Na slici 7 data je zavisnost pK_{a2} u funkciji $\alpha_- + (C_{Cs^+})^{1/2}$. Izračunate vrednosti pK_{a2} prikazane su otvorenim kružićima. Dobijene krive, za svaku jonsku jačinu, su ekstrapolisane do vrednosti $\alpha_- = 0$. Ekstrapolisane vrednosti prikazane su punim kružićima. Ovako ekstrapolisane vrednosti su dalje ekstrapolisane na koncentraciju elektrolita jednakoj nuli tj. na uslove $\alpha_- = 0$ i $C_{Cs^+} = 0$. Na sličan način moguća je ekstrapolacija za uslove konstantnog nanelektrisanja, $\alpha_- = \text{const.}$, i na nullu koncentraciju, $C_{Cs^+} = 0$.

Koristeći tehniku dvostrukе ekstrapolacije moguće je odrediti i konstante jonizacije površinskih kompleksa. Na slici 8 data je zavisnost pK_{a2} u funkciji $\alpha_- - \log C_{Cs^+}$. Kao i ranije, izračunate vrednosti prikazane su otvorenim kružićima, dok su ekstrapolisane vrednosti date punim kružićima. Postupak ekstrapolacije se sastoji u sledećem. Prvo je izvršena ekstrapolacija na vrednost $\alpha_- = 0$ a zatim ekstrapolacija na $\log C_{Cs^+} = 0$ ili $C_{Cs^+} = 1$. Na ovaj način dobijena vrednost odgovara vrednosti konstanti jonizacije površinskog kompleksa $\text{SiO}^- - \text{Cs}^+$, pK_{a2}^{int} .

U tablici 5 date su dobijene vrednosti konstanti jonizacije površinskih silanolnih grupa i konstanti jonizacije površinskih kompleksa za koloidni silicijumdioksid u prisustvu jona alkalnih metala. U istoj tablici, radi uporedjenja, nave-



Sl. 7. Zavisnost prividne konstante ionizacije u funkciji površinskog naielktrisanja i koncentracije elektrolita. Uslov da je $\sigma_0 = (C)^{1/2} = 0$ daje pK_{int} .



Sl. 8. Zavisnost prividne konstante ionizacije u funkciji površinskog naielktrisanja i logaritma koncentracije elektrolita. Uslov da je $\sigma_0 = \log C = 0$ daje konstantu kiselosti površinskog kompleksa pK_{int} .

dene su i sve, nama poznate, literaturne vrednosti ovih konstanti za silicijumdioksid različite strukture.

Tablica 5. Konstante jonizacije silanolnih grupa i konstante jonizacije površinskih kompleksa jona alkalnih metala i površine silicijumdioksida. T = 298 K.

Ispitivani sistem	$pK_{a2}^{\text{int.}}$	$pK_{a2}^{*\text{int.}}$	Literatura
koloidni SiO_2/LiCl	7,55	7,00	ovaj rad
" / Li_2SO_4	8,30	7,10	"
" / NaCl	7,75	7,00	"
" / Na_2SO_4	7,95	6,65	"
" / KCl	8,55	6,95	"
" / CsCl	8,30	7,40	"
" / Cs_2SO_4	8,30	6,75	"
silikagel / KCl	7,2	6,7	33
kvarc / NaCl	5,3	-	106
silikagel /0,1 M NaClO_4	6,81*	-	92
" /0,1 M NaClO_4	6,8*	-	93
" /1,0 M NaClO_4	6,71*	-	93
" /0,1 M NaClO_4	6,8*	-	6**
" /0,5 M NaClO_4	7,2*	-	6**
" /1,0 M NaClO_4	7,2*	-	6**
kvarc /0,1 M NaCl	3,5*	-	56
silikagel /0,1 M NaOH	7,7*	-	82,86
" /0,1 M KOH	7,2*	-	82,86

* Ove vrednosti predstavljaju konstantu jonizacije silanolnih grupa pri navedenoj koncentraciji elektrolita, extrapolisane na vrednost $\alpha_- = 0$.

** Autori navode kao literaturu /92/, u kojoj se ne saopštavaju ove vrednosti.

Iz tablice 5 se vidi da konstante jonizacije silanolnih grupa i konstante jonizacije površinskih kompleksa imaju slične vrednosti. To ukazuje na slabo kompleksiranje

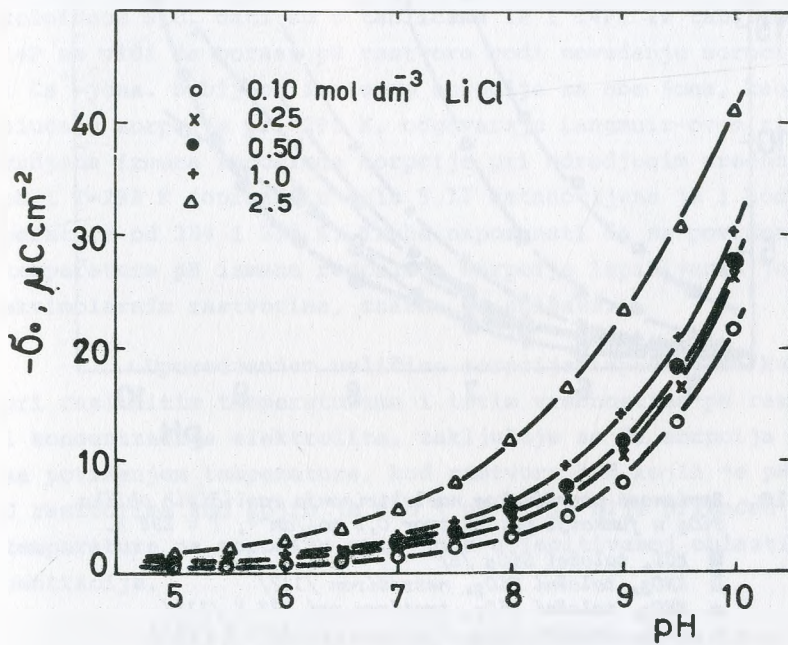
izučavanih jona sa površinom koloidnog silicijumdioksida. Ovakav zaključak je, u potpunosti, u skladu sa rezultatima Davis-a i saradnika /33,34,36/. Ovi autori su našli da su konstante formiranja površinskih kompleksa, većine katjona sa površinom silicijumdioksida, znatno niže od odgovarajućih vrednosti za ostale oksidne površine.

5.1.1. Površinsko naelektrisanje koloidnog silicijumdioksida u prisustvu jona alkalnih metala

Za izračunavanje gustine površinskog naelektrisanja, σ_0 , koloidnog SiO_2 iz podataka o sorpciji potrebno je poznati tačku nultog naelektrisanja (pH_{tnn}). Zbog nedovoljne osetljivosti potenciometrijske metode u oblasti niske sorpcije (niske vrednosti pH) teško je dati zaključak o položaju tačke nultog naelektrisanja za sve oblike silicijumdioksidom. Svi autori koji su radili sa silicijumdioksidom slažu se da je vrednost pH_{tnn} niska (videti deo 2.1.2). Izračunate vrednosti σ_0 (prema jednačini 12) zasnivaju se na tački nultog naelektrisanja $\text{pH}_{\text{tnn}} = 3$ i specifičnim površinama određenim metodom opisanom u delu 4.1.4.b. Prihvatanje tačne vrednosti pH_{tnn} kod silicijumdioksidu nije kritično za izračunavanje površinskog naelektrisanja pošto su sorpcione izoterme oko pH_{tnn} gotovo horizontalne.

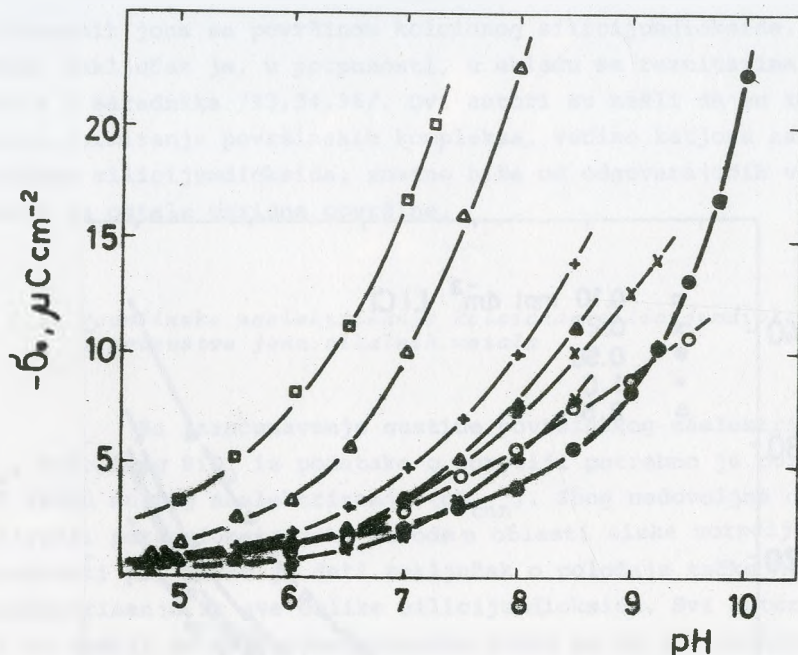
Imajući u obzir činjenice iznete u delu 2.1.2. naši rezultati o površinskom naelektrisanju koloidnog SiO_2 su predstavljeni u obliku zavisnosti $\sigma_0 = f(\text{pH})$ a ne u obliku $\sigma_0 = f(\Psi_0)$. Primeri zavisnosti $\sigma_0 = f(\text{pH})$ dati su na slici 9 za LiCl kao prateći elektrolit. Zavisnost $\sigma_0 - \text{pH}$ sa ostalim kontrajonima (Na^+ , K^+ i Cs^+) su iste prirode kao i kod Li^+ -jona. Izračunate vrednosti površinskog naelektrisanja koloidnog SiO_2 u prisustvu jona alkalnih metala date su u tablicama 11P-13P.

Uporedjenje naših podataka sa odgovarajućim podacima iz literature, dobijenim za različite oblike SiO_2 (kvarc,



Sl. 9. Zavisnost površinskog naelektrisanja koloidnog silicijumdioksida od pH, u prisustvu LiCl. $T = 298\text{ K}$.

gel, sol), dato je na slici 10. Kvalitativni izgled krivih je sličan i značajnija razlika u gustini površinskog naelektrisanja ne postoji kod SiO_2 sledećih oblika: neporozno-taložnih, pirogenih i koloidnih. Mnogo veća gustina površinskog naelektrisanja dobijena je za taložni-mikroporozni SiO_2 . Mogući uzroci ovakvog ponašanja taložnog (poroznih uzoraka) silicijumoksida diskutovani su u delu 2.1.2.



Sl. 10. Zavisnost površinskog nadelektrisanja različitih oblika SiO_2 u funkciji pH. Rastvor $0,1 \text{ mol/dm}^3$, $T = 298 \text{ K}$.

- KCl , taložni SiO_2 /8/
- KNO_3 , taložni SiO_2 , netretiran /117/
- × KNO_3 , taložni SiO_2 , tretiran pri 773 K /117/
- KNO_3 , taložni SiO_2 , tretiran pri 1073 K /117/
- + KCl , neporožni SiO_2 /73/
- △ KCl , porožni SiO_2 /73/
- KCl , koloidni SiO_2 /naši rezultati/

5.2. Uticaj temperature na sorpciju Li^+ - i Cs^+ -jona na koloidnom silicijumdioksidu

U ovom delu izloženi su eksperimentalni rezultati ispitivanja uticaja temperature na sorpciju Li^+ - i Cs^+ -jona na koloidnom silicijumdioksidu. Korišćeni koloidni SiO_2 imao je iste karakteristike kao onaj korišćen za ispitivanje sorpcije jona alkalnih metala pri 298 K (deo 5.1.). Za ispitiva-

nje sorpcije korišćena je metoda potenciometrijske titracije, detaljno opisana u delu 4.3.1. ovog rada. Sorpcija je izučavana u temperaturskom intervalu od 284 do 323 K.

Dobijeni eksperimentalni podaci o uticaju temperature na sorpciju Li^+ - i Cs^+ -jona, iz hloridnih rastvora, na koloidnom SiO_2 dati su u tablicama 1P i 14P. Iz tablica 1P i 14P se vidi da porast pH rastvora vodi povećanju sorpcije Li^+ - i Cs^+ -jona. Dobijene izoterme sorpcije za oba jona, kao i u slučaju sorpcije pri 298 K, odgovaraju Langmuir-ovom tipu. Utvrđena izmena redosleda sorpcije pri odredjenim vrednostima pH i T=298 K (opisana u delu 5.1) ustanovljena je i kod temperature od 284 i 323 K. Treba napomenuti da sa povišenjem temperature pH izmene redosleda sorpcije ispitivanih jona, u ekvimolarnim rastvorima, znatno se snižava.

Uporedjenjem veličine sorpcije ispitivanih katjona pri različitim temperaturama i istim vrednostima pH rastvora i koncentracije elektrolita, zaključuje se da sorpcija raste sa povišenjem temperature, kod rastvora kod kojih je $\text{pH} > 7,5$. U rastvorima kod kojih je $6,0 < \text{pH} < 7,5$ nije primećen uticaj temperature na sorpciju ovih jona u ispitivanoj oblasti koncentracija.

U cilju određivanja termodinamičkih veličina procesa sorpcije (toplote, promene slobodne energije i entropije) potrebno je odrediti konstante ravnoteže reakcije sorpcije izučavanih jona pri različitim temperaturama. Mi smo, koristeći već opisani model Davis-a i saradnika /33/, izračunali konstante jonizacije silanolnih grupa i konstante formiranja kompleksa Li^+ - i Cs^+ -jona sa površinom koloidnog SiO_2 . Korишćeni parametri za izračunavanje konstanti jonizacije silanolnih grupa i konstanti formiranja površinskih kompleksa dati su u tablicama 15P-18P. Isti parametri za temperaturu od 298 K dati su ranije u tablicama 5P-6P.

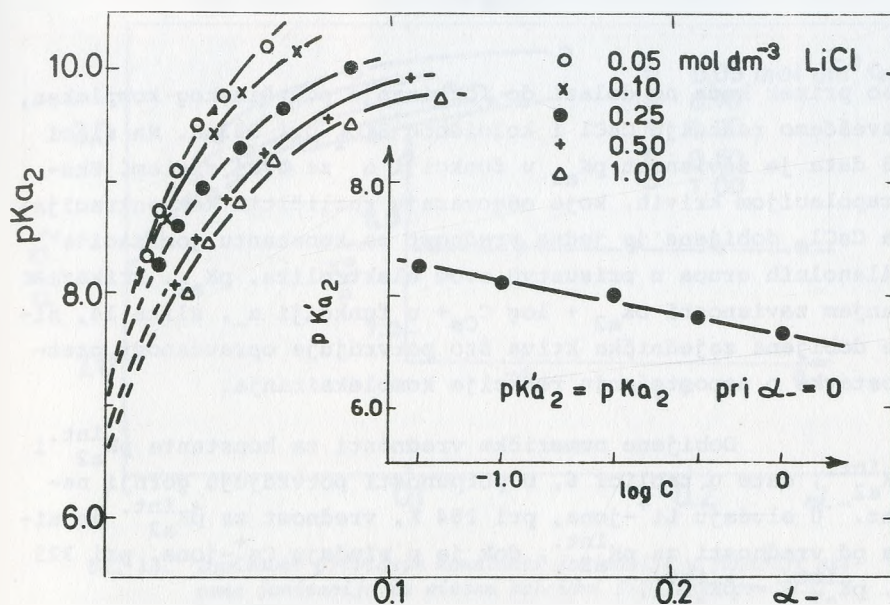
U tablici 6 date su dobijene vrednosti konstanti ionizacija silanolnih grupa i konstanti formiranja površinskih

kompleksa u prisustvu Li^+ - i Cs^+ -jona pri različitim temperaturama. U istoj tablici, radi uporedjenja, navedene su i vrednosti ovih konstanti (iz tablice 5) za imenovane jone pri 298 K.

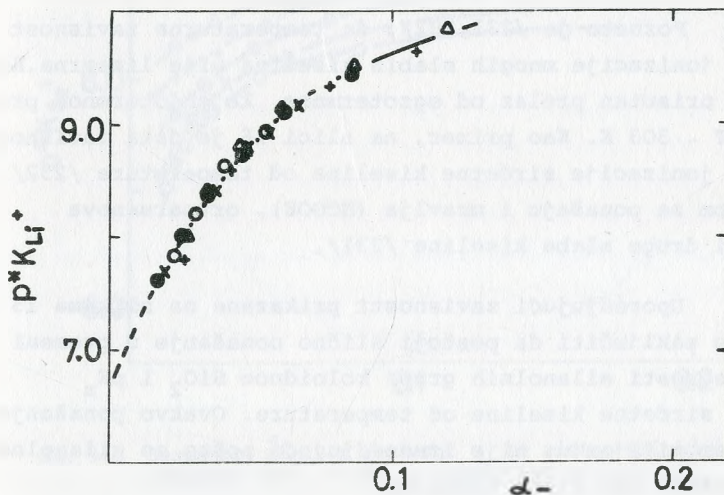
Tablica 6. Uticaj temperature na konstante ionizacije silanolnih grupa i konstante formiranja površinskih kompleksa Li^+ - i Cs^+ -jona sa površinom koloidnog SiO_2

Temperatura, K	Koloidni SiO_2/LiCl		Koloidni SiO_2/CsCl	
	$pK_{a2}^{\text{int.}}$	$*pK_{a2}^{\text{int.}}$	$pK_{a2}^{\text{int.}}$	$*pK_{a2}^{\text{int.}}$
284	7,65	6,70	-	-
289	-	-	7,60	7,55
298	7,55	7,00	8,30	7,40
323	8,05	7,15	7,75	7,75

Iz tablice 6 se vidi da konstante ionizacije silanolnih grupa i konstante ionizacije površinskih kompleksa imaju, kao i u slučaju $T = 298$ K, slične vrednosti. To govori o slabom kompleksiranju izučavanih jona sa površinom koloidnog SiO_2 . U slučaju kada izmedju jona i površine koloidnog SiO_2 dolazi do formiranja kompleksa, tada vrednosti konstanti ionizacije silanolnih grupa, $pK_{a2}^{\text{int.}}$, treba da zavise od koncentracije elektrolita. Tipičan primer ovakvog slučaja je i reakcija LiCl sa koloidnim SiO_2 , pri 284 K. Na slici 11 prikazana je zavisnost prividnih konstanti ionizacije, pK_{a2} , u funkciji stepena ionizacije, α_- , za sistem koloidni SiO_2 /rastvor LiCl pri 284 K. Grafičkom ekstrapolacijom krivih na vrednost $\alpha_- = 0$ dobijaju se konstante ionizacije površinskih hidroksilnih grupa, $pK_{a2}^{\text{int.}}$, za različite koncentracije elektrolita. Potvrda procesa kompleksiranja ilustrovana je na slici 12, gde je data zavisnost $pK_{a2} + \log C_{\text{Li}^+}$ u funkciji α_- . Dobijena zajednička kriva, za sve ispitivane koncentracije, ukazuje na proces formiranja kompleksa Li^+ -jona sa površinom SiO_2 .



Sl. 11. Zavisnost prividnih konstanti ionizacije u funkciji stepena ionizacije za sistem koloidni $SiO_2/rastvor LiCl$. $T = 284\text{ K}$.



Sl. 12. Zavisnost $pK_{Li^+}^*$ u funkciji α_- za sistem koloidni $SiO_2/rastvor LiCl$. $T = 284\text{ K}$. Oznake kao na slici 11.

Kao primer kada ne dolazi do formiranja površinskog kompleksa, navešćemo reakciju CsCl i koloidnog SiO_2 pri 323 K. Na slici 13 data je zavisnost pK_{a2} u funkciji α_- za ovaj sistem. Eks-trapolacijom krivih, koje odgovaraju različitim koncentracijama CsCl, dobijena je jedna vrednost za konstantu ionizacije silanolnih grupa u prisustvu ovoj elektrolita, $pK_{a2}^{\text{int.}}$. Prikazivanjem zavisnosti $pK_{a2} + \log C_{\text{Cs}}^+$ u funkciji α_- , slika 14, nije dobijena zajednička kriva što potvrđuje opravdanost pretpostavke o nepostojanju reakcije kompleksiranja.

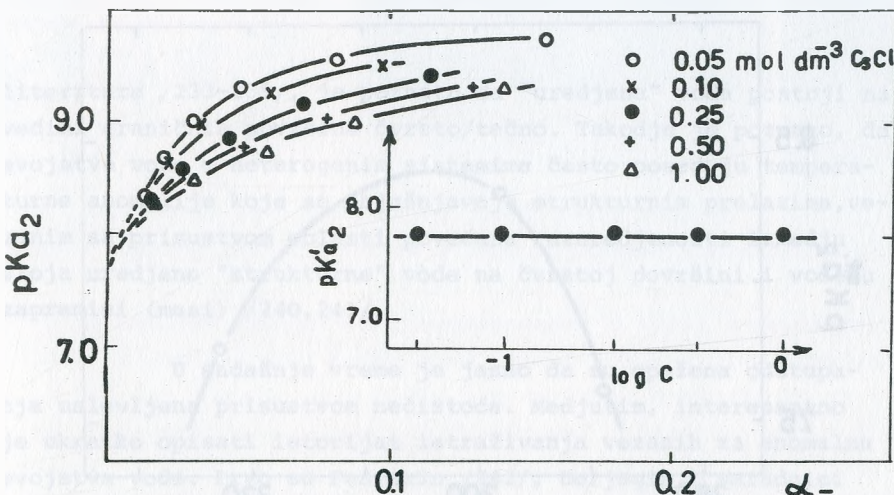
Dobijene numeričke vrednosti za konstante $pK_{a2}^{\text{int.}}$ i $pK_{a2}^{\text{int.}}$, date u tablici 6, u potpunosti potvrđuju gornji na-laz. U slučaju Li^+ -jona, pri 284 K, vrednost za $pK_{a2}^{\text{int.}}$ je ni-ža od vrednosti za $pK_{a2}^{\text{int.}}$, dok je u slučaju Cs^+ -jona, pri 323 K, $pK_{a2}^{\text{int.}} = pK_{a2}^{\text{int.}}$.

Interesantno je napomenuti da je u prisustvu CsCl dobijena izrazita krivolinijska zavisnost konstante ionizaci-je silanolnih grupa od temperature. Zavisnost $pK_{a2}^{\text{int.}} = f(T)$ ima izražen maksimum pri temperaturi od 303 ± 5 K (slika 15).

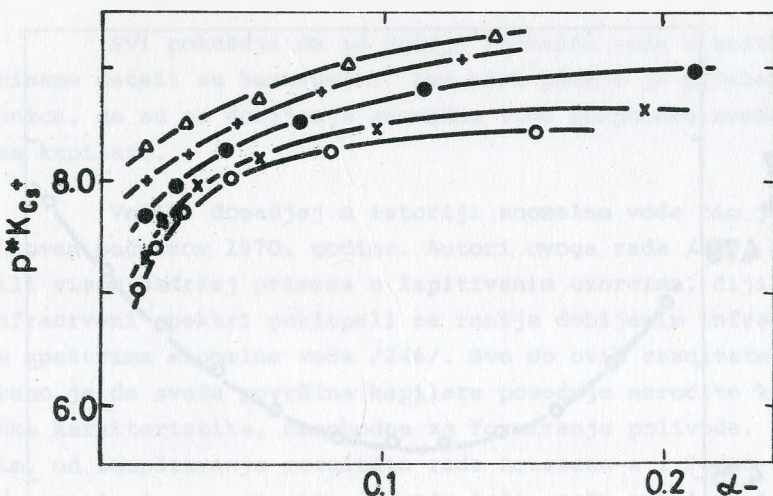
Poznato je /231,232/, da temperaturna zavisnost konstante ionizacije mnogih slabih kiselina nije linearна. Kod mnogih je prisutan prelaz od egzotermnog ka endoternmnom pro-cesu pri $T \sim 303$ K. Kao primer, na slici 16 je data zavisnost konstante ionizacije sirčetne kiseline od temperature /232/. Slično ovom se ponašaju i mravlja (HCOOH), ortoarsenova (H_3AsO_4) i druge slabe kiseline /231/.

Uporedjujući zavisnosti prikazane na slikama 15 i 16 može se zaključiti da postoji slično ponašanje u promeni $pK_{a2}^{\text{int.}}$ vrednosti silanolnih grupa koloidnog SiO_2 i pK_a vrednosti sirčetne kiseline od temperature. Ovakvo ponašanje, prema našem mišljenju, nije iznenadjujuće pošto se silanolne grupe ponašaju kao slaba kiselina.

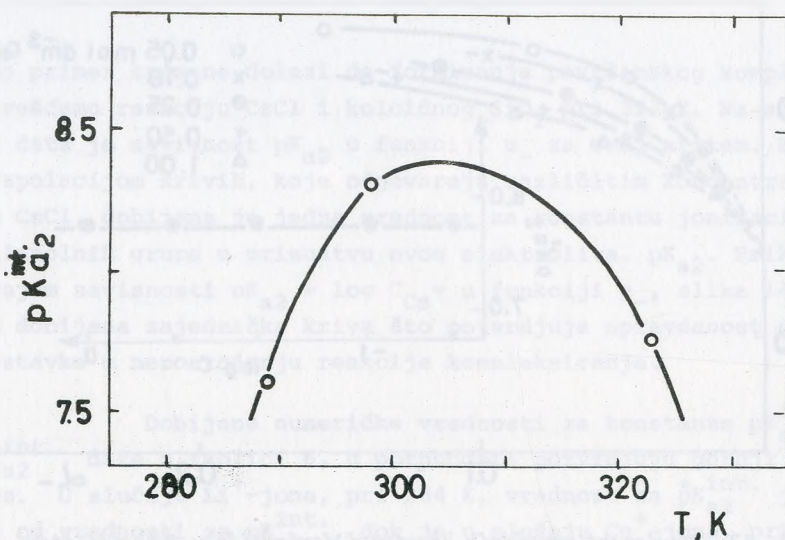
Kao sledeće, moguće, objašnjenje navodimo i pona-šanje vode na graničnoj površini silicijumdioksid/rastvor. Iz



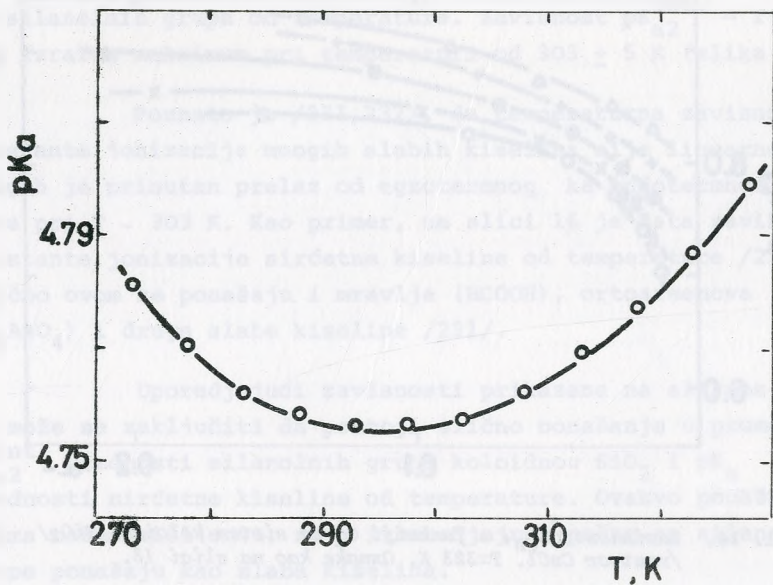
S1. 13. Zavisnost prividnih konstanti ionizacije u funkciji stepena ionizacije za sistem koloidni SiO_2 /rastvor $CsCl$.
 $T = 323\text{ K}$.



S1. 14. Zavisnost $p^*K'_Cs^+$ u funkciji α za sistem koloidni SiO_2 /rastvor $CsCl$. $T=323\text{ K}$. Oznake kao na slici 13.



Sl. 15. Uticaj temperature na konstantu ionizacije silanolnih grupa koloidnog SiO_2 u prisustvu $CsCl$.



Sl. 16. Zavisnost konstante ionizacije, K_a , sircetne kiseline od temperature /232/.

literature /233-239/, je poznato da "uredjena" voda postoji na većini graničnih površina čvrsto/tečno. Takodje je poznato, da svojstva vode u heterogenim sistemima često poseduju temperaturne anomalije koje se objašnjavaju strukturnim prelazima, vezanim sa prisustvom oblasti povećane razuredjenosti izmedju sloja uredjene "strukturne" vode na čvrstoj površini i vode u zapremini (masi) /240,241/.

U sadašnje vreme je jasno da su opažena odstupanja uslovljena prisustvom nečistoča. Međutim, interesantno je ukratko opisati istorijat istraživanja vezanih za anomalna svojstva vode. Prvo su Fedjakin /242/, Derjagin i saradnici /243/ saopštili da voda kondenzovana u uskim kvarcnim kapilarama ima anomalna svojstva. Tako se, jedno vreme, smatralo da je otkriven novi oblik vode - "anomalna voda" ili "polivoda". Takodje je predlagano da se polimerna voda zove "voda II" ili "ciklična voda" /244/.

Svi pokušaji da se dobije anomalna voda u velikim količinama ostali su bezuspešni. Sve više pažnje je privlačila činjenica, da su za dobijanje anomalne vode neophodne sveže izvučene kapilare.

Veliki dogadjaj u istoriji anomalne vode bio je rad publikovan početkom 1970. godine. Autori ovoga rada /245/ su otkrili visok sadržaj primesa u ispitivanim uzorcima, čiji su se infracrveni spektri poklapali sa ranije dobijenim infracrvenim spektrima anomalne vode /246/. Sve do ovih rezultata smatrano je da sveža površina kapilara poseduje naročite katalitičke karakteristike, neophodne za formiranje polivode. Međutim, od saopštavanja rezultata rada Roussean-a i Porto-a /245/ postalo je sve jasnije da voda luži svežu staklenu ili kvarcnu površinu i onečišćava se primesama.

Istorija anomalne vode je završena 1974. godine, kada su Derjagin i saradnici /247/ publikovali rad, u kojem su saopštili da anomalna voda predstavlja vodu koja sadrži kloidne i molekularno rastvorne primese. Osnovni problem, kao

što navodi Adamson /244/, nije se sastojao u eksperimentalnim podacima, koji su bili potpuno realni, već u njihovoj interpretaciji.

Mi ćemo navesti dva primera koji jasno pokazuju uticaj anomalnog ponašanja vode u sistemu silicijumdioksid/rastvor. Prvi se odnosi na eksperimentalne rezultate Ball-a i Fuerstenan-a /248/ o temperaturskoj zavisnosti adsorpcije u sistemu kvarc/rastvor dodecilamonijumacetata. Autori su našli da su adsorbovane količine pri 298 K niže od onih pri 278 i 318 K, za ravnotežne koncentracije dodecilamonijumacetata do $\sim 5 \times 10^{-4}$ mol. \cdot dm $^{-3}$. Ilustracije radi, mi smo na slici 17 prikazali uticaj temperature na adsorpciju dodecilamonijumacetata na kvarcu iz rastvora koncentracije $1,0 \times 10^{-4}$ mol. \cdot dm $^{-3}$ i pri pH=7. Sa slike 17 je uočljiv izraziti minimum pri ~ 300 K.

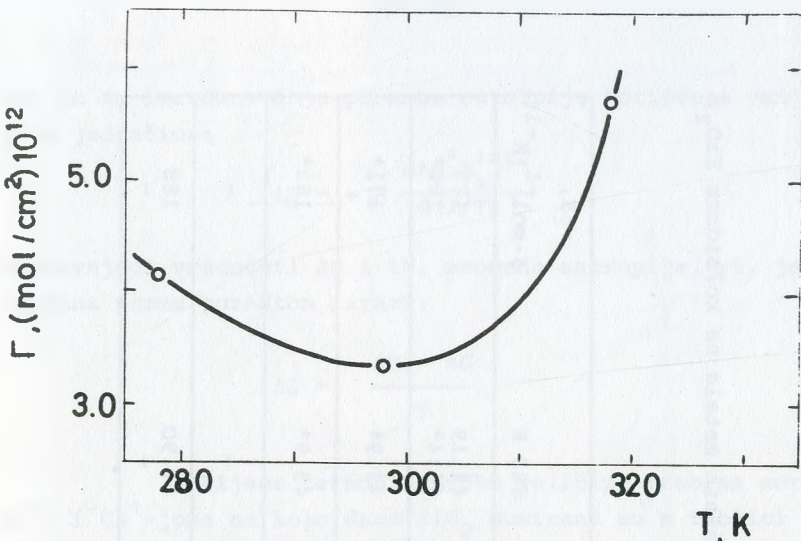
Drugi primer anomalnog ponašanja vode se može sagledati iz rada Tyler-a i saradnika /172/. Ovi autori su ispitivali uticaj temperature vode na toplotu kvašenja uzorka silicijumdioksida (aerosila). Na slici 18 data je zavisnost toplote kvašenja od temperature vode u kalorimetru. Navedena zavisnost ima izraziti maksimum pri ~ 300 K. Ovakva zavisnost važi za sve uzorce silicijumdioksida termički tretirane, u atmosferi vazduha, pri temperaturama $T \leq 598$ K.

Mišljenja smo, da se naše predloženo objašnjenje o anomalnom ponašanju vode može prihvati kod primećenih uticaja temperature na konstantu ionizacije silanolnih grupa (naši rezultati) i u oba, gore navedena, primera.

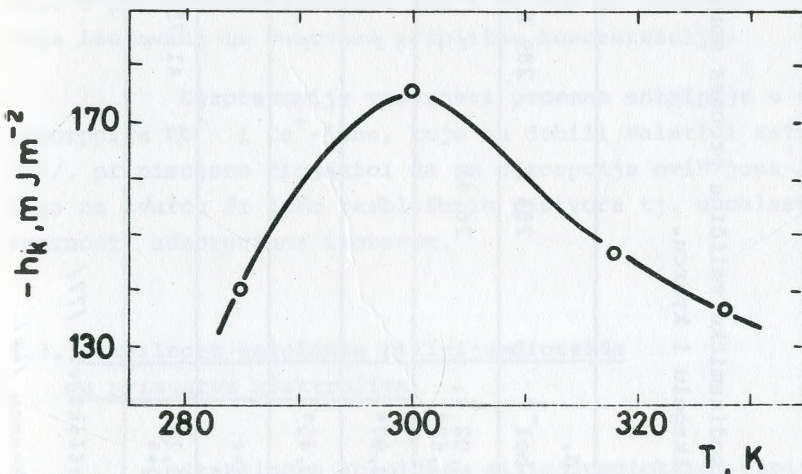
Dobijene konstante formiranja površinskih kompleksa, ${}^*\text{K}_{\text{a}2}^{\text{int.}}$, date u tablici 6, korišćene su za izračunavanje promene slobodne energije, promene entalpije i promene entropije procesa sorpcije Li^+ - i Cs^+ -jona na koloidnom SiO_2 .

Promena slobodne energije za navedeni proces sorpcije računata je prema jednačini:

$$\Delta G = - RT \ln {}^*\text{K}_{\text{a}2}^{\text{int.}} \quad (44)$$



S1. 17. Uticaj temperature na adsorpciju dodecilmamonijumacetata na kvarcu. Ravnotežna koncentracija dodecilmamonijumacetata $C = 1,0 \cdot 10^{-4} \text{ mol} \cdot \text{dm}^{-3}$, pH=7. Podaci preračunati sa slike 4 rada /248/.



S1. 18. Uticaj temperature na toplotu kvašenja SiO_2 u vodi. Podaci preračunati sa slike 3 rada /172/.

Tablica 7. Termodynamičke veličine procesa sorpcije jona alkalnih metala na koloидном SiO_2 , silikagelu i kvarcu.

Jon	$-\Delta H$, $\text{kJ} \cdot \text{mol}^{-1}$	$-\Delta G$, $\text{kJ} \cdot \text{mol}^{-1}$	$-\Delta S$, $\text{J} \cdot \text{mol}^{-1} \cdot \text{K}^{-1}$
Li^+	12,02 14,63*	284 K 36,41 —	289 K — 323 K
Na^+	10,87*	—	40,1* 43,9*
K^+	10,45*	—	40,1* 43,9*
Rb^+	23**	—	—
Cs^+	13,12 19**	— 41,75 —	42,20 — 47,90 —

* Sorpcija na silikagelu /77/

** Sorpcija na kvarcu /52/

dok je za izračunavanje promene entalpije korišćena van't Hoffova jednačina:

$$\Delta H = - R \frac{d \ln K_{a2}^{\text{int.}}}{d(1/T)} \quad (45)$$

Poznavajući vrednosti ΔG i ΔH , promena entropije, ΔS , je određivana prema poznatom izrazu:

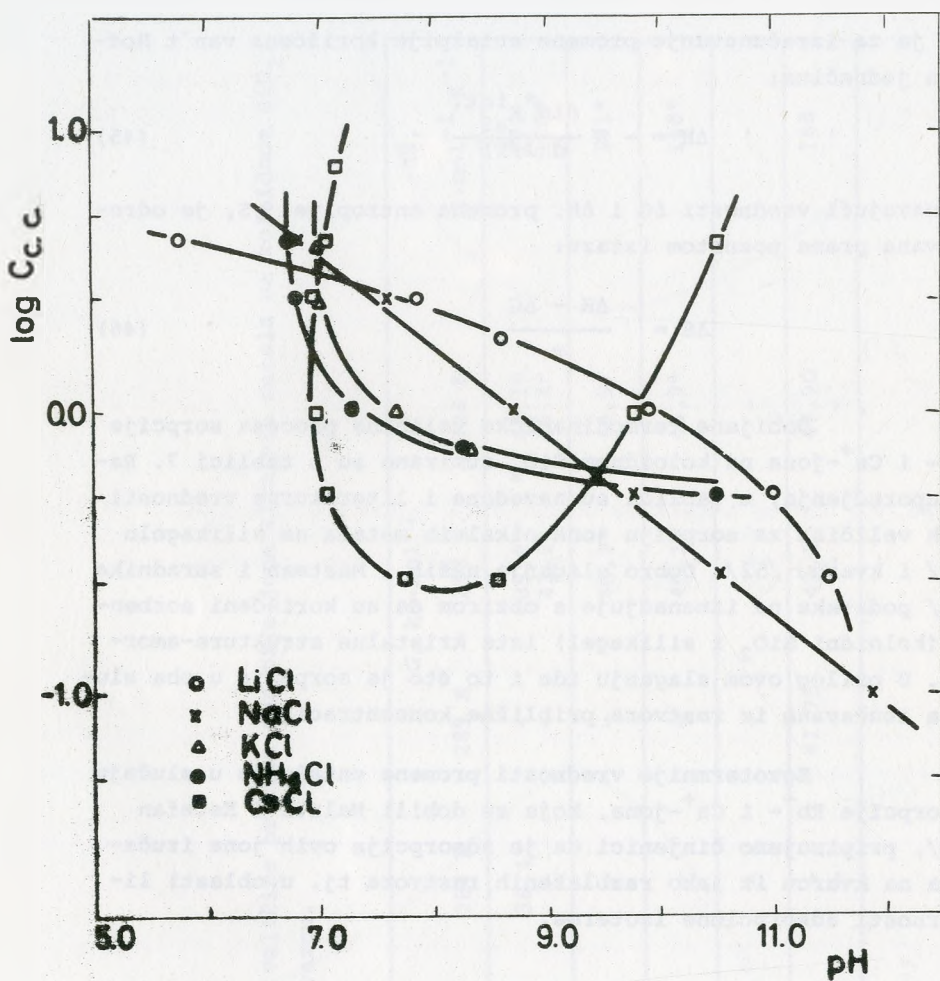
$$\Delta S = \frac{\Delta H - \Delta G}{T} \quad (46)$$

Dobijene termodinamičke veličine procesa sorpcije Li^+ - i Cs^+ -jona na koloidnom SiO_2 sumirane su u tablici 7. Radi uporedjenja, u tablici su navedene i literaturne vrednosti ovih veličina za sorpciju jona alkalnih metala na silikagelu /77/ i kvarcu /52/. Dobro slaganje naših i Maatman i saradnika /77/ podataka ne iznenadjuje s obzirom da su korišćeni sorbenți (koloidni SiO_2 i silikagel) iste kristalne strukture-amorfne. U prilog ovom slaganju ide i to što je sorpcija u oba slučaja izučavana iz rastvora približne koncentracije.

Egzotermnije vrednosti promene entalpije u slučaju adsorpcije Rb^+ - i Cs^+ -jona, koje su dobili Malati i Estefan /52/, pripisujemo činjenici da je adsorpcija ovih jona izučavana na kvarcu iz jako razblaženih rastvora tj. u oblasti linearnosti adsorpционе izoterme.

5.3. Stabilnost koloidnog silicijumdioksida u prisustvu elektrolita

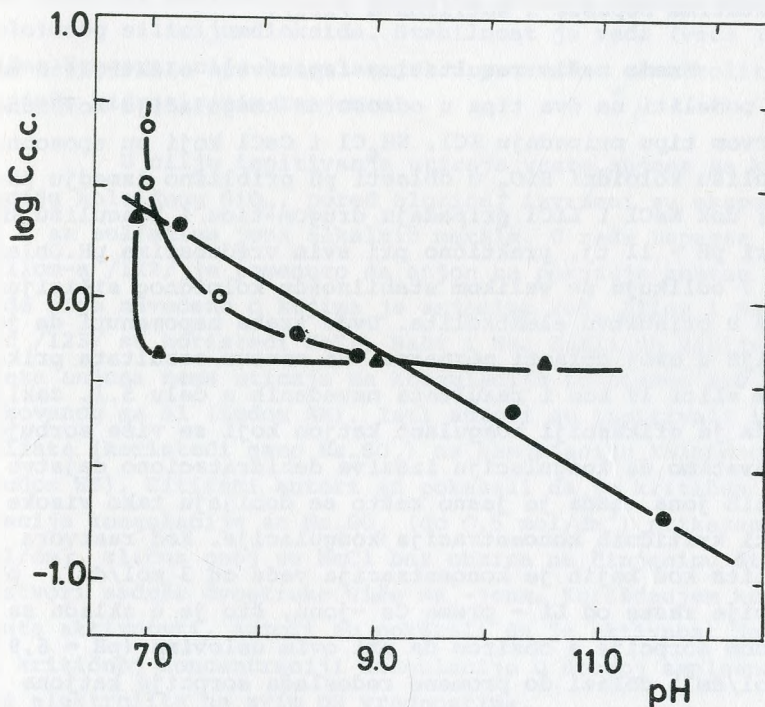
Stabilnost koloidnog silicijumdioksida ispitivana je u prisustvu hlorida i sulfata alkalnih metala pri različitim pH vrednostima. Korišćeni koloidni SiO_2 je imao iste karakteristike kao i materijal upotrebljen za ispitivanje sorpcije jona alkalnih metala (deo 5.1).



Sl. 19. Zavisnost logaritma kritične koncentracije koagulacije koloidnog SiO₂ u prisustvu elektrolita od pH. $d_{sr} = 9 \text{ nm}$, $T = 298 \text{ K}$.

Na slici 19 date su zavisnosti logaritama kritičnih koncentracija koagulacije ($\log C_{cc}$) LiCl, NaCl, KCl, NH₄Cl i CsCl u funkciji pH. Za svaki elektrolit koagulacija se dešava u oblasti iznad prikazanih krivih. Samo je u prisustvu NaCl dobijena linearna zavisnost $\log C_{cc}$ od pH rastvora. U slučaju LiCl zavisnost $\log C_{cc} = f(\text{pH})$ ima konveksni oblik, dok za KCl, NH₄Cl i CsCl zavisnost je konkavna.

NH_4Cl i CsCl ova zavisnost ima konkavan oblik. Takvi rezultati ukazuju da koagulacija zavisi od više faktora. Interesantno je uporediti naše rezultate sa rezultatima Allen-a i Matijevića /97,123/ kao i Depasse-a i Watillon-a /128/, bez obzira što su eksperimentalni uslovi a i korišćene metode za određivanje stabilnosti koloidnog SiO_2 bile različite. Naši rezultati i rezultati dobijeni od strane citiranih autora imaju isti opšti trend.

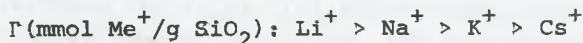


Sl. 20. Zavisnost kritične koncentracije koagulacije koloidnog SiO_2 u prisustvu KCl od pH. T = 298 K. ○ - naši podaci, ● - ref. /97/, ▲ - ref. /122/.

Razlika je uočljiva između naših rezultata i podataka Allen-a i Matijevića /97/ za slučaj koagulacije koloidnog SiO_2 u prisustvu KCl . Kao primer možemo navesti da se koagulacija SiO_2 sola (koncentracije 0,4 g SiO_2 /100 cm³) u ras- tvorima KCl koncentracije 0,50 mol/dm³ ne dešava se ni pri

pH=12 (slika 20). Allen i Matijević /97/ su za pomenuti elektrolit dobili pravolinijsku zavisnost log C_{cc} u funkciji pH. Istu razliku, u vezi stabilnosti koloidnog SiO_2 u prisustvu KCl, navode i Depasse i Watillon /122/. Njihovi rezultati ukazuju na beskonačnu stabilnost koloidnog SiO_2 u prisustvu K^+ -jona pri pH vrednostima većim od 11. Ovi autori navode da koloidni SiO_2 u alkalnoj sredini ne može koagulisati čak i u zasićenim rastvorima KCl. Naši rezultati, u vezi ponašanja koloidnog SiO_2 u prisustvu KCl, se nalaze u odličnoj saglasnosti sa rezultatima Depasse i Watillon-a /122/.

Prema našim rezultatima ispitivane elektrolite moguće je podeliti na dva tipa u odnosu na koagulaciju koloidnog SiO_2 . Prvom tipu pripadaju KCl, NH_4Cl i CsCl koji su sposobni da koagulišu koloidni SiO_2 u oblasti pH približno izmedju pH=7 i pH=11; dok NaCl i LiCl pripadaju drugom tipu i koagulišu SiO_2 sol i pri pH > 11 tj. praktično pri svim vrednostima pH. Oblast sa pH < 7 odlikuje se velikom stabilnošću koloidnog silicijum-dioksida u prisustvu elektrolita. Ovde treba napomenuti da je i sorpcija u ovoj oblasti nezнатна. Na osnovu rezultata prikazanih na slici 19 kao i rezultata navedenih u delu 5.1. zaključujemo da je efikasniji koagulant katjon koji se više sorbuje. Ako prihvativimo da koagulaciju izaziva dehidraciono dejstvo sorbovanih jona, tada je jasno zašto se dobijaju tako visoke vrednosti kritičnih koncentracija koagulacije. Kod rastvora elektrolita kod kojih je koncentracija veća od 3 mol/dm^3 , pH koagulacije raste od Li^+ - prema Cs^+ -jonu, što je u skladu sa redosledom sorpcije s obzirom da pri ovim uslovima (pH = 6,9 i $C = 2 \text{ mol/dm}^3$) dolazi do promene redosleda sorpcije katjona alkalnih metala (videti sliku 4). Prema tome, za rastvore kod kojih je $C \geq 3,0 \text{ mol/dm}^3$ red koagulacije i sorpcije imaju sledeći izgled:



Stabilnost SiO_2 sola u prisustvu elektrolita se smanjuje sa povišenjem pH rastvora. Za rastvore čija je koncen-

tracija elektrolita manja od $2,5 \text{ mol/dm}^3$ pH koagulacije raste od Cs^+ - prema Li^+ -jonu. Ovo je, takodje, u skladu sa redosledom sorpcije ovih katjona tj. za $C \leq 2,5 \text{ mol/dm}^3$ imamo sledeći redosled:



Kao rezultat dehidratacije površine čestica opada stabilnost koloidnog silicijumdioksida. Stabilnost je veća (veća je kritična koncentracija koagulacije) u prisustvu elektrolita sa najjače hidratisanim katjom.

U cilju ispitivanja uticaja vrste anjona na koagulaciju koloidnog SiO_2 , pored hlorida, izvršeni su eksperimenti i sa sulfatima jona alkalnih metala. U radu Depasse i Wattillon-a /122/ je pomenuto da anjon ne pokazuje znatan uticaj, mada nije navedeno o kojima je anjonima reč. Allen i Matijević /123/ su koristeći NaCl , NaBr i NaJ došli do zaključka da vrsta anjona nema uticaja na koagulaciju koloidnog SiO_2 modifikovanog sa Al (Ludox AM). Isti autori su ispitivali i uticaj sulfata (koristeći samo Na_2SO_4) na koagulaciju koloidnog SiO_2 (Ludox HS). Citirani autori su pokazali da je kritična koncentracija koagulacije za Na_2SO_4 (do $0,5 \text{ mol/dm}^3$) prikazana u mol/dm^3 , slična onoj za NaCl bez obzira na činjenicu što Na_2SO_4 rastvori sadrže dvostruko više Na^+ -jona. Korišćenjem koeficijenta aktivnosti, autori su pokazali da je aktivnost Na^+ -jona na kritičnoj koncentraciji koagulacije u dobroj saglasnosti za oba elektrolita na svim pH vrednostima.

Mi smo detaljno ispitivali ovaj efekat koristeći sulfatne rastvore do maksimalno mogućih koncentracija (zasićeni rastvori). U slučaju K_2SO_4 utvrđeno je da se koagulacija koloidnog SiO_2 ne dešava (iz rastvora do $0,5 \text{ mol/dm}^3$) ni do $\text{pH}=12$. U slučaju ostalih elektrolita (Li_2SO_4 , Na_2SO_4 i Cs_2SO_4) dobijena je slična zavisnost kritičnih koncentracija koagulacije (izražena u mol/dm^3) za razblažene rastvore, dok je za koncen-

trovane rastvore dobijena znatna razlika (tablica 8).

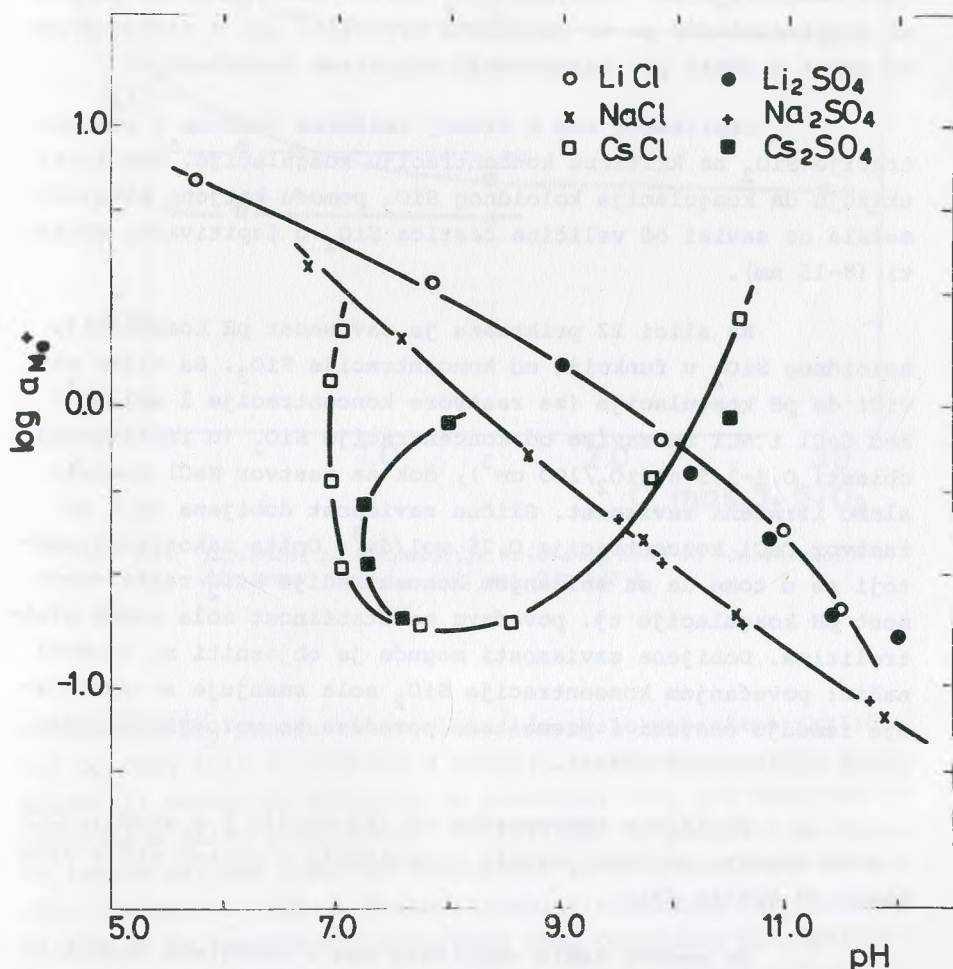
Tablica 8. Vrednosti kritičnih koncentracija koagulacije koloidnog SiO_2 u prisustvu nekih elektrolita za različite pH vrednosti

Kritična koncentracija koagulacije, mol/dm ³	pH koagulacije					
	LiCl	Li_2SO_4	NaCl	Na_2SO_4	CsCl	Cs_2SO_4
2,50	7,85	9,00	7,60	-	6,95	8,05
1,25	8,80	9,60	8,10	-	6,95	7,55
1,00	10,05	10,10	8,70	9,50	6,95	7,30
0,50	11,00	10,80	9,70	9,90	7,05	7,30
0,25	11,50	11,40	10,55	10,60	7,55	7,60
0,10	-	12,00	11,85	11,75	-	-

Da bi objasnili ovu razliku, korišćenjem koeficijenata aktivnosti izračunali smo aktivnost katjona alkalnog metala na kritičnoj koncentraciji koagulacije. Dobijena zavisnost $\log a_{\text{Me}^+}$ u funkciji pH prikazana je na slici 21. Sa slike se vidi da je za Li^+ - i Na^+ -jon dobijena zajednička kriva bez obzira da li se radi o hloridnim ili sulfatnim rastvorima. U slučaju Cs^+ -jona primetno je odstupanje za rastvore kod kojih je $a_{\text{Cs}^+} > 0,25 \text{ mol/dm}^3$. Treba napomenuti da dobijeno slaganje ne znači i indiferentnost anjona. U datom slučaju uticaj anjona uzet je u obzir pomoću koeficijenata aktivnosti. Što je u rastvoru anjon jače vezan sa katjonom (što se opaža u slučaju sulfata) to je veća koncentracija elektrolita potrebna za koagulaciju.

Interesantno je razdvojiti čitavu oblast pH koagulacije na tri dela, slično onome kao što su to uradili autori u radu /122/, na zonu I ($\text{pH} < 5,50$), zonu II ($\text{pH} = 5,50-10,50$) i zonu III ($\text{pH} > 10,50$). Koloidni SiO_2 je jako stabilan u zoni I gde je, kao što je već napomenuto, sorpcija jona zanemar-

ljiva. S obzirom na visoku stabilnost koloidnog SiO_2 pri pH tački nultog naelektrisanja, DLVO teorija ne može biti primenjena na ovaj sistem. U zoni II, gde se dešava koagulacija pod dejstvom svih ispitivanih katjona alkalnih metala, stvoreni koagulant nemoguće je peptizovati pomoću kiseline (smanjenjem pH čak i do vrednosti tačke nultog naelektrisanja). Izuzetak predstavlja koagulant nastao pod dejstvom Cs_2SO_4 , kod



S1. 21. Zavisnost $\log a_{\text{He}^+}$ pri kritičnoj koncentraciji koagulacije koloidnog SiO_2 od pH rastvora $d_{\text{sr}} = 9 \text{ nm}$, $T = 298 \text{ K}$.

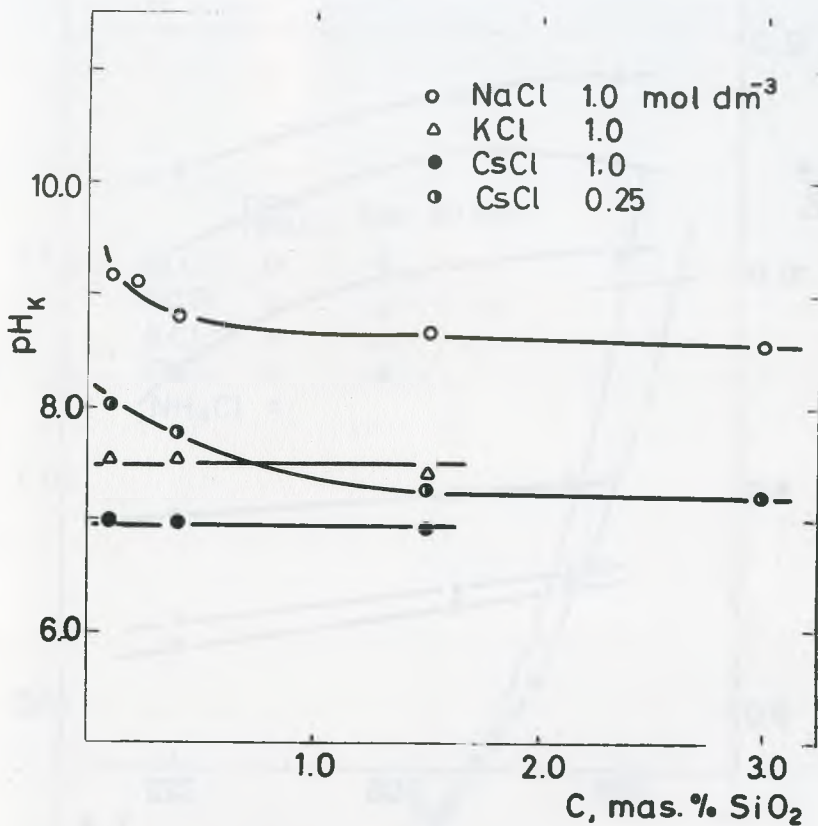
kojeg dodatak kiseline izaziva peptizaciju. Ovo znači, da u slučaju Cs^+ -jona peptizacija zavisi od vrste anjona što bi sva-kako trebalo da se odrazi i na koagulaciju. Zaista, sa slike 21 uočljiva je jasna razlika u koagulaciji za CsCl i Cs_2SO_4 . U zoni III samo su Li^+ - i Na^+ -jon u stanju da izazovu koagulaciju koloidnog SiO_2 . Nastali koagulant u ovom slučaju lako se pepti-zuje pomoću kiseline bez obzira na vreme proteklo od momenta koagulacije. Ovde treba imati u vidu činjenicu da je pri $\text{pH} > 9,5$ rastvorljivost amorfognog SiO_2 znatna bez obzira na prisut-ni elektrolit /3/ pa se formirani silikatni jon u rastvoru mo-ra uzeti u obzir pri rasmatranju mehanizma koagulacije.

Ispitivali smo i uticaj veličine čestica i koncen-tracije SiO_2 na kritičnu koncentraciju koagulacije. Rezultati ukazuju da koagulacija koloidnog SiO_2 pomoću katjona alkalnih metala ne zavisi od veličine čestica SiO_2 u ispitivanoj oblas-ti (8-15 nm).

Na slici 22 prikazana je zavisnost pH koagulacije koloidnog SiO_2 u funkciji od koncentracije SiO_2 . Sa slike se vidi da pH koagulacije (za rastvore koncentracije 1 mol/dm³) kod CsCl i KCl ne zavise od koncentracije SiO_2 (u ispitivanoj oblasti 0,1-1,5 g SiO_2 /100 cm³), dok za rastvor NaCl postoji slabo izražena zavisnost. Slična zavisnost dobijena je i za rastvor CsCl koncentracije 0,25 mol/dm³. Opšta zakonitost sas-toji se u tome da sa sniženjem koncentracije SiO_2 raste vred-nost pH koagulacije tj. povećava se stabilnost sola prema elek-trolitima. Dobijene zavisnosti moguće je objasniti na sledeći način: povećanjem koncentracije SiO_2 sola smanjuje se rastoja-nje između čestica i prema tome povećava se verovatnoća nji-hovog medjusobnog sudara.

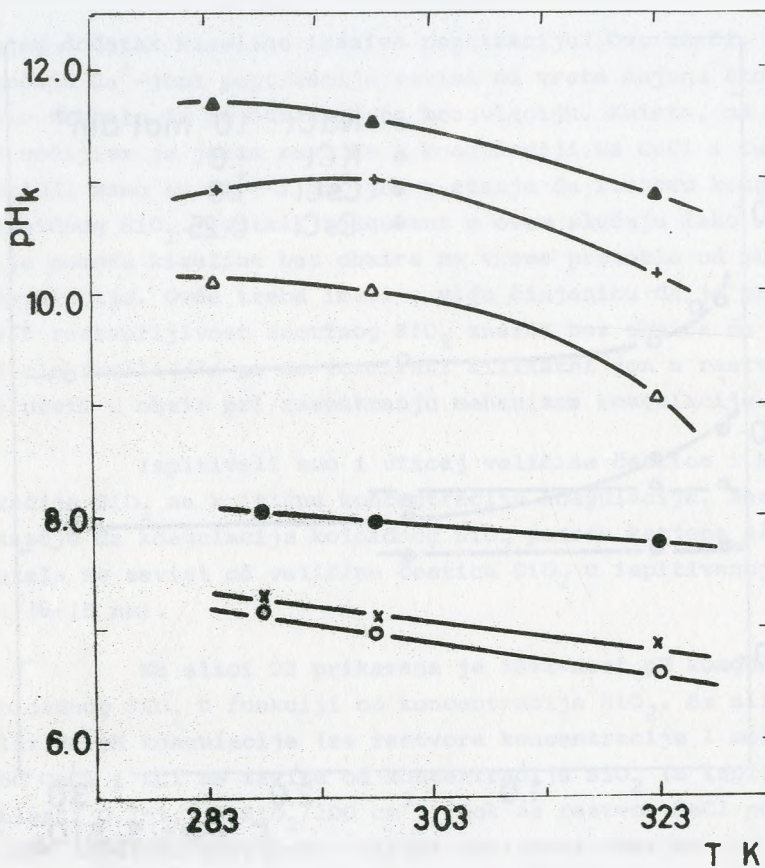
Povišenje temperature od 283 do 323 K u slučaju LiCl i CsCl izaziva promenu oblasti koagulacije u stranu nižih vred-nosti pH (slika 23).

Na osnovu naših rezultata kao i rezultata drugih a-utora /97,122-124,130/ može se zaključiti da destabilizacija



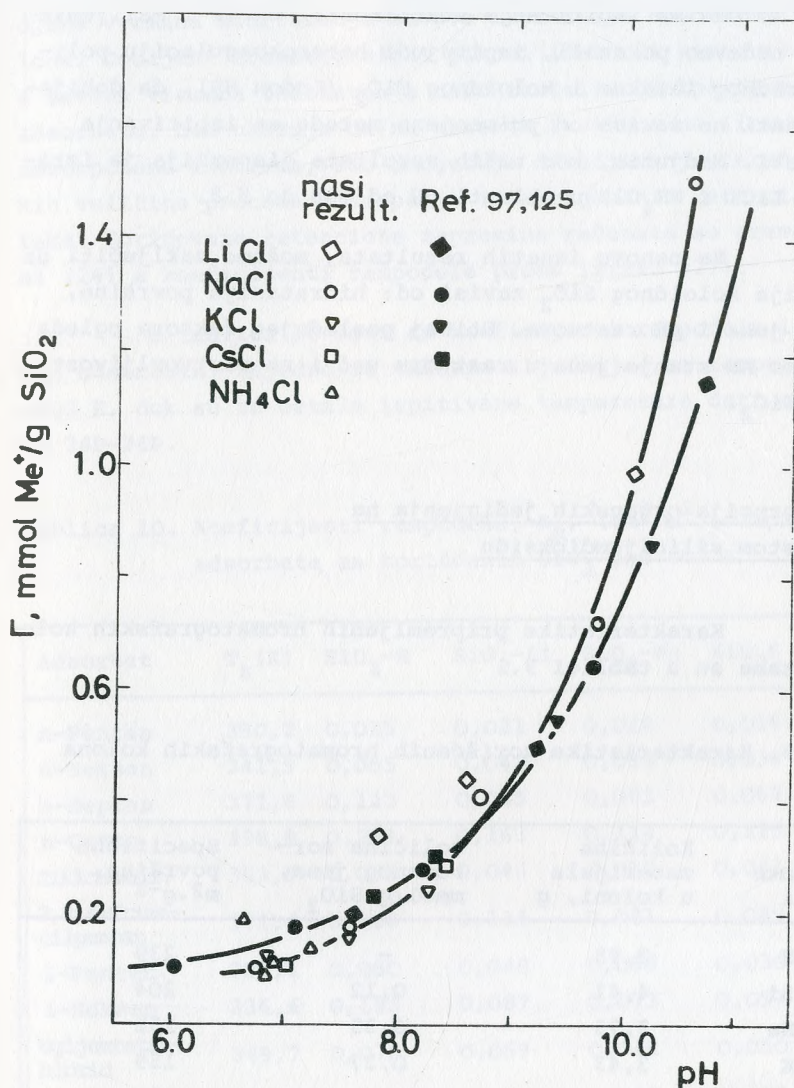
Sl. 22. Zavisnost pH koagulacije koloidnog SiO₂ od koncentracije disperzne faze $d_{sr} = 11 \text{ nm}$, $T = 298 \text{ K}$.

koloidnog SiO₂ pomoću elektrolita ide preko mehanizma različitog od onog koji se očekuje u slučaju liofobnih koloida. Da bi objasnili mehanizam koagulacije koloidnog SiO₂ pod dejstvom elektrolita Allen i Matijević /97,123,124/ su pokazali da jonska izmena katjona (koji ne hidrolišu) sa silanolnim protonima igra dominantnu ulogu u destabilizaciji koloidnog SiO₂. To znači, da je za koagulaciju koloidnog SiO₂ odgovorna dehidratacija površine SiO₂ kao posledica jonske izmene. Kao rezultat



Sl. 23. Uticaj temperature na pH koagulacije koloidnog SiO_2
 ● 0,26, x 0,50, ○ 1,0 mol. $\cdot\text{dm}^{-3}$ CsCl
 ▲ 0,25, + 0,50, Δ 1,0 mol. $\cdot\text{dm}^{-3}$ LiCl

ovih istraživanja i potvrdu rečenog Allen i Matijević /97/ daju jedinstvenu "krivu kritične izmene" za sve ispitivane katjone. Prema tome, koagulacija koloidnog SiO_2 nastupa kada je izmenjena neka kritična frakcija silanolnih protona pri datom pH. Mi smo interpretirali naše rezultate na isti način i dobili "krivu kritične sorpcije" za sve ispitivane jone. Na slici 24 pored "krive kritične sorpcije" koju smo mi dobili, radi upoređenja, data je i "kriva kritične izmene" dobijene od strane Allen-a i Matijevića /97/.



Sl. 24. "Kriva kritične sorpcije" jona alkalnih metala na koloidnom silicijumdioksidu. $T = 298 \text{ K}$.

Kao što se sa slike 24 vidi, dobijena je slična zavisnost bez obzira na razliku uzoraka koloidnog SiO_2 i pri-

menjenih metoda za ispitivanje stabilnosti. Bleir i Matijević /138/ su nedavno pokazali, ispitujući heterokoagulaciju polivinilhloridnog lateksa i koloidnog SiO_2 (Ludox HS), da dobijeni rezultati ne zavise od primenjene metode za ispitivanje stabilnosti. Međutim, kod naših rezultata disperzija je izražena (za LiCl i NH_4Cl) u oblasti pH od 6,8 do 8,8.

Na osnovu iznetih rezultata, možemo zaključiti da koagulacija koloidnog SiO_2 zavisi od: hidratacije površine, sorpcije jona i pH rastvora. Uticaj poslednjeg faktora ogleda se ne samo na stanje jona u rastvoru već i na rastvornljivost čvrstog SiO_2 .

5.4. Adsorpcija organskih jedinjenja na čvrstom silicijumdioksidu

Karakteristike pripremljenih hromatografskih kola na prikazane su u tablici 9.

Tablica 9. Karakteristike korišćenih hromatografskih kolona

Vrsta adsorbenta u koloni	Količina materijala u koloni, g	količina sorbovanog jona, mmol/g SiO_2	Specifična površina, $\text{m}^2 \cdot \text{g}^{-1}$
$\text{SiO}_2\text{-H}$	3,95	-	239
$\text{SiO}_2\text{-Li}$	4,41	0,12	204
$\text{SiO}_2\text{-Na}$	3,73	0,35	152
$\text{SiO}_2\text{-K}$	3,43	0,27	159
$\text{SiO}_2\text{-Cs}$	3,04	0,45	124

Retencione zapremine za sve ispitivane adsorbate merene su na svim kolonama pri 343, 373, 403, 433, 473, i 503 K sa izuzetkom adsorbata čija su vremena zadržavanja bila duža od 90 min. U tablicama 19P-23P prikazana su eksperimentalno odre-

djena vremena zadržavanja za sve ispitivane adsorbate i sve koline. Dobijeni hromatografski pikovi imalu si simetričan oblik a merena vremena zadržavanja nisu zavisila od količine unetog adsorbata. Ovo ukazuje da su merenja izvršena na linearnom delu adsorpcione izoterme, što omogućuje određivanje termodinamičkih veličina procesa adsorpcije iz korigovanih retencionih podataka. Korigovane retencione zapremine računate su prema jednačini (26) a koeficijenti raspodele prema izrazu (27).

U tablici 10 dati su koeficijenti raspodele ispitivanih adsorbata, zajedno sa tačkama ključanja, za temperaturu $T=403\text{ K}$, dok su za ostale ispitivane temperature dati u tablicama 24P-26P.

Tablica 10. Koeficijenti raspodele, K_R , (cm^3/m^2), ispitivanih adsorbata sa korišćenim SiO_2 pri 403 K

Adsorbat	$T_k\text{ (K)}$	$\text{SiO}_2\text{-H}$	$\text{SiO}_2\text{-Li}$	$\text{SiO}_2\text{-Na}$	$\text{SiO}_2\text{-K}$	$\text{SiO}_2\text{-Cs}$
n-Pentan	390,2	0,025	0,021	0,019	0,019	0,024
n-Heksan	341,9	0,055	0,042	0,035	0,037	0,048
n-Heptan	371,6	0,123	0,085	0,063	0,067	0,091
n-Oktan	398,8	0,281	0,163	0,114	0,125	0,171
Cikloheksan	353,9	0,055	0,046	0,038	0,041	0,050
2,2,4-Trime-tilpentan	372,4	0,168	0,114	0,081	0,089	0,118
1-Penten	303,1	0,080	0,043	0,038	0,030	0,038
1-Heksen	336,6	0,183	0,087	0,073	0,057	0,075
Ugljentetra-hlorid	349,7	0,076	0,059	0,048	0,050	0,064
Hloroform	334,9	0,094	0,073	0,059	0,059	-
Metilenhlorid	312,9	0,065	0,057	0,046	0,042	0,063
Benzol	353,3	0,381	0,301	0,272	0,184	0,226
Hlorbenzol	404,9	0,832	0,485	0,320	0,296	0,431
Brombenzol	429,2	1,480	0,766	0,514	0,479	0,684
Toluol	383,8	1,212	0,810	0,723	0,464	0,560

Uticaj hemijskog tretmana tj. vrste sorbovanih jona na zadržavanje ispitivanih organskih jedinjenja je evidentan iz tablice 10 (a takođe i iz tablica 24P-26P). Najveće vrednosti koeficijenata raspodele dobijene su na koloni punjenoj sa $\text{SiO}_2\text{-H}$ (nemodifikovani SiO_2). Kod ostalih kolona, modifikacija površine SiO_2 sa jonima alkalnih metala vodi smanjenju koeficijenata raspodele svih adsorbata. Ovo je normalno očekivati pošto modifikovane površine imaju manje aktivnih mesta za interakciju sa adsorbatima. Iz tablice 10 se takođe vidi da koeficijenti raspodele serije n-parafina (od n-pentana do n-oktana) rastu sa porastom dužine lanca kao i sa porastom molekulske mase i tačke ključanja.

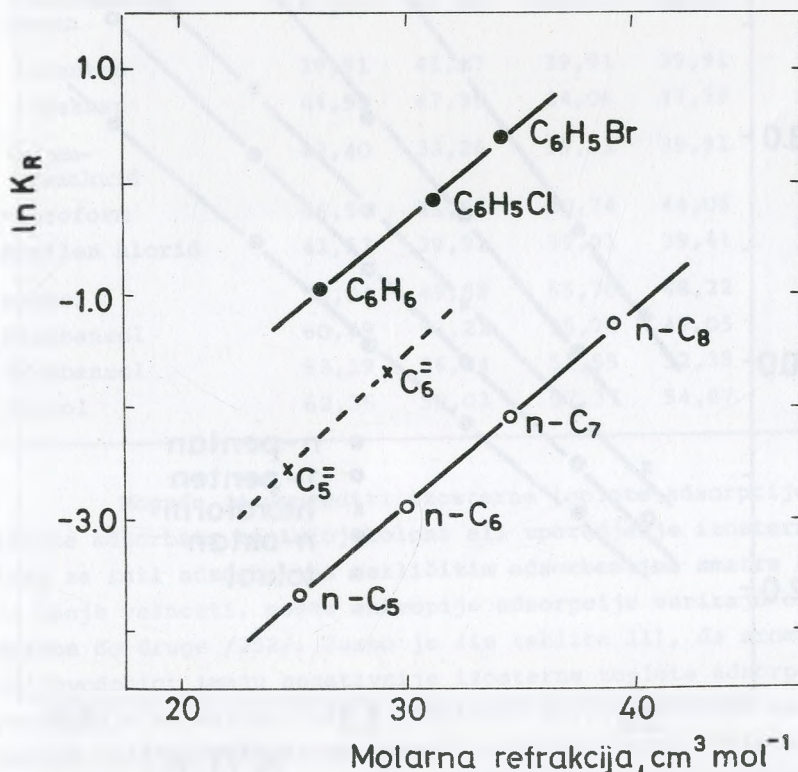
Uloga geometrijskog faktora može se sagledati iz K_R vrednosti za n-heksan (n-alkan), cikloheksan (cikloalkan), n-oktan i izooktan (račvasti alifat). Uopšte, cikloalkani se duže zadržavaju od n-alkana (sa istim brojem ugljenikovih atoma) u hromatografiji gas-tečnost; dok je u slučaju hromatografije gas-čvrsto ovaj redosled obrnut /249/. Ovaj redosled važi za $\text{SiO}_2\text{-H}$ pri $T \leq 373$ K i za $\text{SiO}_2\text{-Na}$ i $\text{SiO}_2\text{-Cs}$ pri $T = 343$ K. Međutim u slučaju $\text{SiO}_2\text{-H}$ pri $T \geq 403$ K, $\text{SiO}_2\text{-Li}$ i $\text{SiO}_2\text{-K}$ pri $T \geq 343$ K i za $\text{SiO}_2\text{-Na}$ i $\text{SiO}_2\text{-Cs}$ pri $T \geq 373$ K, cikloheksan se duže zadržava u odnosu na n-heksan. Uporedjenje retencije za linearni n-oktan i račvasti izooktan (2,2,4-trimetilpentan) potvrđuje gornji zaključak. Na svim ispitivanim materijalima i pri svim temperaturama n-oktan se zadržava duže u odnosu na izooktan. Linearni ugljovodonici (u našem slučaju n-oktan) poseduju više vodoničnih atoma koji mogu prići površini adsorbenta i prema tome duže se zadržati u poređenju sa račvastim ugljovodicima (u ovom slučaju izooktanom) sa istim brojem ugljenikovih atoma.

U slučaju hlorsupstituisanih ugljovodnika K_R vrednosti za sve ispitivane adsorbente rastu sa porastom broja hlor atoma do hloroform-a onda opadaju. Ovako ponašanje hlorsupstituisanih ugljovodnika primećeno je i kod kaolinita /250/, magnetita /251/, sferosila /158/ i silicijumdioksida (modifikovanog

sa 10% Na_2SO_4) /153/.

Alkeni i aromati se duže zadržavaju, pri svim temperaturama i na svim kolonama, u odnosu na odgovarajuće alkane. Duža retencija je izazvana doprinosom specifičnih reakcija π -vez za pomenutih adsorbata sa površinom adsorbenta.

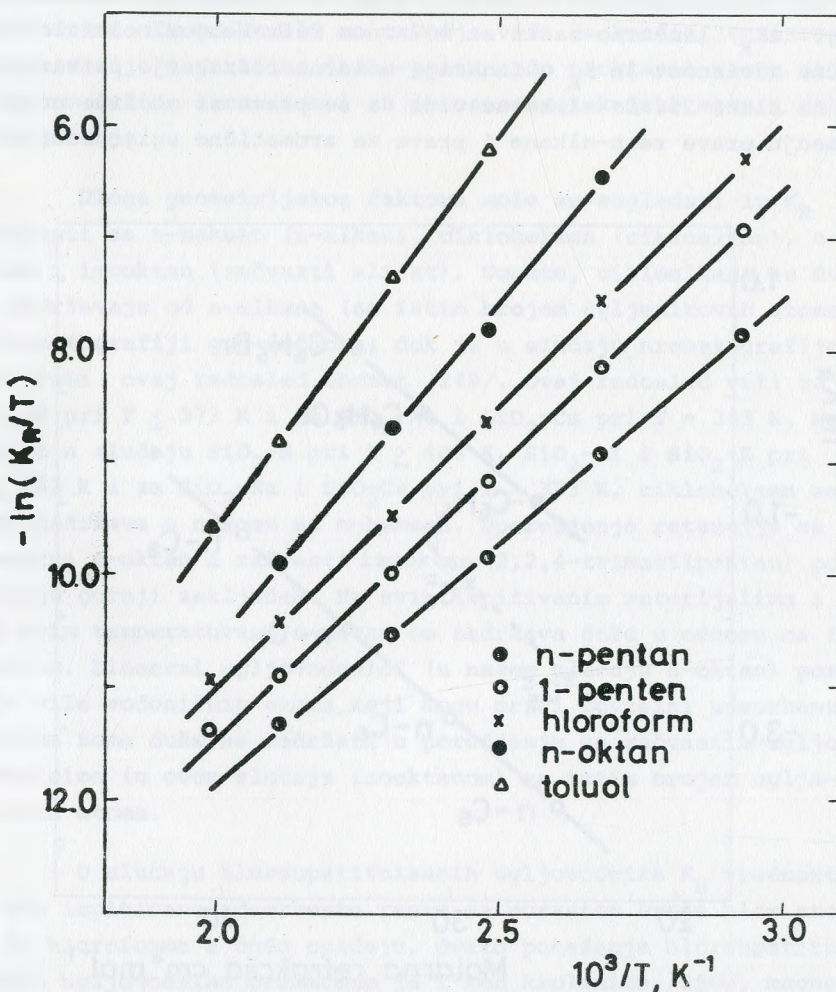
Iz dobijenih vrednosti (tablica 10) može se zaključiti da za jedinjenja iste strukture (npr. n-alkane) K_R vrednosti (tj. $\ln K_R$) linearno rastu sa molarnom refrakcijom molekula. Tipična zavisnost $\ln K_R$ u funkciji molarne refrakcije prikazana je na slici 25. Sa slike se vidi da se prava za olefine nalazi izmedju prave za n-alkane i prave za aromatične ugljovodonike,



S1. 25. Zavisnost $\ln K_R$ u funkciji molarne refrakcije za neka organska jedinjenja na SiO_2-H koloni ($T=403\text{K}$)

što ukazuje da je polarizacioni efekat kod olefina manje izražen u odnosu na isti efekat kod aromatičnih adsorbata.

Izosterne topote adsorpcije, ΔH , izračunavane su iz zavisnosti $\ln(K_R/T) = f(1/T)$ (jednačina (28)). Ovakve zavisnosti, za neke od ispitivanih jedinjenja i za $\text{SiO}_2\text{-Li}$ kolonu, prikazane su na slici 26.



S1. 26. Zavisnost $\ln(K_R/T)$ u funkciji $1/T$ za reprezentativna jedinjenja na $\text{SiO}_2\text{-Li}$ koloni.

Dobijene vrednosti ΔH date su u tablici 11.

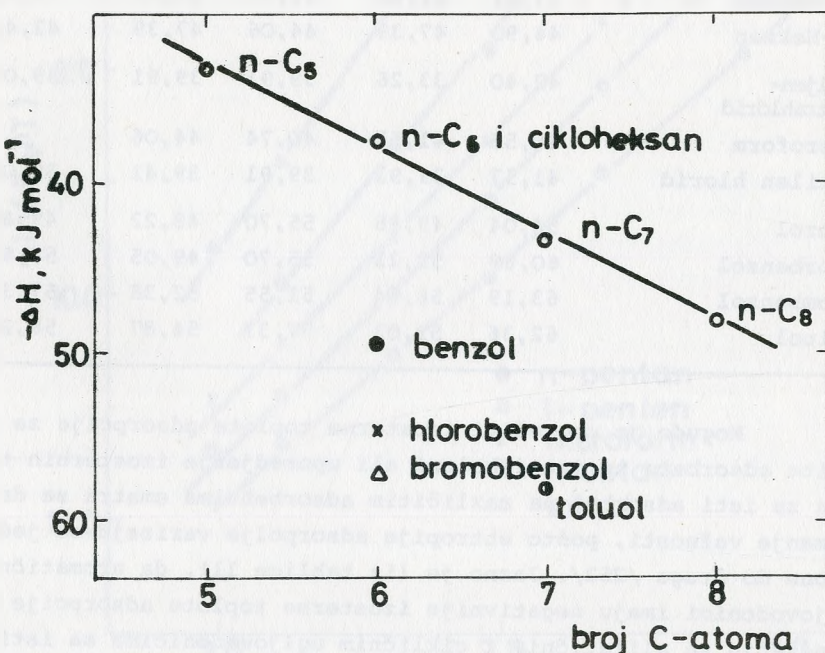
Tablica 11. Izosterne toplove adsorpcije, $-\Delta H$ ($\text{kJ} \cdot \text{mol}^{-1}$), izučavanih organskih jedinjenja na različitim SiO_2

Jedinjenje	$\text{SiO}_2\text{-H}$	$\text{SiO}_2\text{-Li}$	$\text{SiO}_2\text{-Na}$	$\text{SiO}_2\text{-K}$	$\text{SiO}_2\text{-Cs}$
n-Pentan	40,74	36,25	34,92	33,26	33,26
n-Heksan	41,57	41,07	39,91	40,74	37,41
n-Heptan	49,88	47,39	45,73	45,73	43,83
n-Oktan	52,38	50,72	49,05	50,72	48,22
Cikloheksan	41,57	41,07	39,91	39,08	37,41
2,3,4-Trimetil-pantan	51,55	47,39	45,73	48,22	44,90
1-Penten	39,91	41,07	39,91	39,91	37,41
1-Heksen	44,90	47,39	44,06	47,39	42,40
Ugljen-tetrahlorid	42,40	33,26	39,91	39,91	39,08
Hloroform	46,56	41,57	40,74	44,06	-
Metilen hlorid	41,57	39,91	39,91	39,41	39,08
Benzol	54,04	49,88	55,70	48,22	49,88
Hlorbenzol	60,69	53,21	55,70	49,05	54,87
Brombenzol	63,19	56,54	51,55	52,38	57,37
Toluol	62,36	59,03	57,37	54,87	58,20

Moguće je uporediti izosterne toplove adsorpcije za različite adsorbate na istoj koloni ali uporedjenje izosternih toplova za isti adsorbat na različitim adsorbentima smatra se da je od manje važnosti, pošto entropije adsorpcije variraju od jedne kolone do druge /252/. Jasno je (iz tablice 11), da aromatični ugljovodonici imaju negativnije izosterne toplove adsorpcije u poređenju sa alifatičnim i cikličnim ugljovodonicima sa istim brojem ugljenikovih atoma. Negativnija izosterna topota adsorpcije znači i jaču interakciju izmedju adsorbata i adsorbenta.

Podaci u tablici 11 i prikazani na slici 27 pokazuju da izosterne toplove adsorpcije za ispitivane n-alkane linearno rastu sa brojem ugljenikovih atoma. Nagib ove prave predstavlja doprinos izosterne toplove adsorpcije svake CH_2 -grupe. Doprinos tri π -veze kod benzolovog prstena može se dobiti merenjem vertikalnog rastojanja izmedju tačke za n-heksan (na liniji n-alkana) i tačke za benzol. Slično se mogu dobiti doprinosi halogenidnih jona kod benzolovih derivata.

Izračunate vrednosti promene slobodne energije i entropije procesa adsorpcije (prema jednačinama (29) i (30) date su za temperaturu 433 K u tablici 12, dok su za ostale ispitivane temperature ΔG vrednosti date u tablicama 27P do 29P.

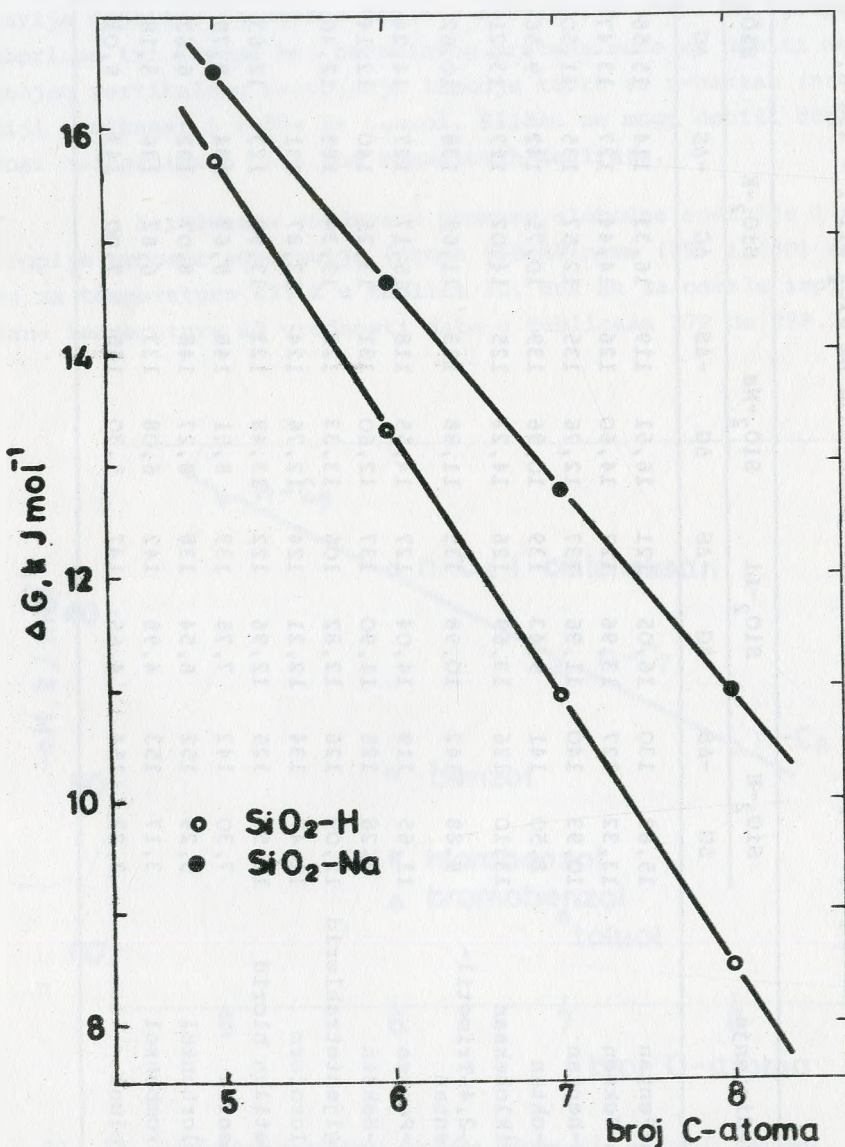


Sli. 27. Zavisnost izosterne toplove adsorpcije od broja C-atoma u molekulu sa SiO_2 -Cs kolonu.

Tablica 12. Promena slobodne energije, $\Delta G(\text{kJ}\cdot\text{mol}^{-1})$, i entropije, $\Delta S(\text{J}\cdot\text{mol}^{-1}\cdot\text{K}^{-1})$, adsorpcije ispitivanih organskih jedinjenja na SiO_2 pri $T = 433 \text{ K}$.

Jedinjenje	$\text{SiO}_2\text{-H}$		$\text{SiO}_2\text{-Li}$		$\text{SiO}_2\text{-Na}$		$\text{SiO}_2\text{-K}$		$\text{SiO}_2\text{-Cs}$	
	ΔG	$-\Delta S$	ΔG	$-\Delta S$	ΔG	$-\Delta S$	ΔG	$-\Delta S$	ΔG	$-\Delta S$
n-Pentan	15,69	130	16,05	121	16,51	119	16,33	114	15,56	113
n-Heksan	13,32	127	13,96	127	14,60	126	14,44	127	13,47	118
n-heptan	10,93	140	11,96	137	12,76	135	12,57	135	11,50	126
n-oktan	8,50	141	9,43	139	10,96	139	10,75	142	9,56	126
Cikloheksan	13,10	126	13,69	126	14,23	125	14,02	123	13,21	117
2,2,4-Trimetil-pentan	9,88	142	10,98	135	11,88	113	11,69	138	10,62	128
1-Penten	11,65	119	14,04	127	14,55	118	15,17	127	14,24	119
1-Heksen	9,28	125	11,90	137	12,60	131	13,21	140	12,14	126
Ugljentetrahlorid	12,09	126	12,82	106	13,33	123	13,34	123	12,46	119
Hloroform	11,47	134	12,21	124	12,76	124	12,87	131	-	-
Metilen hlorid	12,50	125	12,96	122	13,48	123	13,90	123	12,63	119
Benzol	7,30	142	7,75	133	8,51	148	9,67	134	8,75	135
Hlorbenzol	5,29	152	6,54	138	8,27	148	8,07	132	6,62	142
Brombenzol	3,17	153	4,95	142	6,08	133	6,62	136	5,18	144
Toluol	7,22	154	4,65	147	5,30	145	7,00	143	6,01	148

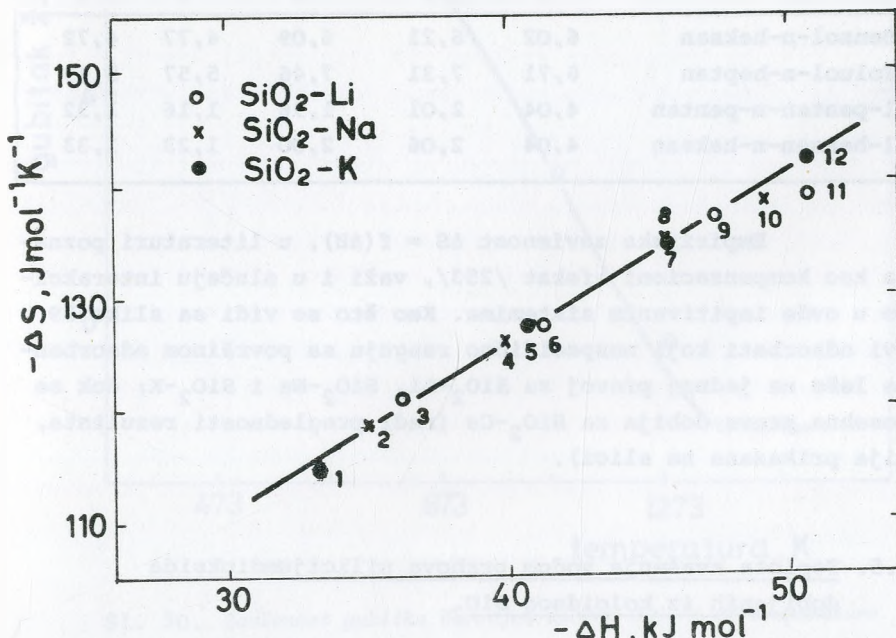
Zavisnost promene slobodne energije adsorpcije od broja ugljenikovih atoma za n-alkane prikazana je na slici 28.



S1. 28. Zavisnost promene slobodne energije adsorpcije u funkciji broja C-atoma za n-alkane pri $T = 433\text{ K}$.

Sa slike 28 se vidi da se ΔG linearno smanjuje sa brojem ugljenikovih atoma. I ovde nagibi pravih predstavljaju doprinos promeni slobodne energije za svaku CH_2 -grupu. Ovaj doprinos zavisi od aktivnosti povrsine adsorbenta i temperature pri kojoj se adsorpcija izvodi. Tako, npr. pri 433 K doprinos promeni slobodne energije svake CH_2 -grupe iznosi: -2.40, -2.18, -1.85, -1.86 i 2.00 $\text{kJ}\cdot\text{mol}^{-1}$ na $\text{SiO}_2\text{-H}$, $\text{SiO}_2\text{-Li}$, $\text{SiO}_2\text{-Na}$, $\text{SiO}_2\text{-K}$ odnosno $\text{SiO}_2\text{-Cs}$.

Prema klasifikaciji Kiseljeva i Jašina /142/ silicijumdioksid je adsorbent II tipa i prema tome može specifično interagovati sa molekulima koji sadrže π -veze. Toplote adsorpcije molekula koji spadaju u grupu A /142/ tj. koji nespecifično reaguju (npr. plemeniti gasovi, zasićeni ugljovodonici) ne zavise od stepena prisustva -OH grupa na površini SiO_2 . Na taj način, prisustvo jako protonisanih atoma vodonika na površini SiO_2 ne pokazuje primetan uticaj na energiju adsorpcije molekula grupe A-medjudejstvo, u osnovi, ostaje nespecifično (slika 29).



S1. 29. Zavisnost $\Delta S = f(\Delta H)$ za n-alkane 1, 2, 3 n-pantan, 4, 5, 6 n-heksan, 7, 8, 9 n-heptan, 10, 11, 12 n-oktan

Kiseljev /168/ je pokazao da se interakcije mogu podeliti na nespecifične i specifične. Diferencijalna slobodna energija adsorpcije, $\Delta(\Delta G)$, se koristi kao mera specifičnosti interakcije izmedju adsorbata i površine adsorbenta. U slučaju sistema n-heksan-benzol $\Delta(\Delta G)$ ima oblik:

$$\Delta(\Delta G) = - RT \ln \frac{K_R C_{6H_6}}{K_R n-C_6} \quad (47)$$

Izračunate vrednosti $\Delta(\Delta G)$ za sisteme aromati-alkani i olefini-alkani, pri 433 K, date su u tablici 13.

Tablica 13. Diferencijalne slobodne energije adsorpcije za niz absorbata na izučavanim adsorbentima. T = 433 K.

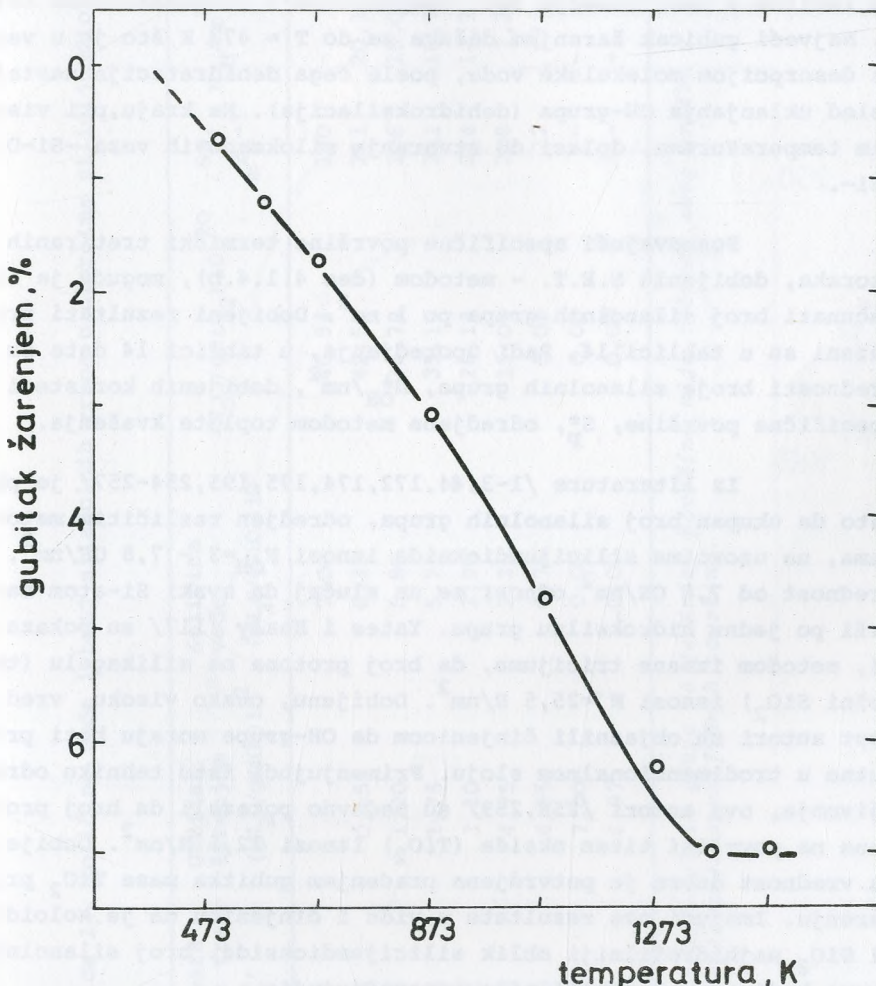
Sistem	$-\Delta(\Delta G)$, $\text{kJ}\cdot\text{mol}^{-1}$				
	$\text{SiO}_2\text{-H}$	$\text{SiO}_2\text{-Li}$	$\text{SiO}_2\text{-Na}$	$\text{SiO}_2\text{-K}$	$\text{SiO}_2\text{-Cs}$
Benzol-n-heksan	6,02	6,21	6,09	4,77	4,72
Toluol-n-heptan	6,71	7,31	7,46	5,57	5,49
1-penten-n-pentan	4,04	2,01	1,96	1,16	1,32
1-heksen-n-heksan	4,04	2,06	2,00	1,23	1,33

Empirijska zavisnost $\Delta S = f(\Delta H)$, u literaturi poznata kao kompenzacioni efekat /253/, važi i u slučaju interakcije u ovde ispitivanim sistemima. Kao što se vidi sa slike 29 svi adsorbuti koji nespecifično reaguju sa površinom adsorbenta leže na jednoj pravoj za $\text{SiO}_2\text{-Li}$, $\text{SiO}_2\text{-Na}$ i $\text{SiO}_2\text{-K}$; dok se posebna prava dobija za $\text{SiO}_2\text{-Cs}$ (radi preglednosti rezultata, nije prikazana na slici).

5.5. Toplota kvašenja vodom prahova silicijumdioksida dobijenih iz koloidnog SiO_2

U ovom delu dati su rezultati ispitivanja uticaja

termičkog tretmana silicijumdioksida ($\text{SiO}_2\text{-H}$ dobijenog prema metodi opisanoj u delu 4.1.3) na toplotu kvašenja. Uzorci $\text{SiO}_2\text{-H}$ tretirani su pri 383, 483, 573, 673, 873, 1073 i 1273 K (atmosfera vazduha) u trajanju od 4 h. Količine vode u $\text{SiO}_2\text{-H}$ uzorku, pri različitim temperaturama, izračunate su iz gubitaka mase



S1. 30. Zavisnost gubitka žarenjem uzorka $\text{SiO}_2\text{-H}$ od temperatupe tretmana.

uzorka žarenjem. Sa slike 30 se vidi da gubitak žarenjem raste do temperature 1373 K, posle čega se postiže konstantna vrednost. Većina autora /2,45,254,255/ navodi da je količina hidroksilnih grupa, zaostala posle termičkog tretmana različitih oblika silicijumdioksida pri 1373 do 1473 K, zanemarljivo mala. Količina silanolnih grupa, $\geq \text{SiOH}$, pri datoј temperaturi može se odrediti iz razlike u masi izmedju date temperature i temperature od 1373 K. Najveći gubitak žarenjem dešava se do $T = 473$ K što je u vezi sa desorpcijom molekulske vode, posle čega dehidratacija nastaje usled uklanjanja OH-grupa (dehidrosilikacija). Na kraju, pri visokim temperaturama, dolazi do stvaranja siloksanovih veza -Si-O-Si-.

Poznavajući specifične površine termički tretiranih uzoraka, dobijenih B.E.T. - metodom (deo 4.1.4.b), moguće je izračunati broj silanolnih grupa po 1 nm^2 . Dobijeni rezultati prikazani su u tablici 14. Radi uporedjenja, u tablici 14 date su i vrednosti broja silanolnih grupa, $N_{\text{OH}}^*/\text{nm}^2$, dobijenih koristeći specifične površine, S_p^* , odredjene metodom toplote kvašenja.

Iz literature /1-3,44,172,174,175,195,254-257/ je poznato da ukupan broj silanolnih grupa, određen različitim metodama, na uzorcima silicijumdioksida iznosi $N_{\text{OH}} = 3 - 7,8 \text{ OH/nm}^2$. Vrednost od $7,8 \text{ OH/nm}^2$ odnosi se na slučaj da svaki Si-atom sadrži po jednu hidroksilnu grupu. Yates i Healy /117/ su pokazali, metodom izmene tricijuma, da broj protona na silikagelu (tačni SiO_2) iznosi $N' = 25,5 \text{ H/nm}^2$. Dobijenu, ovako visoku, vrednost autori su objasnili činjenicom da OH-grupe moraju biti prisutne u trodimenzionalnom sloju. Primenjujući istu tehniku određivanja, ovi autori /258,259/ su nedavno pokazali da broj protona na površini titan oksida (TiO_2) iznosi $12,5 \text{ H/nm}^2$. Dobijena vrednost dobro je potvrđena praćenjem gubitka mase TiO_2 pri žarenju. Imajući ove rezultate u vidu i činjenicu da je koloidni SiO_2 najhidrofilniji oblik silicijumdioksida, broj silanolnih grupa koji smo mi dobili nije iznenadujući.

Gubitak mase uzorka SiO_2-H do temperature 493 K može se pripisati desorpciji adsorbovane vode. U literaturi /174/

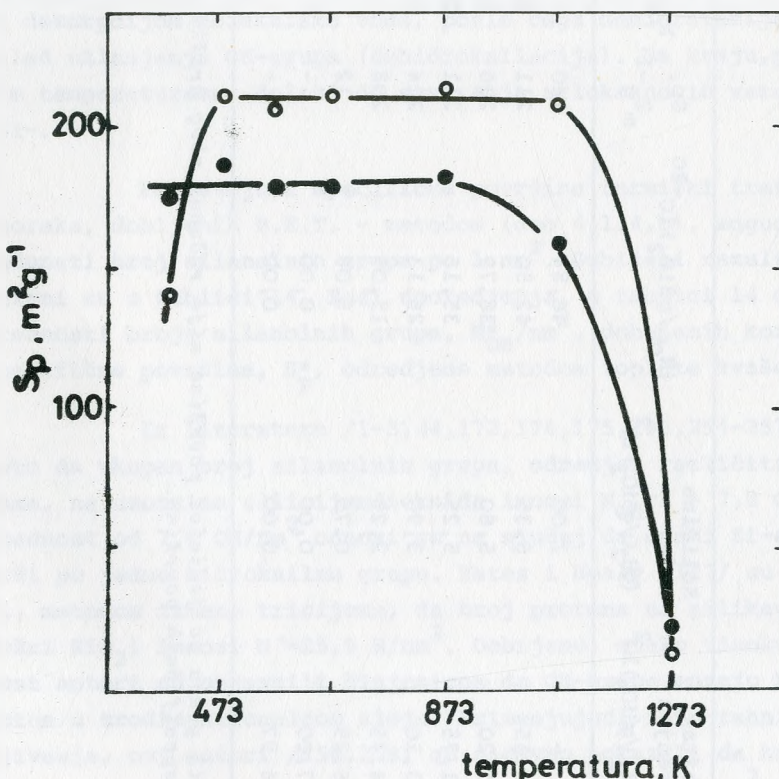
Tablica 14. Količina vode i broj silanolnih grupa u uzorcima silicijumdioksida

Tempera-tura tret-mana, K	Gubitak žarenjem $(\text{gH}_2\text{O/gSiO}_2) \cdot 10^2$	Količina vode, $(\text{gH}_2\text{O/gSiO}_2) \cdot 10^2$	$(\text{N}_{\text{OH}}/\text{gSiO}_2) \cdot 10^{-20}$	Sp' , m^2g^{-1}	$\text{N}_{\text{OH}}/\text{nm}^2$	Sp^* , m^2g^{-1}
383	-	7,00	46,84	140	-	174
493	0,65	6,35	42,50	211	20,1	185
573	1,20	5,80	38,79	206	18,0	178
673	1,75	5,25	35,16	211	16,7	178
873	3,10	3,90	26,13	214	12,2	182
1073	4,75	2,25	15,05	208	7,2	158
1273	6,25	0,75	5,06	12	** 23	9,5
1373	7,00	0,00	0,00	-	-	-
1473	6,97	~0,00	~0,00	-	-	-

* Broj silanolnih grupa po jedinici površine nije računat zbog greški u određivanju specifičnih površina.

postoje podaci da se molekulska voda može zadržati na silikagu i do 573 K a da uklanjanje OH-grupa (dehidroksilacija) može početi i od 473 K. Vrednosti broja silanolnih grupa, N_{OH} , date u tablici 14 dobijene su na osnovu ukupno oslobođene količine vode.

Uticaj temperature termičkog tretmana na specifičnu površinu silicijumdioksida prikazan je na slici 31.



S1. 31. Zavisnost specifične površine dobijene BET metodom (o) i metodom topline kvašenja (●) od temperature tretmana SiO_2 .

Sa slike se vidi da specifična površina uzorka $\text{SiO}_2\text{-H}$ ostaje konstantna, u okviru eksperimentalne greške, u opsegu temperature $T = 473 - 1073$ K. Ovo je razumljivo s obzirom da uzorci

$\text{SiO}_2\text{-H}$ sa kojima smo mi radili ne sadrže primese. Prisustvo katjona kao primesa čak i u koncentraciji od nekoliko desetina ppm jako utiče na veličinu S_p pri termičkom tretmanu. Radovi Kondo-a i saradnika /188, 255, 260/ kao i Bažan-a i saradnika /264/ u potpunosti su potvrdili pomenuti uticaj primesa na S_p silicijumdioksida pri termičkom tretmanu. Na slici 31 prikazane su i specifične površine dobijene metodom topote kvašenja. U mnogim slučajevima gde se približne relativne površine žele dobiti, metoda topote kvašenja se preporučuje /261, 262/. Međutim, adsorbent mora biti prvo uravnotežen sa zasićenom parom adsorbata. Tada molarna slobodna energija adsorbovane tečnosti (adsorbata) mora biti jednaka slobodnoj energiji čiste tečnosti. Pri izračunavanju specifičnih površina uzorka $\text{SiO}_2\text{-H}$ iz podataka o topoteti kvašenja koristili smo vrednost $118.5 \text{ mJ} \cdot \text{m}^{-2}$ za površinsku energiju vode pri 298 K /263/. U današnje vreme kao najtačnije vrednosti specifičnih površina smatraju se one dobijene pomoću adsorpcije azota, uzimajući u obzir da je površina poprečnog preseka molekule azota $0,162 \text{ nm}^2$, data u literaturi sa najvećom tačnošću.

Slike 31 se vidi da je opšti izgled zavisnosti specifične površine od temperature tretmana isti bez obzira na korišćenu metodu za dobijanje S_p . Razlika se opaža kod specifičnih površina uzorka tretiranih pri $T < 473 \text{ K}$. Vrednosti S_p u ovoj oblasti dobijene B.E.T. metodom niže su u poređenju sa S_p vrednostima dobijenim metodom topote kvašenja. Prema našem mišljenju, razlog je u adsorbovanoj molekulskoj vodi koju je nemoguće ukloniti pri temperaturama od $T = 473 \text{ K}$. Prisutna voda u ovakovom obliku blokira deo površine tako da molekuli N_2 ne mogu prići površini SiO_2 . Viša vrednost S_p dobijena metodom topote kvašenja u odnosu na vrednost dobijenu B.E.T. metodom pri $T = 1273 \text{ K}$, može se objasniti smanjenom tačnošću merenja topote kvašenja uzorka SiO_2 tretiranog pri ovoj temperaturi.

Topote kvašenja $\text{SiO}_2\text{-H}$ uzorka su merene pri 298 K a kao tečnost za kvašenje korišćena je destilovana voda. Vreme potrebno za kvašenje tj. potpuno oslobođivanje topote pri

kvašenju nije prelazilo 3-5 min., što je u saglasnosti i sa rezultatima ostalih istraživača /169,172,176,179,191,238/. Ovde treba napomenuti da su Guderjahn i saradnici /182/, jedini u literaturi, koji ukazuju da oslobođanje toplotne energije pri kvašenju može trajati i nekoliko sati (naročito u slučaju kvašenja uzorka Al_2O_3). U tablicama 15 i 30P date su dobijene eksperimentalne vrednosti toplota kvašenja.

Tablica 15. Toplote kvašenja uzorka SiO_2-H u vodi

Temperatura tretmana, K	$-\Delta H_{k_1}$ J·g ⁻¹	$-\Delta h_{k_2}$ mJ·m ⁻²
383	20,63 ± 0,80	147
483	22,05 ± 1,78	104
573	21,11 ± 1,18	102
673	21,08 ± 1,54	100
873	21,54 ± 1,17	101
1073	18,78 ± 1,68	90
1273	2,64 ± 1,48	(220)

Iz tablice 15 se vidi da toplota kvašenja ispitivanih uzorka ne zavisi od temperature tretmana u oblasti T=483-873 K. Dobijenu vrednost pri T=1273 K, datu u zagradi, možemo uslovno prihvatići s obzirom na veliku grešku u određivanju.

Značajna razlika između naših rezultata i rezultata većine istraživača (videti npr. lit. /170/) je u činjenici da zavisnost Δh_k (ΔH_k) u funkciji temperature tretmana nema izraženi maksimum. Naime, sve do nedavno smatralo se da pomenuta zavisnost $\Delta h_k = f(T)$ mora imati maksimum pri T~573 K. Ovaj maksimum se dobija samo ako se uzorci SiO_2 termički tretiraju u vakuumu. Nedavna istraživanja Tyler-a i saradnika /172/ kao i Kondo-a i saradnika /188/ u potpunosti su potvrdila ovakav zaključak.

Kondo i saradnici su u svom nedavnom radu /188/ pokazali da se najniže vrednosti toplota kvašenja SiO_2 u vodi dobijaju za one uzorke SiO_2 koji sadrže minimum nečistoća. U tablici 16 dati su rezultati merenih toplota kvašenja u zavisnosti od načina tretmana i sadržaja Na^+ -jona u uzorcima SiO_2 .

Tablica 16. Uticaj tretmana SiO_2 na toplotu kvašenja vodom
/188/

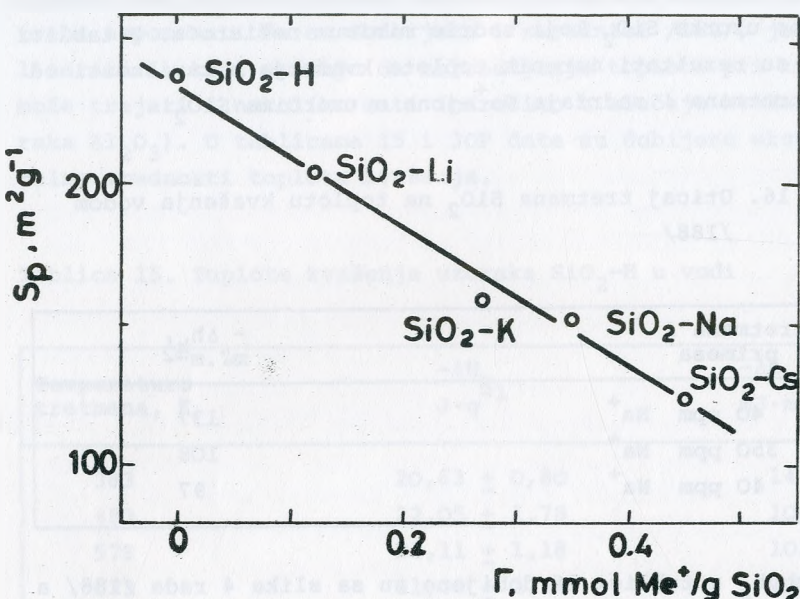
Vrsta tretmana i sadržaj primesa	$-\Delta h_k'$ $\text{mJ} \cdot \text{m}^{-2}$
Vakuum, 40 ppm Na^+	137
Vazduh, 350 ppm Na^+	108
Vazduh, 40 ppm Na^+	97

Vrednosti Δh_k u tablici 16 dobijene su sa slike 4 rada /188/ a odnose se na silikagel sa $2 \text{ OH}/\text{nm}^2$.

Kao zaključak može se reći da se naši rezultati nalaze u odličnoj saglasnosti sa rezultatima nedavno publikovanih istraživanja /172,188/. Vrednosti Δh_k koje smo mi dobili potpuno odgovaraju vrednostima toplota kvašenja SiO_2 tretiranih u atmosferi vazduha a i činjenici da je SiO_2 sa kojim smo mi radili vrlo čist.

Radi ispitivanja uticaja sorbovanog jona alkalnih metala na veličinu ΔH_k takodje smo vršili merenje toplote kvašenja modifikovanih uzorka SiO_2 ($\text{SiO}_2\text{-Me}$). Koristili smo iste uzorke kao one upotrebljene za gasno-hromatografska određivanja (deo 5.4).

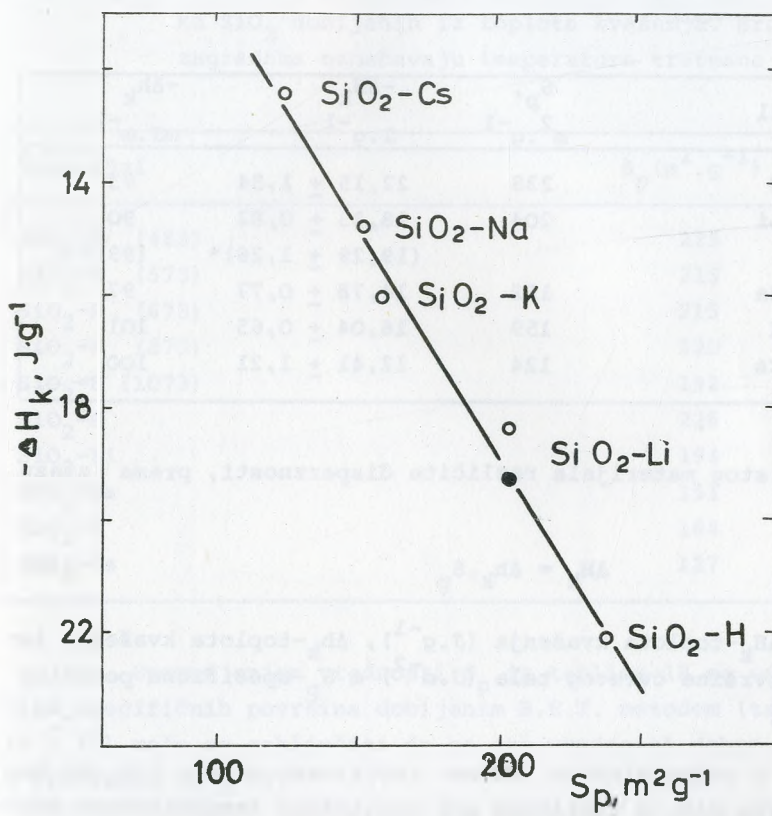
Na slici 32 data je zavisnost specifične površine uzorka $\text{SiO}_2\text{-Me}$ (određena B.E.T.-metodom) u funkciji sorbovane količine Me^+ -jona. Dobijena je pravolinijska zavisnost što ukazuje da specifična površina modifikovanih uzorka SiO_2 zavisi



Sl. 32. Zavisnost specifične površine SiO_2 od količine sorbovanih jona.

samo od količine sorbovanog Me^+ -jona a ne i od vrste jona. Ovo se, naravno, odnosi samo na ispitivanu količinu sorbovanih jona, Γ . Nedavno publikovani rezultati Bažana i saradnika /264/ takođe ukazuju da promena specifične površine silikagela ne zavisi od prirode katjona alkalnih metala. Dobijene vrednosti toplota kvašenja $\text{SiO}_2\text{-Me}$ uzoraka date su u tablicama 17 i 31P.

Prikaz toplotne kvašenja ovih uzoraka u funkciji specifične površine (slika 33) ukazuje na pravolinijsku zavisnost. S obzirom na količinu sorbovanih jona ovakvu zavisnost je normalno očekivati pošto je doprinos toplotne hidratacije Me^+ -jona zanemarljiv u odnosu na doprinos preostalog dela H^+ -jona. Ova kva pravolinijska zavisnost potvrđuje mogućnost korišćenja toplotne kvašenja za relativno određivanje specifične površine



Sl. 33. Zavisnost topline kvašenja od specifične površine SiO_2
 o - kvašenje vodom, • - kvašenje $\text{SiO}_2\text{-Li}$ u 0,001
 $\text{mol} \cdot \text{dm}^{-3} \text{HCl}$.

Tablica 17. Toplote kvašenja, Δh_k ($\text{mJ} \cdot \text{m}^{-2}$), uzoraka $\text{SiO}_2\text{-Me}$ u vodi

Materijal	S_p , $\text{m}^2 \cdot \text{g}^{-1}$	$-\Delta h_k$ $\text{J} \cdot \text{g}^{-1}$	$-\Delta h_k$ $\text{mJ} \cdot \text{m}^{-2}$
$\text{SiO}_2\text{-H}$	238	22,15 \pm 1,54	93
$\text{SiO}_2\text{-Li}$	204	18,33 \pm 0,82 (19,29 \pm 1,26)*	90 (95)*
$\text{SiO}_2\text{-Na}$	152	14,78 \pm 0,77	97
$\text{SiO}_2\text{-K}$	159	16,04 \pm 0,65	101
$\text{SiO}_2\text{-Cs}$	124	12,41 \pm 1,21	100

prahova istog materijala različite disperznosti, prema izrazu /265/:

$$\Delta H_k = \Delta h_k \cdot S_p \quad (48)$$

gde je: ΔH_k -toplota kvašenja ($\text{J} \cdot \text{g}^{-1}$), Δh_k -toplota kvašenja jedinice površine čvrstog tela ($\text{J} \cdot \text{m}^{-2}$) a S_p -specifična površina ($\text{m}^2 \cdot \text{g}^{-1}$).

U našem slučaju, za sve ispitivane uzorce $\text{SiO}_2\text{-Me}$ kao i za uzorce $\text{SiO}_2\text{-H}$ tretirane pri različitim temperaturama dobijena je vrednost $\Delta h_k = -98 \times 10^{-3} \text{ J} \cdot \text{m}^{-2}$. Prilikom izračunavanja srednje vrednosti Δh_k nisu uzete u obzir vrednosti Δh_k za $\text{SiO}_2\text{-H}$ tretiranih pri 383 i 1273 K. Vrednost Δh_k za uzorak $\text{SiO}_2\text{-H}$ tretiran pri 383 K nije uzeta zbog moguće greške u određivanju specifične površine B.E.T. metodom (videti stranu 115), dok vrednost Δh_k za uzorak SiO_2 tretiran pri 1273 K nije uzeta zbog sinterovanja materijala.

Poznavajući srednju vrednost Δh_k i toploote kvašenja svih uzoraka SiO_2 , izračunali smo specifične površine prema izratu (48). Dobijene vrednosti date su u tablici 18.

*Vrednost u zagradi odnosi se na toplotu kvašenja uzorka $\text{SiO}_2\text{-Li}$ u $0,01 \text{ mol/dm}^3 \text{ HCl}$.

Tablica 18. Vrednosti specifičnih površina, S_p ($m^2 \cdot g^{-1}$), uzorka SiO_2 dobijenih iz toplota kvašenja. Brojevi u zagradama označavaju temperature tretmana u K

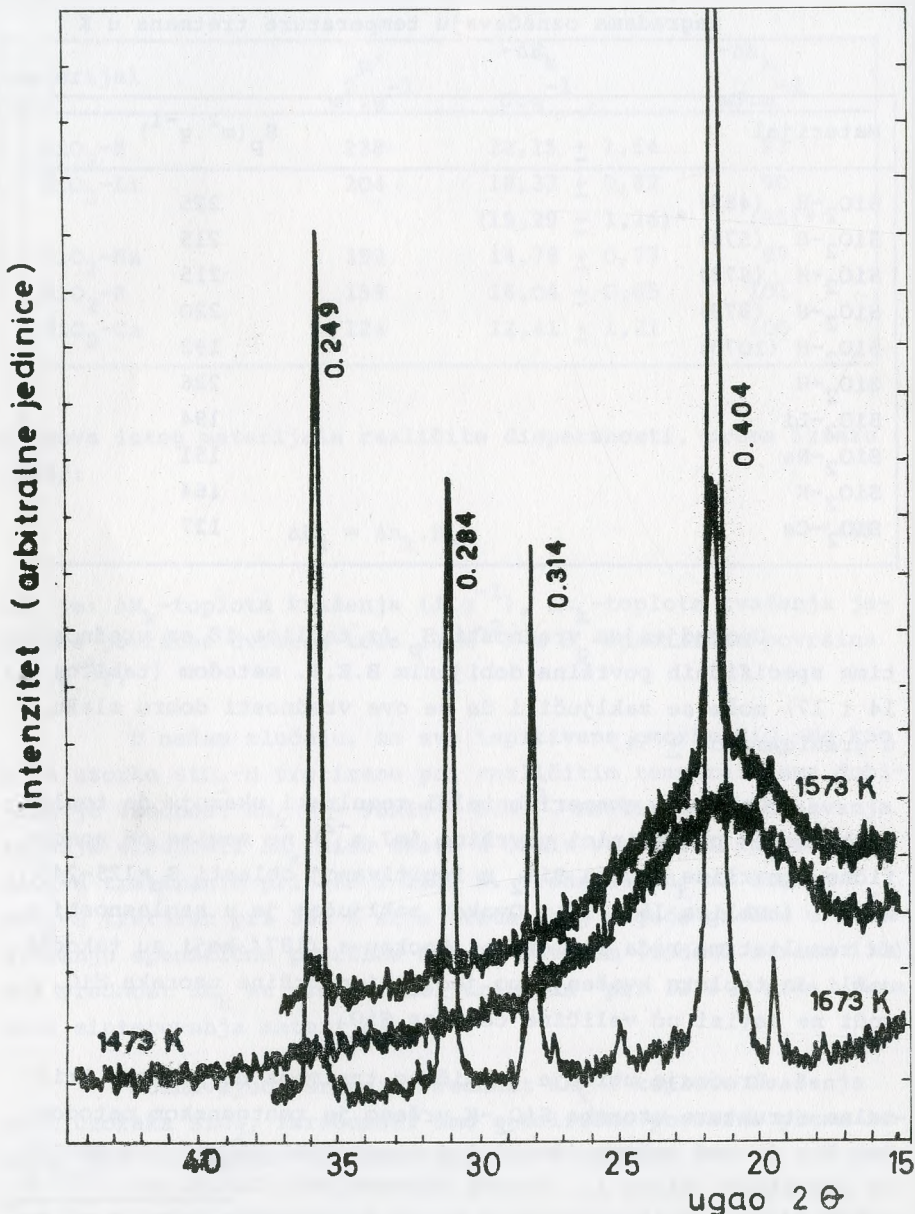
Materijal	S_p ($m^2 \cdot g^{-1}$)
SiO_2 -H (483)	225
SiO_2 -H (573)	215
SiO_2 -H (673)	215
SiO_2 -H (873)	220
SiO_2 -H (1073)	192
SiO_2 -H	226
SiO_2 -Li	194
SiO_2 -Na	151
SiO_2 -K	164
SiO_2 -Cs	127

Uporedjenjem vrednosti S_p iz tablice 18 sa vrednostima specifičnih površina dobijenim B.E.T. metodom (tablice 14 i 17) može se zaključiti da se ove vrednosti dobro slažu, u granicama do $\pm 5\%$.

Dobijeni eksperimentalni rezultati ukazuju da toplotne kvašenja po jedinici površine ($mJ \cdot m^{-2}$) ne zavise od specifične površine uzorka SiO_2 u ispitivanoj oblasti $S_p = 125-240$ $m^2 \cdot g^{-1}$ (tablica 15 i 17). Ovakav zaključak je u saglasnosti i sa rezultatima rada Taylor-a i Hockey-a /187/ koji su takođe našli da toplota kvašenja po jedinici površine uzorka SiO_2 u vodi ne zavisi od veličine čestica SiO_2 .

Praćenje uticaja termičkog tretmana na promenu kristalne strukture uzorka SiO_2 -H vršeno je rentgenskom metodom. Kao što je već rečeno (deo 4.1.4.a) polazni SiO_2 -H ima amorfnu strukturu (slika 1). Pojava difrakcionih linija pri 1573 K ukazuje na prelaz amorfne strukture u kristalnu-tačnije u α -

kristobalit (niskotemperaturska modifikacija). Potpuni prelaz dešava se pri $T=1573-1673$ K (slika 34).



Sli. 34. Rentgenogrami usoraka $\text{SiO}_2\text{-H}$ tretiranih pri različitim temperaturama. Brojevi pored pikova označavaju rastojanje, u nm, između ravni u kristalima.

Ovakvo ponašanje amorfног silicijumdioksida, koliko je nama poznato, nije do sada saopшteno u literaturi. Postojeći literaturni podaci ukazuju da se prelaz amorfног oblika u kristalni dešava pri temperaturama do 1273 K /162,255,260/. Kondo i saradnici /255,260/ su ispitivali uticaj primesa i pH rastvora na termičko ponašanje silikagela. Autori su zaključili, da prelaz amorfne u kristalnu strukturu zavisi od vrste i koncentracije katjona a ne zavisi od vrste anjona, prisutnih kao nečistoća. Tako npr. pri sadržaju Na^+ -jona u koncentraciji od 870 ppm, prelaz amorfne strukture u α -kristobalit dešava se pri 973 K. Pri istom sadržaju Na^+ -jona i temperaturi tretmana od 1273 K dešava se prelaz u α -kristobalit, β -kristobalit i α -kvarc. Ovi autori navode, da ukoliko je sadržaj Na^+ -jona manji od 100 ppm tada ne dolazi do kristalizacije silikagela pri ovim temperaturama. Nažalost, autori ne navode temperature pri kojima se ovakav prelaz dešava.

Smolkova i saradnici /162/ su ispitujući gas-hromatografsko ponašanje porosila, termički tretiranog pri različitim temperaturama, zaključili da se delimična kristalizacija dešava pri 1173 K. Potpuna kristalizacija i prelaz u α -kristobalit dešava se pri 1283 K.

Kao što je već napred rečeno, uzorci $\text{SiO}_2\text{-H}$ koje smo mi koristili su visoke čistoće. Zahvaljujući tome postignuta je tako visoka temperatura prelaza amorfne u kristalnu strukturu. Sledeći razlog, verovatno leži u obliku čestica ovog materijala. Naime, iz literature /3/ je poznato da koloidni silicijumdioksid ima sferni oblik čestica.

Navedena osobina praha SiO_2 , dobijenog iz koloidnog silicijum-dioksida, da zadržava amorfnu strukturu do tako visokih temperatura (reda 1600 K) može naći praktičnu primenu u li- varstvu (mikrolivenje).

6. ZAKLJUČAK

Koloidni silicijumdioksid, čija je proizvodnja u svetu patentno zaštićena, nalazi izuzetnu primenu u više od 100 različitih grana industrije. Na bazi literaturnih podataka i ličnih kontakata razradjen je laboratorijski postupak, koji može da bude i tehnološki, proizvodnje ovog materijala. Izvršena je potpuna karakterizacija polaznih komponenata, međuproizvoda i finalnog produkta. Dobijeni eksperimentalni podaci pokazuju da kvalitet pripremljenog koloidnog silicijumdioksida odgovara u potpunosti kvalitetu komercijalnog proizvoda svetskih firmi.

Radi boljeg upoznavanja sorpcionih osobina koloidnog silicijumdioksida i prahova dobijenih iz ovog materijala pred sebe smo postavili cilj da ispitamo: sorpciju jona alkalnih metala iz vodenih rastvora, sorpciju niza organskih jedinjenja na prahovima dobijenim iz koloidnog silicijumdioksida, stabilnost koloidnog silicijumdioksida u prisustvu jona alkalnih metala i toplotu kvašenja vodom prahova dobijenih iz koloidnog silicijumdioksida.

1. Sorpcija jona alkalnih metala iz vodenih rastvora na koloidnom silicijumdioksidu, pri 298 K, izučavana je metodom potenciometrijske titracije. Odredjena je granica primenljivosti navedene metode zbog znatne rastvorljivosti koloidnog SiO_2 pri visokim vrednostima pH. Dat je kritički osvrt na literaturne podatke dobijene istom metodom iz rastvora gde je proces rastvara-nja dominantan. Dobijeni histerezis tj. nepodudaranje sorpcione i desorpcione krive objašnjen je znatnom rastvorljivošću koloidnog SiO_2 u toj oblasti pH. Pri nižim koncentracijama elektrolita i nižim vrednostima pH, dobijeni red sorpcije jona alkalnih metala odgovara Hofmeister-ovoј seriji, tj. kod katjona datog na-

elektrisanja afinitet sorpcije opada sa porastom radijusa hidratisanog katjona.

Analizom eksperimentalnih rezultata utvrđena je promena redosleda sorpcije jona alkalnih metala pri određenim vrednostima pH. Nadjena je zavisnost promene reda sorpcije jona alkalnih metala od koncentracije i pH rastvora. Pokazano je, da se promena reda sorpcije jona alkalnih metala na koloidnom silicijumdioksidu može objasniti uzimajući u obzir aktivnosti jona u rastvoru.

Na osnovu ovih rezultata moguće je unapred predviesti redosled sorpcije jona alkalnih metala na koloidnom silicijumdioksidu, mišljenja smo i na drugim oblicima SiO_2 , u zavisnosti od koncentracije i pH rastvora elektrolita. Ovaj zaključak o dominantnom uticaju sastava rastvora smatramo da važi i za druge neorganske okside, što se treba uzeti kao sugestija za dalja istraživanja u ovoj oblasti.

2. Koristeći model predložen od strane Davis-a, James-a i Leckie-a, za analizu granične površine oksid/vodenih rastvor, kvantitativno je interpretiran proces sorpcije jona alkalnih metala na koloidnom silicijumdioksidu. Izračunate konstante jonizacije silanolnih grupa i konstante jonizacije površinskih kompleksa imaju slične vrednosti što ukazuje na slabo kompleksiranje izučavanih jona sa površinom koloidnog silicijumdioksida.

Navedene konstante predstavljaju prve podatke o izučavanoj ravnoteži u sistemu koloidni SiO_2 /rastvor elektrolita. Numeričke vrednosti ovih konstanti doprineće boljem poznavanju modela oksid/vodenih rastvor elektrolita i daljem razvoju teorije dvojnog električnog sloja kod neorganskih oksida.

3. Uticaj temperature na sorpciju Li^+ i Cs^+ -jona na koloidnom silicijumdioksidu izučavan je u opsegu od 284 do 323 K. Za izračunavanje konstanti jonizacije silanolnih grupa i konstanti jonizacije površinskih kompleksa, korišćen je, već

pomenuti model Davis-a, James-a i Leckie-a.

Vrednosti konstanti formiranja površinskih kompleksa korišćene su za izračunavanje promene slobodne energije, promene entalpije i promene entropije procesa sorpcije Li^+ i Cs^+ -jona na koloidnom SiO_2 . Dobijene termodinamičke veličine uporedjene su sa odgovarajućim literaturnim podacima dobijenim na drugim oblicima SiO_2 tj. na kvarcu i silikagelu. Konstatovane razlike pripisane su razlikama u kristalnim strukturama izučavanih SiO_2 kao i različitim koncentracionim opsezima u kojima je izučavana sorpcija.

4. Sva merenja koja se odnose na površinsko naelektrisanje koloidnog silicijumdioksida u prisustvu jona alkalnih metala, sumirana su i poredjena sa odgovarajućim literaturnim podacima za različite oblike SiO_2 (kvarc, gel, sol). Pokazano je, da ne postoji značajnija razlika u gustini površinskog naelektrisanja kod silicijumdioksida sledećih oblika: neporozno-taložnih, pirogenih i koloidnih. Time je indirektno dokazana neporoznost primarnih čestica korišćenog koloidnog silicijumdioksida.

5. Stabilnost koloidnog silicijumdioksida ispitivana je u prisustvu hlorida i sulfata alkalnih metala pri različitim pH vrednostima. Eksperimentalni podaci su pokazali da nema razlike u stabilnosti izmedju pripremljenog koloidnog SiO_2 i odgovarajućeg komercijalnog proizvoda. Zaključeno je, da sve metode za ispitivanje stabilnosti koloidnog SiO_2 daju identične rezultate.

Izraženi uticaj anjona na stabilnost koloidnog SiO_2 objašnjen je pomoću koeficijenata aktivnosti jona alkalnih metala u korišćenim rastvorima. Pokazano je da koagulacija koloidnog SiO_2 pomoću katjona alkalnih metala ne zavisi od veličine čestica SiO_2 u ispitivanoj oblasti (8-15 nm).

Kombinovanjem rezultata o stabilnosti koloidnog SiO_2 i sorpciji jona alkalnih metala utvrđena je uzajamna povezanost ove dve veličine. Ova zavisnost ukazuje na to da stabilnost

koloidnog silicijumdioksida opada kao rezultat dehidratacije površine čestica SiO_2 pri sorpciji jona.

6. Koagulacijom koloidnog SiO_2 pomoću odgovarajućeg elektrolita dobijeni su prahovi SiO_2 u H-, Li-, Na-, K- i Cs - obliku. Karakterizacija pripremljenih prahova izvedena je na osnovu rezultata odredjivanja kristalne strukture, specifične površine i količine sorbovanog jona.

Dobijeni prahovi poslužili su za izučavanje adsorpcije niza organskih jedinjenja i odredjivanje toplote kvašenja u vodi.

7. Hromatografija gas-čvrsto, kao precizna i brza metoda, je primenjena za odredjivanje koeficijenata raspodele izučavanih adsorbata sa različitim prahovima SiO_2 . Vrednosti koeficijenata raspodele pri različitim temperaturama su dalje korištene za izračunavanje termodinamičkih veličina procesa adsorpcije. Dobijene termodinamičke veličine diskutovane su u svetlu mogućih interakcija adsorbat-adsorbent.

Ovim radom je pokazano da je čvrsti SiO_2 , dobijen iz koloidnog materijala, odličan adsorbent za hromatografiju gas - čvrsto.

8. Toplote kvašenja vodom prahova silicijumdioksida dobijenih iz koloidnog SiO_2 odredjene su, direktnom, kalorimetrijskom metodom. Nadjeno je da toplota kvašenja uzorka SiO_2 u H-obliku ne zavisi od temperature termičkog tretmana u oblasti od 483 do 873 K. Pokazano je, da se toplota kvašenja može koristiti za relativno odredjivanje specifične površine prahova istog materijala različite disperznosti. Takodje je utvrđeno da specifična površina ispitivanih uzorka ostaje konstantna, u okviru eksperimentalne greške, u navedenom temperaturnom opsegu.

Zaključeno je, da zavisnost toplote kvašenja u funkciji temperature tretmana, u atmosferi vazduha, nema izraženi

maksimum. Analizom dobijenih kao i literaturnih podataka pokazano je da se maksimum dobija samo ako se uzorci silicijumdioksida termički tretiraju u vakuumu.

9. Praćenje uticaja termičkog tretmana na promenu kristalne strukture uzorka SiO_2 u H-obliku vršeno je rentgenskom metodom. Pokazano je da polazni prah SiO_2 ima amorfnu strukturu. Pojava difrakcionih linija kod materijala žarenog pri 1573 K ukazuje na prelaz amorfne u kristalnu strukturu, tačnije u α -kristobalit. Potpuni prelaz dešava se tek pri temperaturi od 1573 do 1673 K. Ovako visoka temperatura prelaza amorfne u kristalnu strukturu postignuta je zahvaljujući čistoći izučavanih prahova. Ovakvo ponašanje amorfног silicijumdioksida, koliko je nama poznato, nije do sada saopšteno u literaturi i od posebnog je značaja za odredjene industrije.

10. Deo eksperimentalnih rezultata iz okvira ove doktorske disertacije publikovan je u obliku šest radova u inostranim časopiscima /266-271/, čime se potvrđuje da su ovi rezultati prihvaćeni u naučnoj literaturi.

Svi rezultati, do kojih smo došli u ovom radu, imaju fundamentalni i praktični značaj. Fundamentalni značaj se sastoji u tome što dobijeni rezultati daju značajan doprinos teoriji i termodinamici sorpcionih procesa. Rezultati su, takođe, od praktičnog značaja jer pokazuju da se koloidni silicijumdioksid kao i prahovi dobijeni iz ovog materijala mogu uspešno koristiti kao sorbent, osnova za izradu katalizatora i u livanstvu.

C O N C L U S I O N

Colloidal silica, the production of which has been patented all over the world, has a remarkable application in over a hundred different industrial branches. Laboratory process, which can serve as a basis for an industrial production of this important material, has been developed in this work, solely on the basis of available literature data and personal contacts. A complete characterization of initial, intermediate and final product has been made. Experimental data unambiguously suggest that the quality of the colloidal silica obtained, fully corresponds to the quality of the products commercially available from the leading world companies.

This work is devoted to a better understanding of the sorption properties of colloidal silica and solids obtained from it. Accordingly, we intended to fulfill the following goals: to examine the sorption of alkali metals from aqueous solutions, sorption of a numerous organic compounds on the solid materials obtained by coagulation from the colloidal silica, to study the stability of the colloidal silica in the presence of alkali metal ions and, finally, to determine the heat of immersion of powders obtained from colloidal silica.

1. The sorption of alkali metal ions from aqueous solutions on colloidal silica, has been studied at 298 K using the potentiometric titration method. Due to the considerable solubility of the colloidal silica, at the elevated pH values, the limit of the method used had to be determined. The application of the potentiometric titration method has been critically reconsidered with special regard to the literature data concerning the region in which dissolution process is a dominant one. The obtained hysteresis on the sorption-desorption curves, is explained in view of significant solubility of the colloidal silica at the particular pH region. Alkali metal ion

selectivity sequence corresponds to the Hofmeister series, i.e. for the cations of the same charge the sorption affinity decreases with the increased hydrated radii, and this is valid for the lower electrolyte concentrations and low pH values.

A change in alkali metal ion sorption sequence has been found at the given pH values as a consequence of both ion concentration and pH values of the solution. Such a behaviour was successfully explained taking into account activities of the cations studied. On the basis of these data, it is possible to predict the sorption sequence of alkali metal ions on the colloidal silica surface, and to our opinion on other SiO_2 forms as well, taking into consideration the electrolyte concentration and pH of the solution. We do think that the solution composition is of great importance for the sorption properties of other inorganic oxides, the matter of which should be accepted as a suggestion for further investigations.

2. The alkali metal ion sorption process on the colloidal silica has been quantitatively interpreted using the model proposed by Davis, James and Leckie. The model was given for the analysis of oxide/aqueous solution interface. The obtained silanol group ionization constants have similar values to the corresponding stability constants of the complexes formed between colloidal silica surface and ions studied. The calculated constants present the first literature data for the system colloidal silica/electrolyte interface. Numerical values reported will contribute to a better understanding of the oxide/aqueous electrolyte model, and further development of the electrical double layer theory of inorganic oxides.

3. The temperature influence of the sorption of Li^+ and Cs^+ - ions on colloidal silica, has been studied in the interval from 284 to 323 K. Already mentioned Davis-James-Leckie model has been employed in calculating the silanol group dissociation and the surface complex stability constants.

The surface complex stability constants were used

for determination of free energy, enthalpy and entropy of the sorption process studied. Obtained thermodynamic data were compared to the literature ones for different SiO_2 forms, like quartz and silicagel. The observed differences were ascribed to the different crystalline structures of the SiO_2 examined, as well as to the different concentration regions employed in the sorption experiments.

4. All the measurements referring to the colloidal silica surface charge density in the presence of alkali metal ions, have been summarized and compared to the available data reported for different SiO_2 forms (quartz, gel, sol). It has been shown that there are no significant differences in surface charge density for different silica forms such as: nonporous-precipitated, pyrogenic and colloidal. In such a way, non-porosity of the primary particles of the used colloidal silica, has been indirectly proved.

5. Colloidal silica stability has been studied in the presence of chloride and sulfate alkali metal ions at different pH values. No differences in stability of commercial and laboratory made colloidal silica have been found. It has been concluded that all the methods used in stability studies offer the identical results.

The significant role of anion on the colloidal silica stability, has been explained by the alkali metal ions activity. Further, it was shown that coagulation of colloidal silica by alkali metals did not depend on the particle size, in the studied region from 8 to 15 nm.

Interrelation between the sorption of alkali metal ions and the colloidal silica stability has been established. Colloidal silica stability decreases as a result of SiO_2 surface dehydration caused by the sorption process.

6. Colloidal SiO_2 in the H-, Li-, Na-, K- and Cs-form has been obtained by colloidal silica coagulation with the corresponding electrolyte. Solids obtained were defined on

the results of crystalline structure, specific surface area and amount of sorbed ion analyses. So defined solids were used in the organic adsorption and heat of immersion studies.

7. Gas-solid chromatography was used for determination of the organic sorbates distribution coefficients on different SiO_2 beads. Distribution coefficients on various temperatures were further employed in calculation of the thermodynamic parameters for the sorption process studied. Thermodynamic values were discussed in the light of possible adsorbent-adsorbate interactions. It was shown that solid SiO_2 , obtained from colloidal material, represented an excellent adsorbent for gas-solid chromatography.

8. Heat of immersion of silica powders in water was determined by a direct, calorimetric method. It was found that the heat of immersion of SiO_2 samples in H-form did not depend on the applied thermal treatment, temperature region between 483 and 873 K. The results obtained illustrate that the heat of immersion can be used for specific surface area determination. The method is relative and is valid for the powders of the same origin but of different dispersivity. Also, it was found that the specific surface area of the studied samples remained constant, with the range of experimental errors, regardless the thermal treatment applied.

It was concluded that the heat of immersion as a function of thermal treatment temperature (air atmosphere) did not exhibit a maximum. Our data, together with literature information, indicate that the maximum is obtainable only if SiO_2 samples are thermally treated under vacuum.

9. The change in crystallinity, as a result of thermal treatment applied, was recorded for SiO_2 sample in H-form using the X-ray diffraction method. Initial sample is amorphous, the first indication of crystalline structure is observed on the sample treated at 1573 K, suggesting a transformation to the α -crystobalite. Complete transformation was noted

in the range 1573-1673 K. Very high transformation temperature is achieved due to purity of the synthetized SiO_2 . Such a high phase transformation temperature of amorphous silica obtained from colloidal SiO_2 , to our best knowledge, has not been previously reported in literature, and is of particular interest for some industries.

10. A part of the experimental results presented in the Thesis was reported in the form of six publications /266-271/ confirming that the results obtained have been accepted in the scientific community.

Results within the Thesis are both of fundamental and practical meanings. From the fundamental standpoint, results obtained contribute to the theory of thermodynamics and sorption processes. The results are also of practical importance since they indicate a possible use of colloidal silica and solid materials obtained from it as: adsorbents, catalyst bases and binders in the precision foundry industry.

7. L I T E R A T U R A

1. B.N.Laskorin, V.V.Strelko, D.N.Stražesko i V.I.Denisov, *Sorbenti na osnove stlikagelja v radiohimii. Himičeskie svojstva. Primenenie*, Atomizdat, Moskva, 1977.
2. K.K.Unger, *Porous silica*, J.Chrom.Library 16, Elsevier, Amsterdam, 1979.
3. R.K.Iller, *Colloidal silica in Surface and Colloid Science*, vol. 6, Ed.E.Matijević, Interscience, New York, 1973, pp. 1-100.
4. P.G.Bird, U.S.Patent 2,244,325 (National Aluminate Co.), 1941.
5. M.F.Bechtold i O.E.Snyder, U.S.Patent 2,574,902 (E.I. du Pont de Nemours & Co.), 1951.
6. W.Stumm, H.Hohl i F.Daland, *Croat.Chem.Acta*, 48, 491(1976).
7. J.Lyklema, *Croat.Chem.Acta*, 43, 249 (1971).
8. Th.F.Tadros i J.Lyklema, *J.Electroanal.Chem.*, 17, 267 (1968).
9. Th.F.Tadros i J.Lyklema, *J.Electroanal.Chem.*, 22, 1 (1969).
10. J.Lyklema, *J.Elektroanal.Chem.*, 18, 341 (1968).
11. J.W.Perram, *J.Chem.Soc.Faraday II*, 69, 993 (1973).
12. J.W.Perram, R.J.Hunter i H.J.L.Wright, *Austr. J.Chem.*, 27, 461 (1974).
13. S.Levine, A.L.Smith i A.C.Brett, VI th Int.Congr.Surface Active Agents, Zurich, 1972 (Hanser,Munich), p.603
14. J.W.Perram, R.J.Hunter i H.J.L.Wright, *Chem.Phys.Lett.*, 23, 265 (1973).
15. M.J.Dignam, *Can.J.Chem.*, 56, 595 (1978).
16. A.Breeuwsma, *Adsorption of Ions on Hematite (α -Fe₂O₃)*, Ph.D. Thesis, Agricul.Univ.of Wageningen, Meded.Landbouwhogesch. 73-1 (1973).
17. S.Levine i L.Smith, *Disc.Faraday Soc.*, 52, 290 (1971).

18. D.E.Yates,S.Levine i T.W.Healy, J.Chem.Soc.Faraday I, 70, 1807 (1974).
19. G.R.Wiese,R.O.James i T.W.Healy,Disc.Faraday Soc., 52,302 (1971).
20. R.J.Hunter i H.J.L.Wright,J.Colloid Interface Sci., 37,564 (1971).
21. Y.G.Berube i P.L.de Bruyn, J.Colloid Interface Sci., 28,92 (1968).
22. L.Blok i P.L.de Bruyn,J.Colloid Interface Sci., 32, 518 (1970).
23. L.Blok i P.L.de Bruyn,J.Colloid Interface Sci., 32, 527 (1970).
24. L.Blok i P.L.de Bruyn,J.Colloid Interface Sci., 32, 533 (1970).
25. J.W.Bowden, M.D.A.Boland,A.M.Posner i J.P.Quirk, Nature Phys. Sci., 245, 81 (1973).
26. H.J.L.Wright i R.J.Hunter,Austr.J.Chem.,26,1183 (1973).
27. H.J.L.Wright i R.J.Hunter,Austr.J.Chem., 26, 1191 (1973).
28. D.Chan,J.W.Perram,L.R.White i T.W.Healy,J.Chem.Soc. Faraday I, 71, 1046 (1975).
29. T.W.Healy i L.R.White, Advan. Colloid Interface Sci., 9,303 (1978).
30. W.Stumm, R.Kummert i L.Sigg,Croat.Chem.Acta,53,291(1980).
31. M.A.Anderson i D.T.Molotky, J.Colloid Interface Sci., 72, 413 (1979).
32. P.W.Schindler,B.Fürst,R.Dick i P.U.Wolf,J.Colloid Interface Sci.,55,469 (1976).
33. J.A.Davis,R.O.James i J.O.Leckie,J.Colloid Interface Sci., 63, 480 (1978).
34. J.A.Davis i J.O.Leckie, J.Colloid Interface Sci., 67, 90 (1978).
35. J.A.Davis i J.O.Leckie,J.Collid Interface Sci., 74, 32 (1980).
36. J.A.Davis i J.O.Leckie, *Chemical Modelling-Speciation, Sorption, Solubility and Kinetics in Aqueous Systems*, ACS Symposium Series 93, Ed.E.A.Jenné, chap.15,1979.

37. P.L. de Bruyn i G.E. Agar, *Surface Chemistry of Flotation*, in *Froth Flotation 50 th Anniversary volume*, chap. 5. AIME, New York, 1962.
38. G.A. Parks i P.L. de Bruyn, *J.Phys.Chem.*, 66, 967 (1962).
39. P.Delahej, *Dvojnoj sloj i kinetika elektrodnih procesov*, Mir, Moskva, 1967.
40. E.J. King, *Acid-Base Equilibria*, Pergamon Press Inc., New York, 1965.
41. F.Helfferich, *Ion Exchange*, McGraw-Hill, New York, 1962.
42. Č.Tenford, *Fizičeskaja himija polimerov*, per.s angl., Himija, Moskva, 1965.
43. F.E.Bartel i Y.Fu, *J.Phys.Chem.*, 33, 676 (1929).
44. R.K.Ajler, *Kolloidnaja himija kremnezjoma i silikatov*, Promstrostojzdat, Moskva, 1959.
45. A.P.Dušina, V.B.Aleskovskij, *Silikagelj-neorganičeskij kat-ionit*, Goshimizdat, Lenjingrad, 1963.
46. S.I.Koljcov, V.B.Aleskovskij, *Silikagelj, evo stroenie i svojstva*, Goshimizdat, Lenjingrad, 1963.
47. I.E.Nejmark, R.Ju.Šejnfajn, *Silikagelj, evo polučenie, svojstva i primenie*, Naukova dumka, Kiev, 1973.
48. R.K.Iler, *The chemistry of Silica-Solubility, Polymerization, Colloid and Surface Properties and Biochemistry*, John Wiley and Sons, New York, 1979.
49. V.A.Kargin, *Uspehi himii*, 8, 998 (1939).
50. I.E.Nejmark, R.Ju.Šejnfajn, *Kolloidn. ž.*, 15, 45 (1953).
51. B.P.Nikoljskij, A.M.Trofimov, G.G.Panfilova, *Radiohimija*, 3, 283 (1959).
52. M.A.Malati i S.F.Estefan, *Chem.Ind.*, 704 (1975).
53. S.F.Estefan i M.A.Malati, *Recent Adv.Sci.and Techn.Mater.*, vol.1, Plenum, New York, 1974, pp.351-364.
54. M.A.Malati i S.F.Estefan, *J.Colloid Interface Sci.*, 22, 306 (1966).
55. M.A.Malati i S.F.Estefan, *J.Appl.Chem.*, 17, 209 (1967).
56. L.A.Beljakova, V.G.Ilijin, *Adsorbcija i adsorbenti*, vip. 4, Naukova dumka, Kiev, 1976, str. 49.

57. L.A.Beljakova i V.G.Illjin, TEH,11, 337(1975).
58. T.W.Healy,R.O.James i R.Cooper,Advan.Chem.Ser.,79,62(1968).
59. R.O.James i M.G.NacNaughton,Geochim.Cosmochim.Acta,41,1549 (1977).
60. M.G.MacNaughton i R.O.James,J.Colloid Interface Sci.,47, 431 (1974).
61. R.O.James i T.W.Healy,J.Colloid Interface Sci.,40,42(1972).
62. R.O.James i T.W.Healy,J.Colloid Inteface Sci., 40,65(1972).
63. R.O.James i T.W.Healy, J.Colloid Interface Sci., 40,53 (1972).
64. M.P.Sidorova,I.B.Dmitrieva i T.P.Golub,Koloidn.ž.,41,488 (1979).
65. C.R.Alexander Clauss i K.Weiss,J.Colloid Interface Sci.,61, 577(1977).
66. S.A.Greenberg,J.Phys.,Chem.,60,325(1956).
67. A.S.Plačinda,V.M.Čertov i I.E.Nejmark,Ukr.him.ž.,31,567 (1965).
68. W.Smit,C.L.M.Holten,H.N.Stein,J.J.M.De Goeij i H.M.J.Theelen, J.Colloid Interface Sci., 63,120(1978).
69. W.Smit,C.L.M.Holten,H.N.Stein,J.J.M.De Goeij i H.M.J.Theelen,J.Colloid Interface Sci., 67,397 (1978).
70. R.H.Doremus,J.Colloid Interface Sci.,72,347 (1979).
71. W.Smit,J.Colloid Inteface Sci.,72,349 (1979).
72. R.P.Abendroth,J.Colloid Interface Sci.,34,591 (1970).
73. R.P.Abendroth,J.Phys.Chem.,76,2547 (1972).
74. H.T.Tien,J.Phys.Chem.,69,350(1965).
75. S.Ahrland, I.Grenthe i B.Noren,Acta Chem.Scand.,14,1059 (1960).
76. S.Ahrland,I.Grenthe i B.Noren,Acta Chem Scand., 14,1077 (1960).
77. D.L.Dugger,J.H.Stanton,B.N.Irby,B.L.McConnell,W.W.Cummings i R.W.Maatman, J.Phys.Chem.,68,757 (1964).
78. J.Stanton i R.W.Maatman,J.Colloid Sci.,18,132 (1963).

79. B.L.McConnell, K.C.Williams, J.L.Daniel, J.H.Stanton, B.N.Irby, D.L.Dugger i R.W.Maatman, *J.Phys.Chem.*, 68, 2941(1964).
80. J.Stanton i R.W.Maatman, *J.Colloid Sci.*, 18, 878(1963).
81. R.W.Dalton, J.L.McClanahan i R.W.Maatman, *J.Colloid Sci.*, 17, 207 (1962).
82. D.N.Strazhesko, V.B.Strelko, V.N.Belyakov i S.C.Rubanik, *J.Chromatogr.*, 102, 191 (1974).
83. S.K.Rubanik, A.A.Baran, D.N.Stražesko i V.V.Strelko, *Teor. i eksperim. himia*, 5, 361 (1969).
84. V.V.Strelko, V.N.Beljakov, S.K.Rubanik i D.N.Stražesko, *Adsorbcija i adsorbenti*, vip.3, Naukova dumka, Kiev, 1975, str.64.
85. V.N.Beljakov, V.A.Kanibolockij i V.V.Strelko, *Ukr.him.ž.*, 43, 28(1977).
86. V.N.Beljakov, *Avtoreferat kand.diss.*, ANUSSR, Inst.Fizičeskoj himii im. L.V.Pisarževskovo, Kiev, 1974.
87. A.P.Dušina, *Avtoreferat dokt.disertacii*, LTI im.Lensoveta, Lenjingrad (1968).
88. A.Kozawa, *J.inorg.nucl.chem.*, 21, 315(1961).
89. A.Kozawa, S.C.Paterniti i T.A.Reilly, *Proceedings of the symposium on Oxide-Electrolyte Interface*, Ed.R.S.Alwitt, The Electrochemical Society, Inc., 72 (1973).
90. E.A.Nečaev i E.V.Kan, *Koloidn.ž.*, 41, 71(1979).
91. E.A.Nečaev i V.P.Romanov, *Koloidn.ž.*, 36, 1095 (1974).
92. P.W.Schindler i H.R.Kamber, *Helv.Chim.Acta*, 51, 1781(1968).
93. P.W.Schindler, E.Wälti i B.Fürst, *Chimia*, 30, 107(1976).
94. A.C.M.Bourg i P.W.Schindler, *Inorg.Nucl.Chem.Letters*, 15, 225 (1979).
95. H.H.Hahn i W.Stumm, *Adv.Chem.Series*, 79, 91 (1968).
96. L.H.Allen, E.Matijević i L.Meites, *J.Inorg.Nucl.Chem.*, 33, 1293 (1971).
97. L.H.Allen i E.Matijević, *J.Colloid Interface Sci.*, 33, 420(1970).
98. S.M.Ahmed, *Electrical Double Layer at Metal Oxide-Solution Interfaces, in Oxide and Oxide Films*, vol.II, Ed.J.W.Diggle, Marcel Dekker, New York, 1973, pp.319-517.

99. G.H.Bolt, J.Phys.Chem., 61, 1166 (1957).
100. Y.G.Berube i P.L.de Bruin, J.Colloid Interface Sci., 27, 305 (1968).
101. W.H.Koh, J.Colloid Interface Sci., 71, 613 (1979).
102. J.Lyklema, Disc.Faraday Soc., 52, 318 (1971).
103. A.Breeuwsma i J.Lyklema, Disc.Faraday Soc., 52, 324 (1971).
104. G.A.Parks, Chem.Rev., 65, 177 (1965).
105. S.M.Ahmed, Can.J.Chem., 44, 1663 (1966).
106. M.P.Sidorova, N.A.Kibirova i I.B.Dmitrieva, Kolloidn.ž. 41, 277 (1979).
107. Z.M.Zorin, V.P.Romanov i N.V.Čuraev, Koloidn.ž., 41, 1066 (1979).
108. E.Chibowski, J.Colloid Interface Sci., 69, 326 (1979).
109. H.A.Elliott i C.P.Huang, J.Colloid Interface Sci., 70, 29, (1979).
110. M.P.Sidorova, L.A.Semina, M.A.Fazilova i D.A.Fridrihsberg, Koloidn.ž., 38, 722 (1976).
111. S.G.de Bussetti, M.Tschapek i A.K.Helmy, J.Electroanal. Chem., 36, 507 (1972).
112. J.Eisenlauer i E.Killman, J.Colloid Interface Sci., 74, 108 (1980).
113. E.A.Nečaev i G.V.Zvonareva, Koloidn.ž., 42, 511 (1980).
114. J.Beneš, Collection Czechoslov.Chem.Commun., 44, 1552 (1979).
115. M.Robinson, J.A.Pask i D.W.Fuerstenau, J.Amer.Cer.Soc., 47, 516 (1964).
116. S.M.Ahmed, Can.J.Chem., 44, 2769 (1966).
117. D.E.Yates i T.W.Healy, J.Colloid Interface Sci., 55, 9 (1976).
118. M.P.Sidorova, J.Lyklema i D.A.Fridrihsberg, Koloidn.ž., 38, 716 (1976).
119. Z.Z.Visockij, V.I.Danilov i V.V.Strelko, Uspehi sovrem.biol., 63, 362 (1967).
120. V.K.La Mer i T.W.Healy, Rev.Pure Appl.Chem., 13, 112 (1963).
121. E.Matijević i L.H.Allen, Envir.Sci.Technol., 3, 264 (1969).

122. J.Depasse i A.Watillon, *J.Colloid Interface Sci.*, 33, 430 (1970).
123. L.H.Allen i E.Matijević, *J.Colloid Interface Sci.*, 31, 287 (1969).
124. L.H.Allen i E.Matijević, *J.Colloid Interface Sci.*, 35, 66 (1971).
125. E.Matijević, *J.Colloid Interface Sci.*, 43, 217 (1973).
126. D.R.Harding, *J.Colloid Interface Sci.*, 35, 172 (1971).
127. J.Lyklema, *Croat.Chem.Acta*, 50, 77 (1977).
128. J.Depasse i J.Warlus, *J.Colloid Interface Sci.*, 56, 618 (1976).
129. J.A.Kitchener, *Disc.Faraday Soc.*, 52, 379 (1971).
130. M.Tschapek i R.M.Tores Sanchez, *J.Colloid Interface Sci.*, 54, 460 (1976).
131. E.Matijević, F.J.Mangravite, Jr., i E.Alan Cassell, *J.Colloid Interface Sci.*, 35, 560 (1971).
132. E.Matijević, R.Brace i A.Bleier, *Proc.Symp.on Oilfield Chemistry, Soc. Petroleum Engrs.AIME, Denver, Colo.*, 1973, pp.151-158.
133. P.McFadyen i E.Matijević, *Kolloid.Z. u Z.Polymer*, 251, 665 (1973).
134. R.Brace i E.Matijević, *Colloid and Polymer Sci.*, 255, 153 (1977).
135. C.R.O'Melia i W.Stumm, *J.Colloid Interface Sci.*, 23, 437 (1967).
136. W.Stumm i C.R.O'Melia, *J.Am.Water Works Assoc.*, 60, 514 (1968).
137. H.H.Hahn i W.Stumm, *J.Colloid Interface Sci.*, 28, 134 (1968).
138. A.Bleier i E.Matijević, *J.C.S.Transactions I*, 74, 1346 (1978).
139. J.R. Conder i C.L.Young, *Physicochemical Measurement by Gas Chromatography*, Wiley-Interscience, New York, 1979, pp.430-458.
140. R.J.Laub i R.L.Pecsok, *Physicochemical Applications of Gas Chromatography*, Wiley-Interscience, New York, 1978, pp.213-233.
141. D.T.Sawyer i D.J.Brookman, *Anal.Chem.*, 40, 1847 (1968).

142. A.V.Kiseljev i Ja.I.Jašin, *Gazo-adsorbcionaja hromatografija*, Nauka, Moskva, 1967.
143. H.W.Habgood i J.F.Hanlan, *Can.J.Chem.*, 37, 843 (1959).
144. N.H.C.Cooke; E.F.Barry i B.S.Solomon, *J.Chromatogr.*, 109, 57 (1975).
145. Ja.I.Jašin, *Fizičko-hemičeskie osnovi hromatografičeskovo razdelenija*, Himija, Moskva, 1976.
146. A.V.Kiseljev i dr., *Fizičko-hemičeskoe primenenie gazovoj hromatografiji*, Himija, Moskva, 1973.
147. C.S.G.Phillips i C.G.Scott, in *Progres in Gas Chromatography*, Ed.J.H.Purnell, Wiley-Interscience, New York, 1968, pp. 121-152.
148. S.A.Greene i H.Pust, *J.Phys.,Chem.*, 62, 55 (1958).
149. N.H.C.Cooke i E.F.Barry, *J.Chromatogr.*, 101, 175 (1974).
150. D.F.Cadogan i D.T.Sawyer, *Anal.Chem.*, 43, 941 (1971).
151. D.J.Brookman i D.T.Sawyer, *Anal.Chem.*, 40, 2013 (1968).
152. D.F.Cadogan i D.T.Sawyer, *Anal.Chem.*, 42, 190 (1970).
153. J.P.Okamura i D.T.Sawyer, *Anal.Chem.*, 43, 1730 (1971).
154. J.N.Gerber i D.T.Sawyer, *Anal.Chem.*, 44, 1199 (1972).
155. A.V.Kiselev, *Disc.Faraday Soc.*, 40, 205 (1965).
156. C.L.Guillemin, M.Le Page, R.Bean i A.J. de Vries, *Anal. Chem.*, 39, 940 (1967).
157. C.L.Guillemin, M.Le Page i A.J.de Vries, *J.Chromatogr.Sci.*, 9, 470 (1971).
158. C.L.Guillemin, M.Deleuil, S.Cirendini i J.Vermont, *Anal. Chem.*, 43, 2015 (1971).
159. S.Cirendini, J.Vermont, J.C.Gressin i C.L.Guillemin, *J.Chromatogr.*, 84, 21 (1973).
160. C.L.Guillemin, *J.Chromatogr.*, 158, 21 (1978).
161. L.Feltl i E.Smolkova, *J.Chromatogr.*, 65, 249 (1972).
162. L.Feltl, P.Lutovský, L.Sosnová i E.Smolkova, *J.Chromatogr.*, 91, 321 (1974).
163. E.Smolkova i L.Feltl, 6th Congress CHISA, Praha, Czechoslovakia, August 21-25, 1978.

164. I.Ju.Babkin,A.V.Kiselev i A.Ja.Karoljev, DANSSSR,136,373 (1961).
165. A.V.Kiselev,N.V.Kovaleva i Yu.S.Nikitin,J.Chromatogr.,58, 19(1971).
166. A.V.Kiseljev,T.A.Kotoljnikova,Ju.S.Nikitin i M.V.Cilipot-kina, Koloidn.Ž.,40,865(1978).
167. A.G.Datar i P.S.Ramanathan,J.Chromatogr.,114,29(1975).
168. A.V.Kiselev,J.Chromatogr.,49,84(1970).
169. A.C.Makrides i N.Hackerman,J.Phys.Chem.,63,594 (1959).
170. J.W.Whalen, *Solid Surfaces and the Gas-Solid Interface*, Eds.L.E. Capeland et al., Advan.Chem.Ser.,No. 33,281(1961).
171. T.Morimoto,K.Shiomi i H.Tanaka,Bull.Chem.Soc.Japan,37,392 (1964).
172. A.J.Tyler,J.A.G.Taylor,B.A.Pethica i I.A.Hockey,Trans. Faraday Soc.,67,483(1971).
173. Application Note LKB, 65 MLB/an-25, February 1,1974.
174. R.Sh.Mikhail, A.M.Khalil i S.Nashed,Thermochim.Acta,24,383 (1978).
175. A.M.Khalil, J.Colloid Interface Sci.,66,509(1978).
176. M.M.Jegorov,V.F.Kiseljev, K.G.Krasiljnikov i V.V.Murina, Ž.fiz.himii,33,65(1959).
177. M.M.Jegorov,K.G.Krasiljnikov i E.A.Sisoev,DANSSSR,108,103 (1956).
178. G.J.Young i T.P.Bursh,J.Colloid Sci.,15,361(1960).
179. S.Partyka,F.Rouquerol i J.Rouquerol, J.Colloid Interface Sci., 68,21(1979).
180. F.Bartell i R.M.Suggitt,J.Phys.Chem.,58,36(1954).
181. A.C.Zettlemoyer,J.J.Chessick i C.M.Hollabaugh,J.Phys.Chem. 62, 489(1958).
182. C.A.Guderjahn,D.A.Paynter,P.E.Berghausen i R.J.Good,J.Phys. Chem., 63,2066(1959).
183. W.H.Wade,R.L.Every i N.Hackerman,J.Phys.Chem.,64,355(1960).
184. J.W.Whalen,J.Phys.Chem.,65,1676(1961).
185. J.W.Whalen,J.Phys.Chem.,66,511(1962).

186. W.H.Wade i N.Hackerman, *Contact Angle, Wetability and Adhesion*, *Advan.Chem.Ser.*, No.43, 222 (1964).
187. J.A.G.Taylor i J.A.Hockey, *J.Phys.Chem.*, 70, 2169 (1966).
188. S.Kondo, H.Fujiwara, T.Ichii i I.Tsuboi, *J.C.S.Faraday I*, 75, 646 (1979).
189. Y.Kang, J.A.Skiles i J.P.Wightman, *J.Phys.Chem.*, 84, 1448 (1980).
190. T.S.Jegorova, Ju.A.Zarifjanc, V.F.Kiseljev, K.G.Krasiljnikov i V.V. Murina, *Ž.fiz.himii*, 36, 1458 (1962).
191. M.M.Jegorov i V.F.Kiseljev, *Ž.fiz.himii*, 31, 318 (1962).
192. L.G.Ganičenko, V.F.Kiseljev, K.G.Krasiljnikov i V.V.Murina, *Ž.fiz.himii*, 35, 1718 (1961).
193. M.M.Jegorov, K.G.Krasiljnikov i V.F.Kiseljev, *Ž.fiz.hemii*, 32, 2448 (1958).
194. S.Brunauer, D.L.Kantro i C.H.Weise, *Can.J.Chem.*, 34, 1483 (1956).
195. V.F.Kiseljev, *Poverhnostnie javlenija v poluprovodnikah i dielektrikah*, Nauka, Moskva, 1970.
196. W.H.Wade, H.D.Cole, D.E.Meyer i H.Hackerman, *Solid Surfaces and the Gas-Solid Interface*, *Advan.Chem.Ser.*, No.33, 35 (1961).
197. M.L.Hair, *Infrared Spectroscopy in Surface Chemistry*, Dekker, New York, 1967.
198. S.A.Jegorova, N.E.Bolotina, I.K.Kučkaeva i S.M.Rahovskaja, *Koloidn.Ž.* 41, 1173 (1979).
199. D.W.Clelland i P.D.Ritchie, *J.Appl.Chem.*, 2, 31 (1952).
200. D.W.Clelland i P.D.Ritchie, *J.Appl.Chem.*, 2, 42 (1952).
201. P.B.Dempsted i P.D.Ritchie, *J.Appl.Chem.*, 3, 182 (1953).
202. J.G.Gibb, P.D.Ritchie i J.W.Sharpe, *J.Appl.Chem.*, 3, 213 (1953).
203. G.B.Alexander i R.K.Iller, *J.Phys.Chem.*, 57, 932 (1953).
204. Ju.G.Frolov, N.A.Šabanova, V.V.Leskin i A.I.Pavlov, *Koloidn.Ž.*, 38, 1205 (1976).
205. M.A.Matveev i N.A.Gludina, *Tr.MHTI im.D.I.Mendeljeeva*, 21, 49 (1956).

206. V.E.Sokolović, Zavodskaja laboratoriya, 29, 1178 (1963).
207. G.W.Sears, Jr., Anal.Chem., 28, 1981 (1956).
208. W.Slavin, *Atomic Absorption Spectroscopy*, Interscience, New York, 1968.
209. S.Milonjić, R.Stevanović i M.Kopečni, Hem.ind., 31, 642 (1977)
210. S.K.Milonjić, M.M.Kopečni i R.A.Djerki, Izv.VUZ,Himija i Him.Tehnologija, 21, 1144 (1978).
211. J.M.Sturtevant, *Calorimetry*, in *Physical Methods of Organic Chemistry*, vol.I, part. I, Ed.A.Weissberger, Interscience, New York, 1949.
212. V.A.Sokolov, V.P.Kolesov i A.F.Vorobjev, Ž.fiz.himii, 39, 1298 (1965).
213. W.Stumm i J.J.Morgan, *Aquatic Chemistry, An Introduction Emphasizing Chemical Equilibria in Natural Waters*, Wiley-Interscience, New York, 1970.
214. G.B.Alexander, W.M.Heston i R.K.Iler, J.Phys.Chem., 58, 453 (1954).
215. S.A.Greenberg i E.W.Price, J.Phys.Chem., 61, 1539 (1957).
216. E.Matijević, J.Colloid Interface Sci., 31, 437 (1969).
217. Ju.G.Frolov i V.P.Nikolaev, Tr.MHTI im.D.I.Mendeljeeva, 58, 1968, str.64.
218. Ju.G.Frolov, Mežvuzovsk.Sb. *Termodinamika i stroenie rastvorov*, vip.1.1973.str.28.
219. R.Robinson i R.Stoks, *Rastvori elektrolitov*, per.s angl., IL, Moskva, 1963.
220. N.A.Izmajlov, *Elektrohimija rastvorov*, Himija, Moskva, 1976
221. T.Hurlen, Acta Chem.Scand., A 33, 631 (1979).
222. R.A.Robinson i H.S.Harned, Chem. Rev., 28, 419 (1941).
223. Th.F.Tadros, Disc.Faraday Soc., 52, 372 (1971).
224. M.A.Malati, S.F.Estefan, Disc.Faraday Soc., 52, 377 (1971).
225. Th.F.Tadros i J.Lyklema, J.Electroanal.Chem., *Interfacial Electrochem.* 22, 9 (1969).
226. W.M.Heston, Jr., R.K.Iler i G.W.Sears, Jr., J.Phys.Chem., 64, 147 (1960).

227. V.M.Čertov,D.B.Džambaeva,A.S.Plačinda i I.E.Nejmark,
Ž.fiz.hemii, 40,520(1966).
228. R.K.Iler,J.Colloid Interface Sci.,55,25(1976).
229. D.Himelblau, *Analiz procesov statističeskimi metodami*,
per.s angl., Mir,Moskva, 1973, str. 232.
230. R.O.James,J.A.Davis i J.O.Leckie,J.Colloid Interface Sci.,
65,331 (1978).
231. *Spravočník himika*, tom 3, Himija, Moskva, 1964, str. 106-
107.
232. Dž.N.Batler, *Ionie ravnovesija (matematičeskoe opisanie)*,
per.s angl. Himija, Lenjingrad, 1973.
233. W.Drost-Hansen,J.Colloid Interface Sci.,58,251(1977).
234. K.Klier i A.C.Zettlemoyer,J.Colloid Interface Sci.,58,
216(1977).
235. A.C.Zettlemoyer i H.H.Hsing,J.Colloid Interface Sci.,58,
263(1977).
236. A.D.Read i J.A.Kitchener,J.Colloid Interface Sci.,30,391
(1969).
237. D.Eagland i A.P.Allen,J.Colloid Interface Sci.,58,230
(1977).
238. R.A.Horne,A.F.Day,R.P.Young i N.T.Yu,Electrochim.Acta,13,
397(1968).
239. S.Trasatti,J.Chim.Phys.,72,561(1975).
240. W.Drost-Hansen,J.Engng.Chem.,61,10(1969).
241. W.Drost-Hansen, *Proc.First Internatl.Symposium on Water
Desal.*, October 1965,vol.1.,382-406. Published by U.S.Govt.
Printing Office, Spring, 1967.
242. N.N.Fedjakin,Koloidn.Ž.,24,497(1962).
243. B.V.Derjagin,N.V.Čuraev,M.V.Talaev i I.G.Eršova,Izv.Akad.
Nauk SSSR, SER.him.,2178(1967).
244. A.Adamson, *Fizičeskaja himija poverhnostej*, per.s angl.,Mir,
Moskva, 1979.
245. D.L.Roussen i S.P.S.Porto,Science,167,1715(1970).
246. E.R.Lippincott,R.R.Stromberg,W.H.Grant i G.L.Cessac,
Science,164, 1482(1969).

247. B.V.Deryaguin, Z.M.Zorin, Ya.I.Rabinovich i N.V.Churaev, J. Colloid Interface Sci., 46, 437(1974).
248. B.Ball i D.W.Fuerstenau, Disc.Faraday Soc., 52, 361(1971).
249. R.F.Hirsch, H.C.Stober, M.Kowblansky, F.N.Hubner i A.W.O'Connell, Anal.Chem., 45, 2100(1973).
250. A.G.Datar, P.S.Ramanathan i M.S.Das, J.Chromatogr., 93, 217 (1974).
251. S.K.Milonjić i M.M.Kopečni, J.Chromatogr., 172, 357(1979).
252. N.H.C.Cooke, E.F.Barry i B.S.Solomon, J.Chromatogr., 109, 57 (1975).
253. V.A.Černoplekova, A.M.Korolj i K.I.Sakodinskij, Izv..Akad. Nauk.SSSR, SER.Him.No 4, 834(1975).
254. H.P.Boehm, Advan.Catalysis, 16, 179(1966).
255. S.Kondo, F.Fujiwara i M.Muroya, J.Colloid Interface Sci., 55, 421(1976).
256. B.V.Kuznetsov, J.Colloid Interface Sci., 48, 58(1974).
257. K.Okerse, *Poristij kremnezjom, u Stroenie i svojstva adsorbentov i katalizatorov*, Red.B.G.Linsena, Mir, Moskva, 1973, str.233-284.
258. D.E.Yates, R.O.James i T.W.Healy, J.C.S.Faraday I, 76, 1 (1980).
259. D.E.Yates i T.W.Healy, J.C.S.Faraday I, 76, 9(1980).
260. M.Muroya i S.Kondo, Bull.Chem.Soc. Japan, 43, 3453(1970).
261. A.V.Dumanskij, *Liofiljnost dispersnih sistem* Izd.ANUSSR, Kiev, 1960.
262. A.W.Adamson, *Physical Chemistry of Surfaces*, Interscience, 1967, str. 541-543.
263. W.D.Harkins, *The Physical Chemistry of Surface Films*, Reinhold Publ.Corp., New York, 1957, str. 275.
264. O.V.Bažan, V.B.Fenelonov, D.V.Tarasova i G.N.Kustova, *Koloidn.ž.*, 41, 1043(1979).
265. S.Greg i K.Sing, *Adsorbcija, udeljnaja poverhnost, poristost*, per.s angl., Mir, Moskva, 1970, str.335-346.
266. V.L.Razin, S.K.Milonjić i Ju.G.Frolov, Dep.VINITI (SSSR), No.1442-78 (1978).

267. V.L.Razin,S.K.Milonjić i Ju.G.Frolov,Dep.VINITI (SSSR), No.2287-78 (1978).
268. Ju.G.Frolov,S.K.Milonjić i V.L.Razin,Koloidn.ž.,41,516 (1979).
269. Ju.G.Frolov,S.K.Milonjić i V.L.Razin,Tr.MHTI im.D.I.Mendeljeeva,107,1979,str.65.
270. S.K.Milonjić,V.L.Razin i Ju.G.Frolov,Koloidn.ž.,42,147 (1980).
271. M.M.Kopečni,R.J.Laub i S.K.Milonjić,Anal.Chem.,52,1032 (1980).

8. P R I L O G

0,10	0,09	0,07	0,05	0,12	0,18	0,27	0,47
0,35	0,31	0,27	0,20	0,17	0,20	0,30	0,45
0,50	0,45	0,38	0,32	0,37	0,44	0,38	0,50
0,60	0,57	0,48	0,40	0,35	0,35	0,38	0,50
0,75	0,68	0,58	0,48	0,24	0,38	0,43	0,68
1,00	0,78	0,68	0,58	0,48	0,38	0,47	0,67
0,10	0,09	0,07	0,05	0,12	0,18	0,27	0,47
0,19	0,08	0,06	0,05	0,11	0,18	0,20	0,30
0,25	0,07	0,05	0,05	0,12	0,17	0,24	0,38
0,50	0,05	0,05	0,05	0,12	0,17	0,24	0,38
1,00	0,07	0,05	0,05	0,12	0,17	0,24	0,38
0,75	0,06	0,05	0,05	0,12	0,17	0,24	0,38

Tablica 1P. Eksperimentalni podaci sorpcije Li^+ , Na^+ , K^+ i Cs^+ -jona iz hloridnih rastvora na koloidnom SiO_2 ,
 $T = 298 \text{ K}$

Jon	C mol/dm ³	pH=6,5	7,0	Γ , mmol/g				
				7,5	8,0	8,5	9,0	9,5
Li^+	0,10	0,04	0,05	0,08	0,11	0,16	0,26	0,43
	0,25	0,05	0,07	0,10	0,14	0,22	0,34	0,54
	0,50	0,06	0,09	0,13	0,18	0,25	0,38	0,59
	1,0	0,08	0,10	0,15	0,22	0,32	0,46	0,68
	2,5	0,13	0,19	0,27	0,38	0,54	0,76	1,00
Na^+	0,10	0,06	0,08	0,11	0,14	0,19	0,27	0,43
	0,25	0,08	0,10	0,13	0,17	0,23	0,33	0,50
	0,50	0,06	0,09	0,12	0,17	0,24	0,36	0,55
	1,0	0,08	0,11	0,15	0,26	0,29	0,42	0,63
	2,5	0,10	0,14	0,20	0,28	0,41	0,59	0,87
	4,0	0,08	0,12	0,19	0,28	0,42	0,62	0,96
K^+	0,10	0,06	0,07	0,10	0,13	0,18	0,27	0,43
	0,25	0,04	0,07	0,10	0,15	0,20	0,30	0,45
	0,50	0,06	0,08	0,12	0,17	0,24	0,34	0,50
	1,0	0,07	0,09	0,14	0,18	0,26	0,38	0,57
	2,5	0,08	0,12	0,18	0,24	0,34	0,47	0,68
	4,0	0,06	0,11	0,16	0,24	0,34	0,47	0,67
Cs^+	0,10	0,06	0,08	0,11	0,15	0,20	0,30	0,47
	0,25	0,07	0,08	0,12	0,17	0,24	0,34	0,50
	0,50	0,05	0,08	0,12	0,17	0,24	0,35	0,52
	1,0	0,07	0,11	0,15	0,21	0,28	0,40	0,57
	2,5	0,06	0,10	0,15	0,22	0,30	0,41	0,58

Tablica 2P. Eksperimentalni podaci sorpcije Li^+ , Na^+ i Cs^+ -jona iz sulfatnih rastvora na koloidnom SiO_2 ,
 $T = 298 \text{ K}$.

Jon	C mol/dm ³	Γ , mmol/g						
		pH=6,5	7,0	7,5	8,0	8,5	9,0	9,5
Li^+	0,10	0,03	0,04	0,06	0,10	0,16	0,24	0,42
	0,25	0,05	0,07	0,10	0,15	0,23	0,35	0,55
	0,50	0,07	0,10	0,14	0,20	0,30	0,47	0,73
Na^+	0,025	0,04	0,06	0,08	0,11	0,15	0,21	0,36
	0,05	0,06	0,09	0,11	0,14	0,19	0,27	0,43
	0,10	0,07	0,09	0,11	0,16	0,21	0,30	0,47
	0,25	0,07	0,10	0,13	0,17	0,23	0,34	0,51
	0,50	0,09	0,11	0,15	0,20	0,27	0,38	0,60
	1,0	0,03	0,06	0,10	0,17	0,25	0,39	0,61
Cs^+	0,05	0,05	0,07	0,10	0,14	0,20	0,31	0,47
	0,10	0,05	0,08	0,11	0,16	0,24	0,34	0,53
	0,25	0,06	0,08	0,14	0,19	0,27	0,38	0,56
	0,50	0,08	0,11	0,15	0,21	0,28	0,40	0,58
	1,0	0,09	0,13	0,18	0,24	0,32	0,44	0,63

Tablica 3P. Uporedjenje veličine sorpcije Li^+ - i Cs^+ -jona iz hloridnih i sulfatnih rastvora na koloidnom SiO_2 različite specifične površine, $T = 298 \text{ K}$

	C mol/dm ³	S_p m^2/g	Γ , mmol/g						
			pH=6,5	7,0	7,5	8,0	8,5	9,0	9,5
1,0 LiCl	294	0,09	0,12	0,16	0,23	0,33	0,48	0,71	
	310	0,07	0,11	0,15	0,20	0,29	0,43	0,68	
0,50 Li_2SO_4	247	0,07	0,10	0,14	0,20	0,30	0,47	0,73	
	310	0,07	0,11	0,15	0,20	0,29	0,43	0,68	
1,0 CsCl	247	0,08	0,12	0,17	0,22	0,31	0,43	0,62	
	310	0,07	0,11	0,15	0,21	0,28	0,40	0,57	

Tablica 4P. Korišćeni parametri za izračunavanje konstanti ionizacije silanolnih grupa i konstanti ionizacije površinskih kompleksa. Sistem: koloidni SiO_2 /rastvor Cs_2SO_4 , $T = 298 \text{ K}$, $N = 7,85 \text{ SiOH}/1 \text{ nm}^2$

$\text{Cs}_2\text{SO}_4'$ mol \cdot dm $^{-3}$	pH	α_-	$\alpha_- \text{-log} C_{\text{Cs}} +$	$\alpha + \sqrt{C_{\text{Cs}} +}$	$pK_{\text{a}2}$	$pK_{\text{a}2} + \log C_{\text{Cs}} +$	$pK_{\text{a}2}^{\text{int.}}$
1	2	3	4	5	6	7	8
0,05	6,5	0,011	1,011	0,327	8,46	7,46	7,92
	7,0	0,019	1,019	0,335	8,72	7,72	7,80
	7,5	0,030	1,030	0,346	9,02	8,02	7,70
	8,0	0,042	1,042	0,358	9,36	8,36	7,54
	8,5	0,061	1,061	0,377	9,69	8,69	7,56
	9,0	0,095	1,095	0,411	9,98	8,98	7,89
0,10	9,5	0,146	1,146	0,463	10,26	9,26	7,77
	10,0	0,238	1,238	0,554	10,50	9,50	7,77
	6,5	0,016	0,715	0,463	8,30	7,60	7,38
	7,0	0,023	0,722	0,471	8,62	7,92	7,50
0,15	7,5	0,036	0,735	0,483	8,93	8,23	7,40
	8,0	0,050	0,749	0,497	9,28	8,58	7,37
	8,5	0,075	0,774	0,522	9,59	8,89	7,53
	9,0	0,106	0,805	0,553	9,93	9,23	6,95
	9,5	0,165	0,864	0,612	10,20	9,50	7,70
	10,0	0,259	0,958	0,706	10,46	9,76	7,55
0,25	6,5	0,019	0,320	0,726	8,22	7,90	7,35
	7,0	0,028	0,329	0,735	8,54	8,24	7,48
	7,5	0,044	0,345	0,751	8,84	8,54	7,34
	8,0	0,059	0,360	0,766	9,20	8,90	7,10
	8,5	0,084	0,385	0,791	9,54	9,24	7,09
	9,0	0,118	0,419	0,826	9,87	9,57	6,86
0,50	9,5	0,174	0,475	0,882	10,18	9,88	6,45
	10,0	0,271	0,572	0,978	10,43	10,13	6,70

Nastavak tablice 4P.

	1	2	3	4	5	6	7	8
0,50	6,5	0,025	0,025	1,025	8,09	8,09	6,50	
	7,0	0,034	0,034	1,034	8,45	8,45	6,64	
	7,5	0,048	0,048	1,048	8,79	8,79	6,57	
	8,0	0,065	0,065	1,065	9,15	9,15	6,32	
	8,5	0,089	0,089	1,089	9,51	9,51	6,03	
	9,0	0,125	0,125	1,125	9,85	9,85	-	
	9,5	0,181	0,181	1,181	10,16	10,16	-	
	10,0	0,280	0,280	1,280	10,41	10,41	-	
	6,5	0,028	-0,273	1,442	8,04	8,34	6,41	+ 0,24
	7,0	0,039	-0,262	1,453	8,39	8,69	6,61	
1,0	7,5	0,054	-0,246	1,469	8,74	9,04	6,68	
	8,0	0,075	-0,226	1,489	9,09	9,39	6,67	
	8,5	0,098	-0,203	1,512	9,46	9,76	6,51	
	9,0	0,136	-0,166	1,550	9,80	10,10	5,88	
	9,5	0,196	-0,105	1,610	10,11	10,41	6,41	
	10,0	0,290	-0,011	1,704	10,39	10,69	6,33	
							6,37	+ 0,32

Tablica 5P. Korišćeni parametri za izračunavanje konstanti ionizacije silanolnih grupa i konstanti ionizacije površinskih kompleksa. Sistem: koloидni SiO_2 /rastvor CsCl , $T = 298 \text{ K}$, $N = 7,85 \text{ SROH}/1 \text{ nm}^2$

$C_{\text{CsCl}}, \text{mol} \cdot \text{dm}^{-3}$	pH	α_-	$\alpha_- \cdot \log C_{\text{Cs}} +$	$\alpha + \sqrt{C_{\text{Cs}}}$	$pK_{\text{a}2}$	$pK_{\text{a}2} + \log C_{\text{Cs}} +$	$pK_{\text{a}2}$	prakt.
1	2	3	4	5	6	7	8	
0,10	6,5	0,009	1,009	0,325	8,53	7,53	7,98	
	7,0	0,016	1,016	0,332	8,80	7,80	8,00	
	7,5	0,025	1,025	0,341	9,09	8,09	8,02	
	8,0	0,039	1,039	0,355	9,39	8,39	8,04	
	8,5	0,059	1,059	0,375	9,70	8,70	7,95	
	9,0	0,095	1,095	0,411	9,98	8,98	8,38	
0,25	9,25	0,117	1,117	0,433	10,13	9,13	8,31	
	6,5	0,012	0,614	0,512	8,40	7,80	8,10	$\pm 0,17$
	7,0	0,022	0,624	0,522	8,65	8,05	7,73	
	7,5	0,031	0,633	0,531	8,99	8,39	7,61	
	8,0	0,047	0,649	0,547	9,31	8,71	7,80	
	8,5	0,072	0,674	0,572	9,61	9,01	-	
0,50	9,0	0,104	0,706	0,604	9,93	9,33	7,36	
	9,25	0,131	0,733	0,631	10,07	9,47	7,55	
	6,5	0,016	0,317	0,723	8,30	8,00	7,55	
	7,0	0,025	0,326	0,732	8,59	8,29	7,45	
	7,5	0,036	0,337	0,743	8,93	8,63	7,43	
	8,0	0,058	0,359	0,765	9,21	8,91	7,58	
1,0	8,5	0,083	0,384	0,790	9,54	9,24	-	
	9,0	0,118	0,419	0,825	9,87	9,57	7,55	
	9,25	0,146	0,447	0,854	10,02	9,72	7,61	
	6,5	0,019	0,019	1,019	8,22	8,22	7,35	
	7,0	0,028	0,028	1,028	8,54	8,54	7,50	
	7,5	0,044	0,044	1,044	8,84	8,84	7,53	
1,0	8,0	0,065	0,065	1,065	9,15	9,15	7,18	
	8,5	0,090	0,090	1,090	9,50	9,50	7,32	
	9,0	0,131	0,131	1,131	9,82	9,82	7,62	
	9,25	0,154	0,154	1,154	9,99	9,99	7,56	

Tabela 6P. Korišćeni parametri za izračunavanje konstanti ionizacije silanolnih grupa i konstanti ionizacije površinskih kompleksa. Sistem: koloidni SiO_2 /rastvor LiCl,
 $T = 298 \text{ K}$, $N = 7,85 \text{ SiOH}/1 \text{ nm}^2$

$C_{\text{LiCl}} \cdot 10^{-3}$ mol.dim ⁻³	pH	α_-	$\alpha_- - \log C_{\text{Li}^+}$	$\alpha_- + \sqrt{C_{\text{Li}^+}}$	$pK_{\text{a}2}$	$pK_{\text{a}2} + \log C_{\text{Li}^+}$	$pK_{\text{a}2} + \log C_{\text{Li}^+}$ + pK _{int.}
1	2	3	4	5	6	7	8
0,10	6,5	0,010	1,010	0,326	8,50	7,50	5,77
	7,0	0,012	1,012	0,329	8,90	7,90	6,85
	7,5	0,017	1,017	0,334	9,25	8,25	7,35
	8,0	0,026	1,026	0,342	9,57	8,57	7,62
	8,5	0,040	1,040	0,356	9,88	8,88	7,83
	9,0	0,063	1,063	0,380	10,17	9,17	8,09
	9,5	0,104	1,104	0,420	10,43	9,43	8,46
	10,0	0,171	1,171	0,487	10,68	9,68	8,53 ± 0,88
	6,5	0,012	0,614	0,512	8,40	7,80	6,72
	7,0	0,017	0,619	0,517	8,75	8,15	6,58
0,25	7,5	0,022	0,624	0,522	9,14	8,54	7,40
	8,0	0,035	0,637	0,535	9,44	8,84	7,70
	8,5	0,052	0,659	0,552	9,76	9,16	7,81
	9,0	0,082	0,684	0,582	10,05	9,45	8,11
	9,5	0,129	0,731	0,629	10,33	9,73	8,33
	10,0	0,201	0,803	0,701	10,60	10,00	8,17
	6,5	0,015	0,316	0,722	8,32	8,02	7,16
	7,0	0,022	0,322	0,729	8,64	8,34	6,90
	7,5	0,030	0,331	0,737	9,01	8,71	7,04
	8,0	0,043	0,344	0,750	9,34	9,04	7,21
0,50	8,5	0,062	0,363	0,769	9,68	9,38	7,23
	9,0	0,093	0,394	0,800	9,99	9,69	7,53
	9,5	0,144	0,445	0,851	10,27	9,97	8,04
	10,0	0,218	0,519	0,926	10,55	10,25	7,83
						7,37	± 0,40

Tablica 7P. Korišćeni parametri za izračunavanje konstanti ionizacije silanolnih grupa i konstanti ionizacije površinskih kompleksa. Sistem: koloidni SiO_2 /rastvor Li_2SO_4 , $T=298 \text{ K}$, $N = 7,85 \text{ SiOH}/1 \text{ nm}^2$.

$C_{Li_2SO_4}$ mol.dm $^{-3}$	pH	α_-	$\alpha_{-\log C_{Li^+}}$	$\alpha_{-\sqrt{C_{Li^+}}}$	pK_{a2}	$pK_{a2+\log C_{Li^+}}$	$pK_{a2}^{int.}$
1	2	3	4	5	6	7	8
0,10	6,5	0,009	0,708	0,456	8,53	7,83	6,80
	7,0	0,012	0,712	0,460	8,90	8,20	7,52
	7,5	0,019	0,718	0,466	9,22	8,52	7,96
	8,0	0,031	0,730	0,478	9,49	8,79	8,17
	8,5	0,050	0,749	0,497	9,78	9,08	8,17
	9,0	0,075	0,774	0,522	10,09	9,39	7,06
	9,5	0,131	0,830	0,578	10,32	9,62	7,55
						7,60	$\pm 0,54$
						7,60	
						6,70	
0,25	6,5	0,016	0,317	0,723	8,30	8,00	6,90
	7,0	0,022	0,323	0,729	8,65	8,35	6,90
	7,5	0,031	0,332	0,738	8,99	8,69	7,15
	8,0	0,047	0,348	0,754	9,31	9,01	7,47
	9,0	0,109	0,410	0,816	9,91	9,61	6,95
	9,5	0,178	0,479	0,885	10,16	9,86	7,24
						7,19	$\pm 0,41$
						7,04	
						7,04	
						7,13	
0,50	6,5	0,020	0,020	1,020	8,19	8,19	
	7,0	0,030	0,030	1,030	8,52	8,52	
	7,5	0,044	0,044	1,044	8,84	8,84	
	8,0	0,062	0,062	1,062	9,18	9,18	
	8,5	0,093	0,093	1,093	9,49	9,49	7,34
9,0	9,0	0,140	0,140	1,140	9,79	9,79	7,37
	9,5	0,215	0,215	1,215	10,06	10,06	7,32
							7,20 $\pm 0,14$

	1	2	3	4	5	6	7	8
6,5	0,022	-0,279	1,436	8,15	8,45	6,91		
7,0	0,031	-0,270	1,445	8,49	8,79	7,09		
7,5	0,047	-0,259	1,461	8,81	9,11	7,14		
8,0	0,065	-0,236	1,480	9,15	9,45	6,94		
8,5	0,097	-0,204	1,511	9,47	9,77	7,14		
9,0	0,143	-0,158	1,558	9,78	10,08	6,99		
9,5	0,221	-0,080	1,635	10,05	10,35	7,02		
							7,03	± 0,09

Tabela 8F. Korišćeni parametri za izučavanje konstanti ionizacije silanolnih grupa i konstanti ionizacije površinskih kompleksa. Sistem: koloidni $\text{SiO}_2/\text{rastvor KCl}$, $T = 298 \text{ K}$, $N = 7,85 \text{ SiOH}/1 \text{ nm}^2$

Nastavak tabulice 8P.

163

	1	2	3	4	5	6	7	8
0,75	6,5	0,016	0,141	0,882	8,28	8,15	6,47	
	7,0	0,022	0,147	0,888	8,64	8,52	6,53	
	7,5	0,030	0,155	0,896	9,01	8,88	6,92	
	8,0	0,045	0,170	0,911	9,33	9,20	7,42	
	8,5	0,064	0,190	0,930	9,66	9,54	7,50	
	9,0	0,092	0,217	0,958	10,00	9,88	7,14	
1,0	9,5	0,136	0,262	1,002	10,30	10,18	7,20	
	6,5	0,017	0,017	1,017	8,25	8,25	6,34	
	7,0	0,024	0,024	1,024	8,62	8,62	6,53	
	7,5	0,032	0,032	1,032	8,98	8,98	6,87	
	8,0	0,047	0,047	1,047	9,31	9,31	7,29	
	8,5	0,070	0,070	1,070	9,63	9,63	7,63	
2,5	9,0	0,097	0,097	1,097	9,97	9,97	7,05	
	9,5	0,144	0,144	1,144	10,27	10,27	7,15	
	6,5	0,020	-0,378	1,601	8,19	8,59	6,58	
	7,0	0,026	-0,372	1,607	8,57	8,97	7,30	
	7,5	0,040	-0,358	1,621	8,88	9,28	7,50	
	8,0	0,058	-0,340	1,639	9,21	9,61	7,57	
4,0	8,5	0,083	-0,315	1,664	9,54	9,94	7,62	
	9,0	0,117	-0,281	1,698	9,88	10,28	7,51	
	9,5	0,166	-0,232	1,747	10,20	10,60	7,51	
	6,5	0,020	-0,582	2,020	8,19	8,79	6,85	
	7,0	0,027	-0,575	2,027	8,55	9,15	7,19	
	7,5	0,040	-0,562	2,040	8,88	9,48	7,42	
8,0	8,0	0,060	-0,542	2,060	9,20	9,80	7,63	
	8,5	0,084	-0,518	2,084	9,54	10,14	7,60	
	9,0	0,117	-0,485	2,117	9,88	10,48	7,44	
	9,5	0,166	-0,436	2,166	10,20	10,80	7,44	
						7,36	+ 0,27	

Tablica 9P. Korišćeni parametri za izračunavanje konstanti ionizacije silanolnih grupa i konstanti ionizacije površinskih kompleksa. Sistem: koloidni SiO_2 /rastvor NaCl,
 $T = 298 \text{ K}$, $N = 7,85 \text{ SiOH}/1 \text{ nm}^2$

$C_{\text{NaCl}}, \text{mol} \cdot \text{dm}^{-3}$	pH	α_-	$\alpha_- \log C_{\text{Na}}^+$	$\alpha_- + \sqrt{C_{\text{Na}}^+}$	$pK_{\text{a}2}$	$pK_{\text{a}2} + \log C_{\text{Na}}^+$	$pK_{\text{a}2}^{\text{int.}}$
1	2	3	4	5	6	7	8
0,10	6,5	0,010	1,010	0,326	8,50	7,50	7,38
	7,0	0,015	1,015	0,331	8,82	7,82	7,18
	7,5	0,020	1,020	0,336	9,19	8,19	7,56
	8,0	0,032	1,032	0,348	9,48	8,48	7,93
	8,5	0,045	1,045	0,361	9,83	8,83	7,33
	9,0	0,067	1,067	0,383	10,14	9,14	7,47
	9,5	0,105	1,105	0,422	10,43	9,43	7,48
	6,5	0,017	0,619	0,517	8,25	7,63	-
	7,0	0,025	0,627	0,525	8,60	8,00	-
	7,5	0,030	0,632	0,530	9,01	8,41	-
0,25	8,0	0,041	0,643	0,541	9,37	8,77	-
	8,5	0,055	0,657	0,555	9,74	9,14	-
	9,0	0,079	0,681	0,579	10,06	9,46	-
	9,5	0,123	0,725	0,623	10,35	9,75	-
	6,5	0,020	0,321	0,727	8,19	7,89	-
0,50	7,0	0,028	0,330	0,736	8,53	8,23	-
	7,5	0,040	0,341	0,747	8,88	8,58	-
	8,0	0,050	0,351	0,757	9,28	8,98	-
	8,5	0,066	0,367	0,773	9,65	9,35	-
	9,0	0,092	0,393	0,799	10,00	9,70	-
	9,5	0,139	0,440	0,846	10,29	9,99	-
						7,30*	

* Vrednost dobijena grafičkom ekstrapolacijom

	1	2	3	4	5	6	7	8
1,0	6,5	0,022	0,022	1,022	8,14			
	7,0	0,030	0,030	1,030	8,51	8,51	-	-
	7,5	0,032	0,032	1,032	8,98	8,98	-	-
	8,0	0,057	0,057	1,057	9,22	9,22	-	-
	8,5	0,079	0,079	1,079	9,56	9,56	-	-
	9,0	0,109	0,109	1,109	9,91	9,91	-	-
2,5	9,5	0,161	0,161	1,161	10,22	10,22	-	-
	6,5	0,022	-0,376	1,603	8,14	8,54	7,06	
	7,0	0,032	-0,366	1,613	8,48	8,88	7,30	
	7,5	0,050	-0,348	1,631	8,78	9,18	7,27	
	8,0	0,067	-0,331	1,648	9,14	9,54	6,90	
	8,5	0,099	-0,299	1,680	9,46	9,86	7,30	
4,0	9,0	0,144	-0,254	1,725	9,77	10,17	7,37	
	9,5	0,213	-0,185	1,794	10,07	10,47	7,31	
	6,5	0,022	-0,580	2,022	8,14	8,74	7,22+0,17	
	7,0	0,032	-0,570	2,032	8,48	9,08	7,26	
	7,5	0,050	-0,552	2,050	8,78	9,38	7,23	
	8,0	0,070	-0,532	2,070	9,13	9,73	7,00	
8,5	8,5	0,104	-0,498	2,104	9,43	10,03	7,36	
	9,0	0,155	-0,447	2,155	9,74	10,34	7,12	
	9,5	0,238	-0,364	2,238	10,00	10,60	7,15	
							7,16+0,14	

* Vrednost dobijena grafickom ekstrapolacijom

Tablica 10P. Korišćeni parametri za izračunavanje konstanti ionizacije silanolnih grupa 1 konstanti ionizacije površinskih kompleksa. Sistem: koloidni SiO_2 /rastvor Na_2SO_4 ,
 $T = 298 \text{ K}$, $N = 7,85 \text{ SiOH}/1 \text{ nm}^2$

$C_{\text{Na}_2\text{SO}_4}$ mol. \cdot dm $^{-3}$	pH	α_-	$\alpha_- \cdot \log C_{\text{Na}^+}$	$\alpha_- + \sqrt{C_{\text{Na}^+}}$	$pK_{\text{a}2}$	$pK_{\text{a}2} + \log C_{\text{Na}^+}$	$pK_{\text{int.}}$
0,025	6,5	0,011	1,312	0,235	8,45	7,15	-
	7,0	0,015	1,316	0,238	8,82	7,52	-
	7,5	0,020	1,321	0,243	9,19	7,89	-
	8,0	0,026	1,327	0,250	9,57	8,27	-
	8,5	0,037	1,338	0,261	9,91	8,61	7,30*
	6,5	0,015	1,015	0,331	8,32	7,32	-
	7,0	0,021	1,021	0,337	8,66	7,66	-
	7,5	0,026	1,026	0,342	9,07	8,07	-
0,05	8,0	0,034	1,034	0,350	9,46	8,46	-
	8,5	0,047	1,047	0,363	9,81	8,81	-
	6,5	0,017	0,716	0,465	8,25	7,55	-
	7,0	0,022	0,721	0,470	8,64	7,94	-
	7,5	0,030	0,729	0,477	9,01	8,31	-
	8,0	0,040	0,739	0,487	9,38	8,68	-
	8,5	0,052	0,751	0,499	9,76	9,06	-
	6,5	0,020	0,321	0,727	8,19	7,89	-
0,10	7,0	0,025	0,326	0,732	8,60	8,30	-
	7,5	0,034	0,334	0,741	8,96	8,66	-
	8,0	0,043	0,344	0,750	9,34	9,04	-
	8,5	0,060	0,361	0,767	9,70	9,40	-
0,25	7,5	0,034	0,334	0,741	8,96	8,66	-
	8,0	0,043	0,344	0,750	9,34	9,04	-
8,5	0,060	0,361	0,767	0,770	9,70	9,40	-
	6,75*				6,75*		

* Vrednost dobijena grafičkom ekstrapolacijom

$C_{Na_2SO_4'}$ mol · dm ⁻³	pH	α_-	$\alpha_- \log C_{Na^+}$	$\alpha_- + \sqrt{C_{Na^+}}$	pK_{a2}	$pK_{a2} + \log C_{Na^+}$	pK_{a2}
0,50	6,5	0,022	0,022	1,022	8,14	8,14	-
	7,0	0,027	0,027	1,027	8,55	8,55	-
	7,5	0,037	0,037	1,037	8,91	8,91	-
	8,0	0,045	0,045	1,045	9,33	9,33	-
	8,5	0,064	0,064	1,064	9,66	9,66	-
	*				6,65*	6,65*	

* Vrednost dobijena grafikom ekstrapolacijom

Tablica 11P. Površinsko naelektrisanje koloidnog silicijumdioksida, σ_o ($\mu\text{C}\cdot\text{cm}^{-2}$), u prisustvu hlorida alkalnih metala, T = 298 K.

Jon	C, mol \cdot dm $^{-3}$	$-\sigma_o$, $\mu\text{C}\cdot\text{cm}^{-2}$						
		pH=6,5	7,0	7,5	8,0	8,5	9,0	9,5
Li ⁺	0,10	1,2	1,6	2,3	3,4	5,1	8,0	13,3
	0,25	1,6	2,2	3,1	4,5	6,8	10,6	16,6
	0,50	1,9	2,8	4,0	5,6	7,7	11,7	18,2
	1,0	2,3	3,2	4,6	6,8	9,9	14,2	21,0
	2,5	4,2	5,9	8,3	11,7	16,6	23,4	30,8
Na ⁺	0,10	1,9	2,5	3,4	4,3	5,9	8,3	13,3
	0,25	2,3	3,1	4,0	5,2	7,1	10,2	15,4
	0,50	2,0	2,8	3,7	5,2	7,4	11,1	17,0
	1,0	2,5	3,4	4,6	8,4	10,8	14,4	21,5
	2,5	3,1	4,3	6,2	8,8	12,6	18,2	26,8
	4,0	2,5	3,8	5,8	8,8	13,1	19,4	29,7
K ⁺	0,10	1,7	2,3	3,2	4,0	5,7	8,3	13,2
	0,25	2,1	2,1	3,2	4,6	6,3	9,2	14,0
	0,50	1,7	2,6	3,6	5,3	7,4	10,5	15,5
	1,0	2,3	2,8	4,3	5,7	8,0	11,8	17,8
	2,5	2,6	3,7	5,5	7,4	10,6	14,6	20,9
	4,0	2,0	3,4	5,0	7,4	10,5	14,6	20,6
Cs ⁺	0,10	1,7	2,5	3,4	4,6	6,2	9,3	14,5
	0,25	2,2	2,6	3,7	5,2	7,4	10,5	15,4
	0,50	1,6	2,6	3,7	5,2	7,6	10,8	16,1
	1,0	2,2	3,4	4,6	6,5	8,8	12,3	17,6
	2,5	1,9	3,1	4,6	6,8	9,3	12,6	17,9

Tablica 12P. Površinsko naelektrisanje koloidnog silicijumdioksida σ_o ($\mu\text{C}\cdot\text{cm}^{-2}$), u prisustvu sulfata alkalnih metala, $T = 298 \text{ K}$.

Jon	$C, \text{ mol}\cdot\text{dm}^{-3}$	pH=6,5	$-\sigma_o, \mu\text{C}\cdot\text{cm}^{-2}$					
			7,0	7,5	8,0	8,5	9,0	9,5
Li^+	0,10	1,2	1,6	2,4	3,9	6,2	9,5	16,3
	0,25	2,0	2,7	4,1	5,8	9,0	13,6	21,4
	0,50	2,7	4,1	5,4	7,8	11,6	18,3	28,4
Na^+	0,025	1,4	1,9	2,5	3,4	4,6	6,5	11,1
	0,05	1,9	2,8	3,4	4,3	5,9	8,3	13,3
	0,10	2,2	2,8	3,4	4,9	6,5	9,3	14,5
	0,25	2,2	3,1	4,0	5,2	7,1	10,5	15,8
	0,50	2,8	3,4	4,6	6,2	8,3	11,7	18,5
	1,0	0,9	1,9	3,1	5,2	7,7	12,0	18,8
Cs^+	0,05	2,0	2,7	4,1	5,4	7,8	12,0	18,3
	0,10	2,0	3,1	4,3	6,2	9,3	13,2	20,6
	0,50	3,1	4,3	5,8	8,2	10,9	15,6	22,6
	1,0	3,7	5,0	7,0	9,3	12,4	17,3	24,5

Tablica 13P. Površinsko naelektrisanje koloidnog silicijumdioksida, σ_o ($\mu\text{C}\cdot\text{cm}^{-2}$), u prisustvu Li^+ - i Cs^+ -jona, $T = 298 \text{ K}$

$C, \text{ mol}/\text{dm}^2$	$S_p, \text{ m}^2\text{g}^{-1}$	pH=6,5	$-\sigma_o, \mu\text{C}\cdot\text{cm}^{-2}$					
			7,0	7,5	8,0	8,5	9,0	9,5
1,0 LiCl	247	3,5	4,7	6,2	9,0	12,9	18,8	27,7
	310	2,5	3,1	4,7	6,8	10,0	14,3	21,2
0,5 Li_2SO_4	247	2,7	3,9	5,5	7,8	11,7	18,4	28,5
	310	2,2	3,4	4,7	6,2	9,0	13,4	21,2
1,0 CsCl	247	3,1	4,7	6,6	8,6	12,1	16,8	24,2
	310	2,2	3,4	4,7	6,5	8,7	12,4	17,7

Tablica 14P. Eksperimentalni podaci sorpcije

a) Li^+ -jona ib) Cs^+ -jona iz hloridnih rastvora na koloidnom
 SiO_2 pri različitim temperaturama

a)

Temperatura, K	C , mol/dm ³	Γ , mmol/g					
		pH=6,5	7,0	7,5	8,0	8,5	9,0
284	0,05	0,04	0,06	0,08	0,10	0,13	0,18
	0,10	0,05	0,06	0,08	0,12	0,16	0,22
	0,25	0,06	0,08	0,11	0,15	0,20	0,28
	0,50	0,08	0,10	0,14	0,18	0,25	0,34
	1,0	0,08	0,11	0,14	0,19	0,28	0,38
323	0,05	0,02	0,04	0,06	0,09	0,17	0,47
	0,10	0,04	0,06	0,09	0,13	0,24	0,58
	0,25	0,06	0,08	0,13	0,20	0,36	0,78
	0,50	0,08	0,11	0,18	0,28	0,47	1,01
	1,0	0,08	0,12	0,20	0,33	0,58	1,23
b)							
289	0,10	0,04	0,06	0,09	0,12	0,17	0,23
	0,25	0,05	0,08	0,12	0,17	0,23	0,31
	0,50	0,06	0,09	0,13	0,19	0,26	0,35
	1,0	0,06	0,09	0,13	0,19	0,26	0,35
323	0,05	0,04	0,06	0,10	0,15	0,26	0,50
	0,10	0,05	0,07	0,11	0,18	0,31	0,62
	0,25	0,05	0,08	0,14	0,22	0,36	0,68
	0,50	0,05	0,10	0,15	0,25	0,41	0,75
	1,0	0,05	0,10	0,18	0,28	0,45	0,82

Tablica 15P. Korišćeni parametri za izračunavanje konstanti ionizacije silanolnih grupa i konstanti ionizacije površinskih kompleksa. Sistem: koloidni SiO_2 /rastvor CsCl , $T = 289 \text{ K}$, $N = 7,85 \text{ SiOH}/1 \text{ nm}^2$

Nastavak tablice 15P.

	1	2	3	4	5	6	7	8
6,5	0,019	0,019	1,019	8,22	8,22	7,35		
7,0	0,028	0,028	1,028	8,54	8,54	7,43		
7,5	0,040	0,040	1,040	8,87	8,87	7,51		
8,0	0,059	0,059	1,059	9,20	9,20	7,67		
8,5	0,081	0,081	1,081	9,56	9,56	7,53		
9,0	0,111	0,111	1,111	9,90	9,90	7,74		
9,25	0,128	0,128	1,128	10,08	10,08	7,71		
						7,56+0,15		

Tablica 16P. Korišćeni parametri za izračunavanje konstanti ionizacije silanolnih grupa i konstanti ionizacije površinskih kompleksa. Sistem: koloidni SiO_2 /rastvor CsCl,
 $T = 323 \text{ K}$, $N = 7,85 \text{ SiOH}/1 \text{ nm}^2$

$C_{\text{CsCl}}, \text{mol} \cdot \text{dm}^{-3}$	pH	α_-	$\alpha_{-\log C_{\text{Cs}}+}$	$\alpha + \log C_{\text{Cs}}+$	$pK_{\text{a}2}$	$pK_{\text{a}2} + \log C_{\text{Cs}}+$	$pK_{\text{a}2}^{\text{int.}}$
1	2	3	4	5	6	7	8
0,05	6,5	0,014	1,315	0,238	8,35	7,05	-
	7,0	0,020	1,321	0,244	8,69	7,39	-
	7,5	0,030	1,331	0,253	9,02	7,72	-
	8,0	0,047	1,348	0,270	9,31	8,01	-
	8,5	0,081	1,382	0,305	9,56	8,26	-
	9,0	0,156	1,457	0,379	9,73	8,43	-
0,10	9,25	0,255	1,556	0,479	9,71	8,41	-
	6,5	0,016	1,016	0,332	8,30	7,30	-
	7,0	0,022	1,022	0,338	8,65	7,65	-
	7,5	0,034	1,034	0,350	8,95	7,95	-
	8,0	0,056	1,056	0,372	9,23	8,23	-
	8,5	0,097	1,097	0,413	9,47	8,47	-
0,25	9,0	0,193	1,193	0,509	9,62	8,62	-
	9,25	0,296	1,296	0,612	9,63	8,63	-
	6,5	0,016	0,618	0,516	8,30	7,70	7,75*
	7,0	0,026	0,628	0,526	8,56	7,96	7,66
	7,5	0,044	0,646	0,544	8,84	8,24	7,63
	8,0	0,070	0,672	0,570	9,12	8,52	7,56
9,0	8,5	0,114	0,716	0,614	9,39	8,79	7,39
	9,0	0,212	0,814	0,712	9,57	8,97	-
							7,56±0,12

* Vrednost dobijena grafičkom ekstrapolacijom

Nastavak tablice 16P.

174

	1	2	3	4	5	6	6	8
0,50	6,5	0,016	0,317	0,723	8,30	8,00	7,89	
	7,0	0,030	0,331	0,737	8,52	8,22	7,74	
	7,5	0,047	0,348	0,754	8,81	8,51	7,63	
	8,0	0,078	0,379	0,785	9,07	8,77	7,68	
	8,5	0,128	0,429	0,835	9,33	9,03	7,08	
	9,0	0,234	0,535	0,941	9,52	9,22	7,35	
							7,56+0,29	
							8,00	
							8,30	
							8,49	
1,0	6,5	0,016	0,016	1,016	8,30	8,49	7,92	
	7,0	0,031	0,031	1,031	8,49	8,73	7,74	
	7,5	0,056	0,056	1,056	8,73	8,73	7,74	
	8,0	0,087	0,087	1,087	9,02	9,02	7,16	
	8,5	0,140	0,140	1,140	9,29	9,29	-	
	9,0	0,255	0,255	1,255	9,46	9,46	7,00	
							7,31+0,75	

Tablica 17P. Korišćeni parametri za izračunavanje konstanti ionizacije silanolnih grupa i konstanti ionizacije površinskih kompleksa. Sistem: koloidni SiO_2 /rastvor LiCl,
 $T = 284 \text{ K}$, $N = 7,85 \text{ SiOH}/1 \text{ nm}^2$

$C_{\text{LiCl}}, \text{ mol} \cdot \text{dm}^{-3}$	pH	α_-	$\alpha_- \cdot \log C_{\text{Li}} +$	$\alpha_- + \sqrt{C_{\text{Li}}} +$	$pK_{\text{a}2}$	$pK_{\text{a}2} + \log C_{\text{Li}} +$	$pK_{\text{a}2}^{\text{int.}}$
1	2	3	4	5	6	7	8
0,05	6,5	0,014	1,315	0,238	8,35	7,05	-
	7,0	0,019	1,320	0,242	8,72	7,42	-
	7,5	0,023	1,324	0,247	9,12	7,82	-
	8,0	0,031	1,332	0,255	9,49	8,19	-
	8,5	0,040	1,342	0,264	9,87	8,57	-
	9,0	0,056	1,357	0,280	10,23	8,93	7,25*
0,10	6,5	0,016	1,016	0,332	8,30	7,30	-
	7,0	0,020	1,020	0,336	8,69	7,69	-
	7,5	0,026	1,026	0,343	9,06	8,06	-
	8,0	0,037	1,037	0,354	9,41	8,41	-
	8,5	0,048	1,048	0,364	9,79	8,79	-
	9,0	0,067	1,067	0,383	10,14	9,14	-
0,25	6,5	0,017	0,619	0,517	8,26	7,66	-
	7,0	0,025	0,627	0,525	8,59	7,99	-
	7,5	0,034	0,636	0,534	8,95	8,35	-
	8,0	0,047	0,649	0,547	9,31	8,71	-
	8,5	0,062	0,664	0,562	9,68	9,08	-
	9,0	0,087	0,689	0,587	10,02	9,42	7,00*

* Vrednost dobijera grafikom ekstrapolacijom

Nastavak tablice 17P.

	1	2	3	4	5	6	7	8
0,50	6,5	0,025	0,326	0,732	8,09	7,79	-	-
	7,0	0,031	0,332	0,738	8,49	8,19	-	-
	7,5	0,042	0,343	0,749	8,86	8,56	-	-
	8,0	0,054	0,356	0,762	9,24	8,94	-	-
	8,5	0,078	0,379	0,785	9,57	9,27	-	-
	9,0	0,108	0,408	0,815	9,92	9,62	-	-
1,0	6,5	0,026	0,026	1,026	8,06	8,06	-	-
	7,0	0,034	0,034	1,034	8,45	8,45	-	-
	7,5	0,045	0,045	1,045	8,82	8,82	-	-
	8,0	0,059	0,059	1,059	9,20	9,20	-	-
	8,5	0,086	0,086	1,086	9,53	9,53	-	-
	9,0	0,118	0,118	1,118	9,87	9,87	-	-
							6,80*	
								6,70*

* Vrednost dobijena grafičkom ekstrapolacijom

Tablica 18P. Korišćeni parametri za izračunavanje konstanti ionizacije silanolnih grupa i konstanti ionizacije površinskih kompleksa. Sistem: koloidni SiO_2 /rastvor LiCl ,
 $T = 323 \text{ K}$, $N = 7,85 \text{ SiOH}/1 \text{ nm}^2$

$C_{\text{LiCl}}, \text{mol} \cdot \text{dm}^{-3}$	pH	α_-	$\alpha_- \log C_{\text{Li}^+}$	$\alpha_- + \sqrt{C_{\text{Li}^+}}$	$pK_{\text{a}2}$	$pK_{\text{a}2} + \log C_{\text{Li}^+}$	$pK_{\text{a}2}^{\text{int.}}$
1	2	3	4	5	6	7	8
0,05	6,5	0,006	1,307	0,230	8,71	7,41	-
	7,0	0,011	1,312	0,234	8,96	7,66	-
	7,5	0,017	1,318	0,241	9,26	7,96	-
	8,0	0,028	1,329	0,252	9,54	8,24	-
	8,5	0,053	1,354	0,277	9,75	8,45	-
0,10	9,0	0,146	1,447	0,370	9,76	8,46	-
	6,5	0,012	1,012	0,329	8,40	7,40	-
	7,0	0,017	1,017	0,333	8,76	7,76	-
	7,5	0,028	1,028	0,344	9,04	8,04	-
	8,0	0,040	1,040	0,357	9,37	8,37	-
0,25	8,5	0,076	1,076	0,392	9,58	8,58	-
	9,0	0,181	1,181	0,497	9,66	8,66	-
	6,5	0,019	0,621	0,519	8,22	7,62	-
	7,0	0,025	0,627	0,525	8,59	7,99	-
	7,5	0,040	0,642	0,540	8,87	8,27	-
8,0	8,0	0,064	0,666	0,564	9,16	8,56	-
	8,5	0,111	0,713	0,611	9,40	8,80	-
	9,0	0,244	0,846	0,744	9,49	8,89	-
							7,55*

* Vrednost dobijena grafičkom ekstrapolacijom

Nastavak tablice 18P.

	1	2	3	4	5	6	7	8
0,50	6,5	0,023	0,324	0,730	8,12	7,82	-	-
	7,0	0,034	0,335	0,741	8,45	8,12	-	-
	7,5	0,056	0,357	0,763	8,73	8,43	-	-
	8,0	0,086	0,387	0,793	9,03	8,73	-	-
	8,5	0,146	0,447	0,854	9,26	8,96	-	-
	9,0	0,315	0,616	1,022	9,34	9,04	-	-
							7,40*	
1,0	6,5	0,023	0,023	1,023	8,12	8,12	-	-
	7,0	0,037	0,037	1,037	8,41	8,41	-	-
	7,5	0,062	0,062	1,062	8,68	8,68	-	-
	8,0	0,103	0,103	1,103	8,94	8,94	-	-
	8,5	0,179	0,179	1,179	9,16	9,16	-	-
	9,0	0,383	0,383	1,383	9,21	9,21	-	-
							7,15*	

* Vrednost dobijena grafičkom ekstrapolacijom

Tablica 19P. Vremena zadržavanja, t_R (min.), ispitivanih adsorbata na hromatografskoj koloni $\text{SiO}_2\text{-H}$

Adsorbat	T, K					
	343	373	403	433	473	503
Metan	0,78	0,78	0,78	0,77	0,81	0,83
n-Pentan	23,08	7,96	3,69	2,25	1,62	-
n-Heksan	-	19,50	7,14	3,63	2,18	-
n-Heptan	-	51,95	15,07	6,33	3,10	-
n-Oktan	-	-	33,34	11,70	4,67	-
Cikloheksan	-	18,16	7,17	3,81	2,24	-
Izooctan	-	73,83	20,26	8,21	3,70	-
1-Penten	-	-	10,01	5,33	4,65	2,06
1-Heksen	-	-	22,01	9,58	5,74	2,79
Ugljen tetra-hlorid	-	26,58	9,59	4,80	2,65	2,21
Hloroform	-	34,08	11,61	5,56	2,87	1,85
Metilenhlorid	-	21,91	8,36	4,37	2,43	1,85
Benzol	-	-	44,84	16,00	5,72	3,50
Hlorobenzol	-	-	97,01	27,41	9,25	5,11
Brombenzol	-	-	172,01	48,75	13,85	7,05
Toluol	-	-	141,01	36,65	10,95	5,71

Tablica 20P. Vremena zadržavanja, t_R (min), ispitivanih adsorbat-a na hromatografskoj koloni $\text{SiO}_2\text{-Li}$

Adsorbat	T, K					
	343	373	403	433	473	503
Metan	0,62	0,61	0,61	0,63	0,65	0,66
n-Pentan	11,10	4,69	2,47	1,66	1,19	-
n-Heksan	29,60	9,87	4,30	2,48	1,54	-
n-Heptan	80,25	21,70	7,87	3,85	2,05	-
n-Oktan	-	48,70	14,77	6,24	2,84	-
Cikloheksan	29,75	10,27	4,59	2,61	1,62	-
Izoooktan	124,00	31,00	10,55	4,85	2,42	-
1-Penten	27,84	9,56	4,34	2,44	1,47	1,21
1-Heksen	77,25	21,64	8,20	3,91	1,98	1,52
Ugljen tetra-hlorid	38,92	13,37	5,75	3,17	1,85	1,50
Hloroform	51,00	16,72	6,95	3,64	1,98	1,52
Metilen hlorid	32,34	11,99	5,54	3,07	1,75	1,39
Benzol	-	69,00	26,75	11,00	3,87	2,57
Hlorbenzol	-	-	42,74	15,14	5,27	3,37
Brombenzol	-	-	67,17	23,17	7,27	4,39
Toluol	-	-	71,00	25,17	7,20	3,97

Tablica 21P. Vremena zadržavanja, t_R (min.), ispitivanih adsorbata na hromatografskoj koloni $\text{SiO}_2\text{-Na}$

Adsorbat	T,K					
	343	373	403	433	473	503
Metan	0,64	0,65	0,67	0,69	0,68	0,73
n-Pentan	6,67	3,05	1,85	1,35	1,34	-
n-Heksan	15,70	5,65	2,84	1,81	1,80	-
n-Heptan	37,87	11,00	4,60	2,55	2,55	-
n-Oktan	85,00	21,91	7,78	3,76	3,75	-
Cikloheksan	15,60	5,86	3,03	1,94	1,93	-
Izooctan	52,87	14,58	5,77	3,06	3,05	-
1-Penten	15,99	5,39	2,97	1,80	1,23	1,09
1-Heksen	39,74	10,76	5,07	2,59	1,53	1,26
Ugljen-tetra-hlorid	19,67	7,38	3,65	2,28	2,27	-
Hloroform	27,75	9,36	4,35	2,55	2,55	-
Metilen hlorid	22,58	7,33	3,58	2,21	2,20	-
Benzol	-	61,00	17,75	6,74	6,73	1,95
Hlorbenzol	-	-	20,73	7,17	7,20	2,38
Brombenzol	-	-	32,90	12,60	12,60	2,96
Toluol	-	-	46,00	15,49	15,46	2,86

Tablica 22P. Vremena zadržavanja, t_R (min.), ispitivanih adsorbata na hromatografskoj koloni $\text{SiO}_2\text{-K}$

Adsorbat	T, K					
	343	373	403	433	473	503
Metan	0,74	0,73	0,75	0,78	0,81	0,84
n-Pentan	7,28	3,50	2,05	1,50	1,22	-
n-Heksan	19,00	6,71	3,19	2,00	1,45	-
n-Heptan	47,27	13,41	5,23	2,84	1,79	-
n-Oktan	120,00	27,83	9,08	4,19	2,29	-
Cikloheksan	20,00	7,23	3,47	2,15	1,54	-
Izooctan	66,51	17,88	6,67	3,40	2,02	-
l-Penten	14,87	5,47	2,67	1,76	1,33	1,19
l-Heksen	37,97	11,20	4,40	2,47	1,63	1,36
Ugljentetra-hlorid	24,50	8,85	4,05	2,44	1,65	-
Hloroform	33,16	11,36	4,70	2,67	1,52	-
Metilenhlorid	20,17	7,80	3,52	2,17	1,52	-
Benzol	-	50,08	13,00	5,39	2,59	1,82
Hlorbenzol	-	-	20,42	7,95	3,57	2,33
Brombenzol	-	-	32,58	11,50	4,63	2,83
Toluol	-	-	31,58	10,42	3,97	2,43

Tablica 23P. Vremena zadržavanja, t_R (min.), ispitivanih adsorbat-a na hromatografskoj koloni $\text{SiO}_2\text{-Cs}$

Absorbat	T,K					
	343	373	403	433	473	503
Metan	0,66	0,67	0,69	0,72	0,75	0,78
n-Pentan	5,48	2,64	1,66	1,27	1,06	1,00
n-Heksan	12,90	4,97	2,56	1,70	1,26	1,11
n-Heptan	31,67	9,85	4,26	2,42	1,55	1,28
n-Oktan	78,00	20,42	7,91	3,63	2,00	1,53
Cikloheksan	12,83	5,10	2,67	1,78	1,31	1,15
Izooctan	44,33	13,10	5,34	2,89	1,74	1,40
1-penten	10,23	4,08	2,19	1,51	1,16	1,05
1-Heksen	25,45	8,24	3,64	2,14	1,42	1,21
Ugljentetra-hlorid	16,92	6,37	3,19	2,02	-	-
Hloroform	32,28	11,10	-	-	-	-
Metilen-hlorid	16,77	6,40	3,16	1,96	1,35	-
Benzol	-	30,00	9,58	4,36	2,17	1,58
Hlorbenzol	-	59,00	17,68	7,30	3,17	2,09
Brombenzol	-	101,00	27,66	10,54	4,12	2,55
Toluol	-	85,75	22,75	8,52	3,35	2,13

Tablica 24P. Koeficijenti raspodele, K_R (cm^3/m^2), ispitivanih adsorbata sa korišćenim SiO_2 pri
a) 343 K i b) 373 K

a)

Adsorbat	$\text{SiO}_2\text{-H}$	$\text{SiO}_2\text{-Li}$	$\text{SiO}_2\text{-Na}$	$\text{SiO}_2\text{-K}$	$\text{SiO}_2\text{-Cs}$
n-Pantan	0,215	0,133	0,106	0,107	0,133
n-Heksan	-	0,367	0,265	0,298	0,336
n-Heptan	-	1,009	0,657	0,760	0,852
n-Oktan	-		1,488	1,948	2,125
Cikloheksan	-	0,369	0,264	0,314	0,334
Izootan	-	1,563	0,921	1,074	1,200
l-Penten	-	0,345	0,279	0,238	0,263
l-Heksen	-	0,971	0,711	0,628	0,681
Ugljentetrahlorid	-	0,485	0,336	0,388	0,447
Hloroform	-	0,638	0,478	0,530	0,869
Metilen hlorid	-	0,402	0,387	0,317	0,443

b)

n-Pantan	0,060	0,050	0,039	0,044	0,052
n-Heksan	0,155	0,113	0,082	0,095	0,113
n-Heptan	0,424	0,258	0,170	0,201	0,241
n-Oktan	-	0,588	0,348	0,429	0,518
Cikloheksan	0,144	0,118	0,086	0,103	0,116
Izootan	0,605	0,372	0,228	0,271	0,326
l-Penten	-	0,110	0,080	0,078	0,089
l-Heksen	-	0,257	0,170	0,172	0,198
Ugljentetrahlorid	0,214	0,156	0,110	0,128	0,150
Hloroform	0,276	0,197	0,143	0,168	-
Metilenhlorid	0,175	0,138	0,110	0,112	0,150
Benzol	-	0,836	0,989	0,781	0,664
Hlorbenzol	-	-	-	-	1,531
Brombenzol	-	-	-	-	2,633
Toluol	-	-	-	-	2,233

Tablica 25P. Koeficijenti raspodele, K_R (cm^3/m^2), ispitivanih adsorbata sa korišćenim SiO_2 pri
a) 433 K i b) 473 K

a)

Adsorbat	$\text{SiO}_2\text{-H}$	$\text{SiO}_2\text{-Li}$	$\text{SiO}_2\text{-Na}$	$\text{SiO}_2\text{-K}$	$\text{SiO}_2\text{-Cs}$
n-Pantan	0,013	0,012	0,010	0,011	0,013
n-Heksan	0,025	0,021	0,017	0,018	0,024
n-Heptan	0,048	0,036	0,029	0,030	0,041
n-Oktan	0,094	0,073	0,048	0,050	0,070
Cikloheksan	0,026	0,022	0,019	0,020	0,026
Izootkan	0,064	0,047	0,037	0,039	0,052
l-Penten	0,039	0,020	0,018	0,015	0,019
l-Heksen	0,076	0,037	0,030	0,026	0,034
Ugljentetrahlorid	0,035	0,028	0,025	0,024	0,031
Hloroform	0,041	0,034	0,029	0,028	-
Metilenhlorid	0,031	0,027	0,024	0,021	0,030
Benzol	0,132	0,116	0,094	0,068	0,088
Hlorbenzol	0,230	0,163	0,101	0,106	0,159
Brombenzol	0,414	0,253	0,185	0,159	0,237
Toluol	0,310	0,275	0,230	0,143	0,188

b)

n-Pantan	0,007	0,006	0,010	0,006	0,007
n-Heksan	0,011	0,009	0,017	0,009	0,012
n-Heptan	0,019	0,015	0,028	0,014	0,018
n-Oktan	0,032	0,023	0,047	0,022	0,029
Cikloheksan	0,012	0,010	0,019	0,011	0,013
Izootkan	0,024	0,019	0,036	0,018	0,023
l-Penten	0,032	0,009	0,008	0,008	0,010
l-Heksen	0,032	0,014	0,013	0,012	0,016
Ugljentetrahlorid	0,015	0,013	0,024	0,012	-
Hloroform	0,016	0,014	0,028	0,010	-
Metilenhlorid	0,013	0,012	0,023	0,010	0,014
Benzol	0,040	0,034	0,092	0,026	0,033
Hlorbenzol	0,069	0,049	0,099	0,040	0,056
Brombenzol	0,107	0,070	0,181	0,056	0,078
Toluol	0,083	0,070	0,225	0,046	0,060

Tablica 26P. Koeficijenti raspodele, K_R (cm^3/m^2), ispitivanih adsorbata sa korišćenim SiO_2 pri 503 K

Adsorbat	$\text{SiO}_2\text{-H}$	$\text{SiO}_2\text{-Li}$	$\text{SiO}_2\text{-Na}$	$\text{SiO}_2\text{-K}$	$\text{SiO}_2\text{-Cs}$
n-Pantan	-	-	-	-	0,005
n-Heksan	-	-	-	-	0,008
n-Heptan	-	-	-	-	0,011
n-Oktan	-	-	-	-	0,017
Cikloheksan	-	-	-	-	0,008
Izooctan	-	-	-	-	0,014
l-Penten	0,010	0,006	0,005	0,005	0,006
l-Heksan	0,016	0,009	0,008	0,007	0,010
Ugljentetrahlorid	0,011	0,009	-	-	-
Hloroform	0,008	0,009	-	-	-
Metilenhlorid	0,008	0,008	-	-	-
Benzol	0,021	0,020	0,018	0,013	0,018
Hlorbenzol	0,034	0,028	0,024	0,020	0,030
Brombenzol	0,049	0,039	0,033	0,027	0,040
Toluol	0,039	0,035	0,031	0,022	0,031

Tablica 27P. Promena slobodne energije adsorpcije,
 $\Delta G(\text{kJ}\cdot\text{mol}^{-1})$, ispitivanih organskih jedinjenja
na SiO_2 pri
a) 343 K i b) 373 K

a)

Adsorbat	$\text{SiO}_2\text{-H}$	$\text{SiO}_2\text{-Li}$	$\text{SiO}_2\text{-Na}$	$\text{SiO}_2\text{-K}$	$\text{SiO}_2\text{-Cs}$
n-Pantan	4,38	5,76	6,40	6,38	5,76
n-Heksan	-	2,86	3,78	3,45	3,11
n-Heptan	-	-0,02	1,20	0,78	0,46
n-Oktan	-	-	-1,13	-1,90	-2,16
Cikloheksan	-	2,84	3,80	3,30	3,12
Izooktan	-	-1,27	0,24	-0,20	-0,52
l-Panten	-	3,04	3,64	4,09	3,81
l-Heksen	-	0,08	0,97	1,33	1,10
Ugljentetrahlorid	-	2,06	3,12	2,70	2,30
Hloroform	-	1,28	2,11	1,81	4,00
Metilenhlorid	-	2,60	2,71	3,28	2,32

b)

n-Pantan	8,75	9,30	10,04	9,70	9,19
n-Heksan	5,78	6,76	7,76	7,31	6,77
n-Heptan	2,66	4,20	5,50	4,98	4,41
n-Oktan	-	1,65	3,27	2,62	2,04
Cikloheksan	6,01	6,62	7,63	7,05	6,67
Izooktan	1,56	3,07	4,58	4,05	3,48
l-Panten	-	6,86	7,85	7,91	7,49
l-Heksen	-	4,21	5,50	5,45	5,02
Ugljenetrahlorid	4,79	5,76	6,84	6,37	5,89
Hloroform	4,00	5,04	6,04	5,53	4,02
Metilenhlorid	5,41	6,12	6,86	6,79	5,88
Benzol	-	0,55	0,03	0,77	1,27
Hlorbenzol	-	-	-	-	-1,32
Brombenzol	-	-	-	-	-3,00
Toluol	-	-	-	-	-2,49

Tablica 28P. Promena slobodne energije adsorpcije,
 $\Delta G(\text{kJ} \cdot \text{mol}^{-1})$, ispitivanih organskih jedinjenja na
 SiO_2 pri a) 403 K i b) 473 K

a)

Adsorbat	$\text{SiO}_2\text{-H}$	$\text{SiO}_2\text{-Li}$	$\text{SiO}_2\text{-Na}$	$\text{SiO}_2\text{-Na}$	$\text{SiO}_2\text{-Cs}$
n-Pentan	12,34	12,88	13,30	13,20	12,43
n-Heksan	9,72	10,58	11,28	11,06	10,21
n-Heptan	7,01	8,25	9,28	9,04	8,05
n-Oktan	4,25	6,08	7,29	6,96	5,93
Cikloheksan	9,71	10,33	10,98	10,71	10,02
Izootkan	5,97	7,28	8,41	8,11	7,16
l-Penten	8,48	10,56	10,93	11,74	10,96
l-Heksen	5,68	8,17	8,75	9,58	8,68
Ugljentetrahlorid	8,63	9,48	10,20	10,06	9,24
Hloroform	7,94	8,77	9,50	9,46	-
Metilenhlorid	9,14	9,62	10,28	10,65	9,28
Benzol	3,24	4,03	4,36	5,67	4,99
Hlorbenzol	0,62	2,43	3,82	4,08	2,82
Brombenzol	-1,31	0,89	2,23	2,47	1,27
Toluol	-0,64	0,71	1,09	2,57	1,95

b)

n-Pentan	19,74	20,32	18,10	20,17	19,37
n-Heksan	17,65	18,34	16,02	18,39	17,49
n-Heptan	15,64	16,55	14,01	16,71	15,69
n-Oktan	13,59	14,79	12,05	15,08	13,93
Cikloheksan	17,51	18,00	15,58	17,88	17,12
Izootkan	14,73	15,61	13,06	15,89	14,84
l-Penten	13,60	18,64	18,77	19,17	18,28
l-Heksen	13,51	16,75	17,07	17,42	16,39
Ugljentetrahlorid	16,50	17,15	14,64	17,32	-
Hloroform	16,24	16,74	14,01	17,99	-
Metilenhlorid	16,97	17,49	14,82	17,99	16,80
Benzol	12,64	13,27	9,38	14,38	13,43
Hlorbenzol	10,51	11,85	9,09	12,64	11,34
Brombenzol	8,79	10,43	6,72	11,37	10,02
Toluol	9,78	10,47	5,87	12,11	11,05

Tablica 29P. Promena slobodne energije adsorpcije,
 $\Delta G(\text{kJ}\cdot\text{mol}^{-1})$, ispitivanih organskih jedinjenja
na SiO_2 pri 503 K

Adsorbat	$\text{SiO}_2\text{-H}$	$\text{SiO}_2\text{-Li}$	$\text{SiO}_2\text{-Na}$	$\text{SiO}_2\text{-K}$	$\text{SiO}_2\text{-Cs}$
n-Pentan	-	-	-	-	22,22
n-Heksan	-	-	-	-	20,46
n-Heptan	-	-	-	-	18,72
n-Oktan	-	-	-	-	17,01
Cikloheksan	-	-	-	-	19,99
Izooctan	-	-	-	-	17,85
l-Penten	19,30	21,53	21,90	22,23	21,35
l-Heksen	17,34	19,67	20,24	20,51	19,33
Ugljentetrahlorid	18,85	19,78	-	-	-
Hloroform	20,16	19,67	-	-	-
Metilenchlorid	20,16	20,39	-	-	-
Benzol	16,12	16,34	16,81	18,04	16,76
Hlorbenzol	14,14	14,89	15,54	16,25	14,70
Brombenzol	12,59	13,55	14,29	15,06	13,45
Toluol	13,59	14,05	14,48	15,98	14,57

Tablica 30P. Merene vrednosti toplove kvašenja $\text{SiO}_2\text{-H}$ u vodi,
 $T = 298\text{K}$. (Brojevi u zagradama označavaju temperaturu tretmana $\text{SiO}_2\text{-H}$)

Broj probe	$\text{SiO}_2\text{-H}$ (383 K), g	Oslobo- djena toplota,J	$-\Delta H_{k',-1}$ J.g	$\text{SiO}_2\text{-H}$ (483K), g	Oslobo- djena toplota,J	$-\Delta H_{k',-1}$ J.g
1.	0,0959	1,89	19,71	0,1071	2,11	19,70
2.	0,1170	2,40	20,51	0,1091	2,37	21,72
3.	0,1234	2,63	21,31	0,1319	2,68	20,32
4.	0,1273	2,65	20,82	0,1053	2,59	24,60
5.	0,1345	2,97	22,08	0,1279	2,74	21,42
6.	0,1330	2,71	20,38	0,0921	2,26	24,54
7.	0,1144	2,36	20,63	0,1482	3,20	21,59
8.	0,1223	2,40	19,62	0,1297	2,92	22,51

Broj probe	$\text{SiO}_2\text{-H}$ (573K), g	Oslobo- djena toplota,J	$-\Delta H_{k',-1}$ J.g	$\text{SiO}_2\text{-H}$ (673K), g	Oslobo- djena toplota,J	$-\Delta H_{k',-1}$ J.g
1.	0,1240	2,61	21,05	0,1508	3,13	20,76
2.	0,1115	2,30	20,63	0,1482	3,31	22,33
3.	0,1621	3,54	21,84	0,1406	3,02	21,48
4.	0,1638	3,68	22,47	0,1409	3,26	23,14
5.	0,1628	3,60	22,11	0,1335	2,62	19,62
6.	0,1093	2,13	19,49	0,1205	2,31	19,17
7.	0,1455	2,82	19,38	-	-	-
8.	0,1288	2,82	21,89	-	-	-

Broj probe	$\text{SiO}_2\text{-H}$ (873K), g	Oslobo- djena toplota,J	$-\Delta H_{k',-1}$ J.g	$\text{SiO}_2\text{-H}$ (1073K), g	Oslobo- djena toplota,J	$-\Delta H_{k',-1}$ J.g
1.	0,1249	2,46	19,70	0,1270	1,96	15,43
2.	0,1208	2,66	22,02	0,1284	2,66	20,72
3.	0,1170	2,61	22,31	0,1230	2,28	18,54
4.	0,1092	2,26	20,69	0,1164	2,24	19,24
5.	0,1098	2,46	22,40	0,1282	2,41	18,80
6.	0,1305	2,72	20,84	0,1392	2,66	19,11
7.	0,1192	2,40	21,02	0,1025	1,82	17,76
8.	0,1540	3,59	23,31	0,1291	2,66	20,60

Broj probe	$\text{SiO}_2\text{-H}$ (1273K), g	Oslobo- djena toplota,J	$-\Delta H_{k',-1}$ J.g
1.	0,1210	0,31	2,56
2.	0,2266	0,94	4,15
3.	0,2324	0,28	1,20

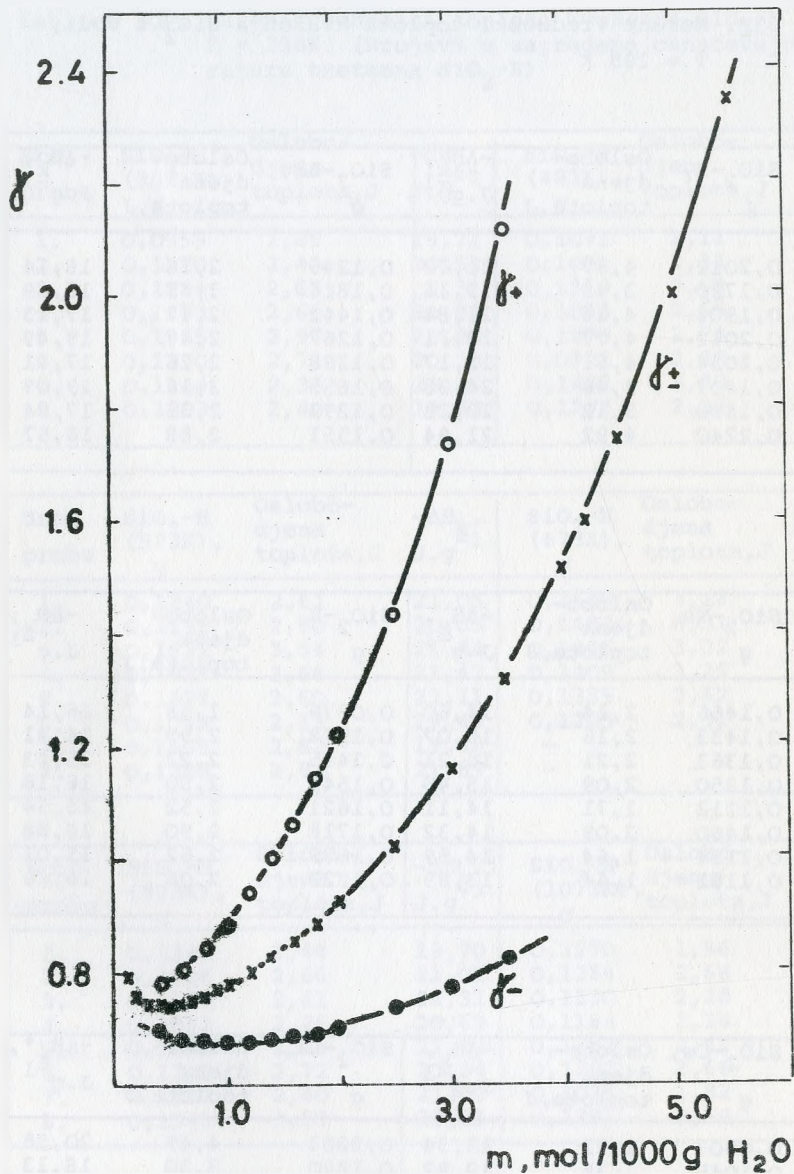
Tablica 31P. Merene vrednosti toplota kvašenja SiO_2 u vodi,
 $T = 298 \text{ K}$

Broj probe	$\text{SiO}_2\text{-H}$, g	Oslobo- djena toplota,J	$-\Delta H_{k_1'}$ J.g	$\text{SiO}_2\text{-Li}$, g	Oslobo- djena toplota,J	$-\Delta H_{k_1'}$ J.g
1.	0,2012	4,37	21,72	0,1246	2,26	18,14
2.	0,1790	3,43	19,16	0,1816	3,43	18,89
3.	0,1905	4,16	21,84	0,1442	2,47	17,13
4.	0,2012	4,77	23,71	0,1267	2,47	19,49
5.	0,2034	4,51	22,17	0,1298	2,26	17,41
6.	0,1407	3,46	24,38	0,1655	3,16	19,09
7.	0,1400	3,12	22,28	0,1299	2,33	17,94
8.	0,2240	4,92	21,94	0,1551	2,88	18,57

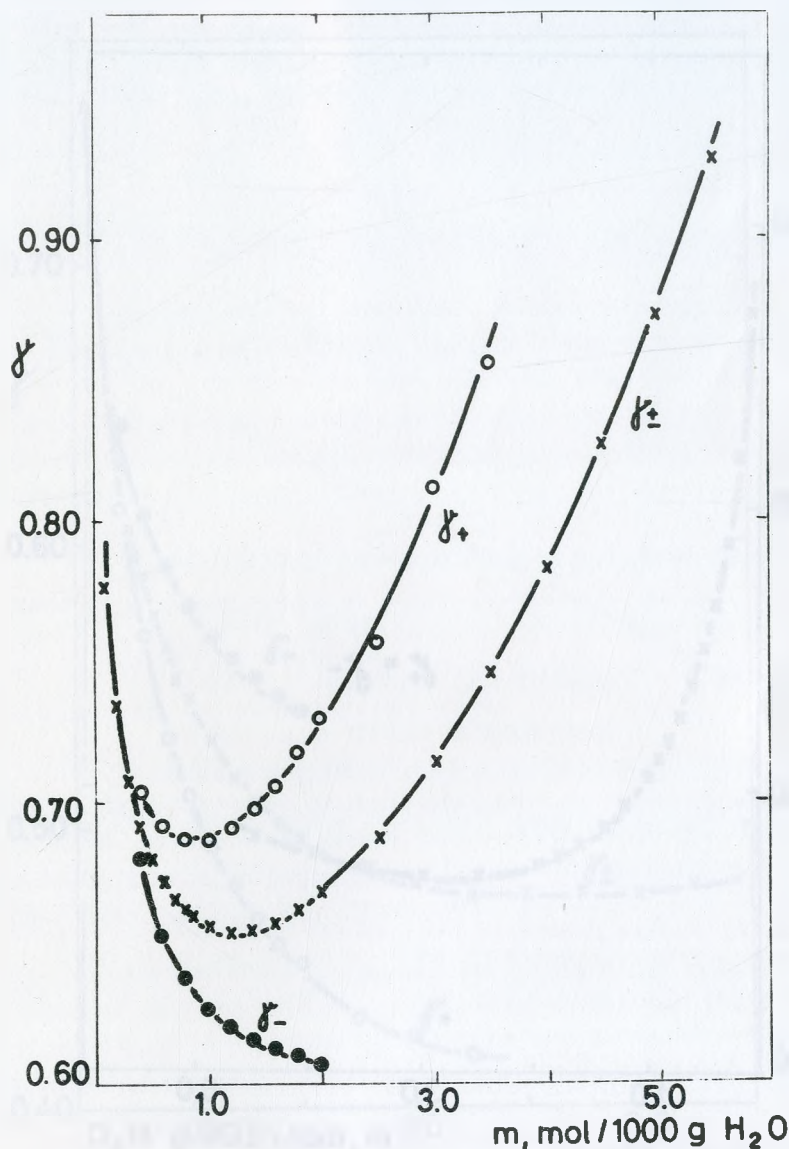
Broj probe	$\text{SiO}_2\text{-Na}$, g	Oslobo- djena toplota,J	$-\Delta H_{k_1'}$ J.g	$\text{SiO}_2\text{-K}$, g	Oslobo- djena toplota,J	$-\Delta H_{k_1'}$ J.g
1.	0,1466	2,14	14,60	0,0979	1,58	16,14
2.	0,1433	2,16	15,07	0,1578	2,59	16,41
3.	0,1363	2,21	16,21	0,1445	2,23	15,43
4.	0,1350	2,09	15,48	0,1545	2,50	16,18
5.	0,1212	1,71	14,11	0,1621	2,52	15,54
6.	0,1460	2,09	14,32	0,1718	2,90	16,88
7.	0,1124	1,64	14,59	0,1679	2,52	15,01
8.	0,1181	1,64	13,89	0,1222	2,04	16,69

Broj probe	$\text{SiO}_2\text{-Cs}$, g	Oslobo- djena toplota,J	$-\Delta H_{k_1'}$ J.g	$\text{SiO}_2\text{-Li}$, g	Oslobo- djena toplota,J	$-\Delta H_{k_1^*}$ J.g
1.	0,0907	1,21	13,34	0,2203	4,49	20,38
2.	0,1045	1,35	12,92	0,1820	3,30	18,13
3.	0,1486	1,78	11,98	0,1367	2,70	19,75
4.	0,1224	1,75	14,30	0,1211	2,25	18,58
5.	0,1028	1,28	12,45	0,1201	2,35	19,57
6.	0,1260	1,28	10,16	0,1445	2,53	17,51
7.	0,1207	1,43	11,85	0,1195	2,56	21,42
8.	0,1262	1,55	12,28	0,1441	2,74	19,01

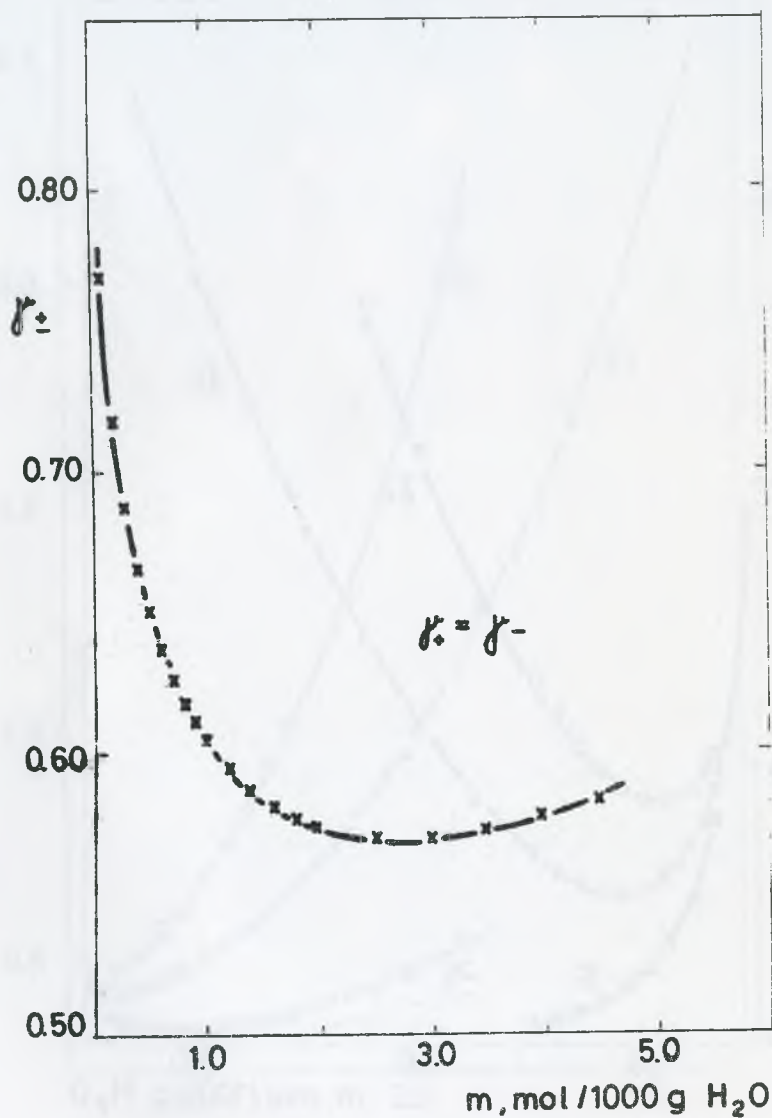
* Vrednost ΔH_k odnosi se na toplotu kvašenja uzorka $\text{SiO}_2\text{-Li}$ u $0,01 \text{ mol/dm}^3 \text{ HCl}$.



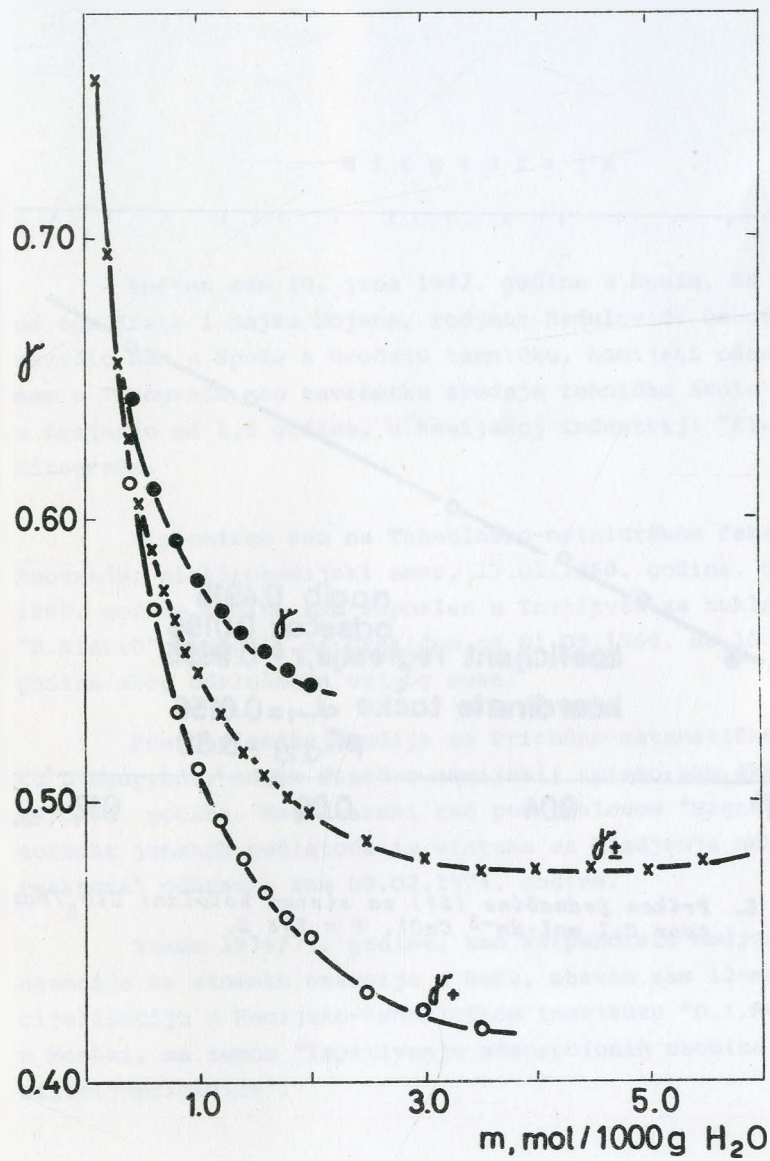
Sl. 1P. Zavisnost koeficijenata aktivnosti LiCl od koncentracije pri 298 K.



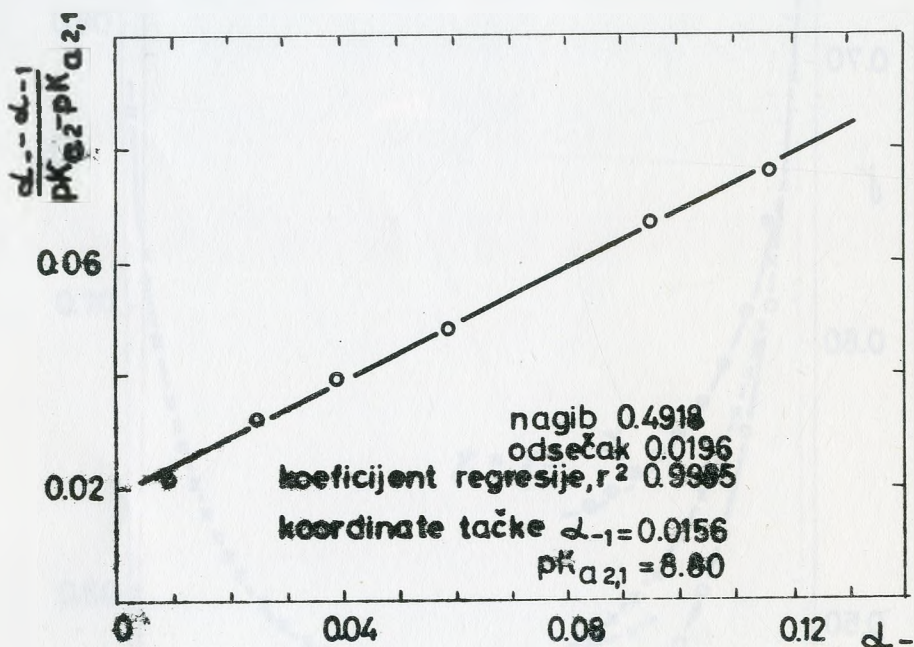
Sl. 2P. Zavisnost koeficijenata aktivnosti $NaCl$ od koncentracije pri 298 K.



Sl. 3P. Zavisanost koeficijenata aktivnosti KCl od koncentracije pri 298 K.



Sl. 4P. Zavisnost koeficijenata aktivnosti CsCl od koncentracije pri 298 K.



Sl. 5. Prikaz jednačine (57) za sistem koloidni SiO_2 /rastvor $0,1 \text{ mol} \cdot \text{dm}^{-3} CsCl$. $T = 298 \text{ K}$.



B i o g r a f i j a

Rodjen sam 10. juna 1942. godine u Spužu, SR Crna Gora, od oca Krsta i majke Bojane, rođene Radulović. Osnovnu školu završio sam u Spužu a srednju tehničku, hemijski odsek, završio sam u Titogradu. Po završetku srednje tehničke škole radio sam, u trajanju od 1,5 godine, u Hemijskoj industriji "Elastik" u Titogradu.

Diplomirao sam na Tehnološko-metalurškom fakultetu u Beogradu, elektrohemski smer, 17.01.1968. godine. Od 01.04. 1968. godine stalno sam zaposlen u Institutu za nuklearne nauke "B.Kidrič" u Vinči, sa prekidom od 01.09.1969. do 15.07.1970. godine zbog odsluženja vojnog roka.

Postdiplomske studije na Prirodno-matematičkom fakultetu u Beogradu, odsek fizičko-hemijski, upisao sam školske 1970/71. godine. Magistarski rad pod naslovom "Magnetit kao adsorbent jonskih nečistoća iz sistema za hladjenje nuklearnih reaktora" odbranio sam 09.02.1974. godine.

Tokom 1976/77. godine, kao stipendista Medjunarodne agencije za atomsku energiju u Beču, obavio sam 12-mesečnu specijalizaciju u Hemijsko-tehnološkom institutu "D.I.Mendeljejev" u Moskvi, sa temom "Ispitivanje adsorpcionih osobina koloidnog silicijumdioksiда".

Прилог 1.

Изјава о ауторству

Изјављујем да је докторска дисертација под насловом

Сорпциони процеси на граничној површини колоидног силицијумдиоксида

- резултат сопственог истраживачког рада,
- да нисам кршио/ла ауторска права и користио интелектуалну својину других лица.

Потпис

У Београду, 6. октобра 2015.

Slobodan Mložić

Прилог 2.

Изјава о коришћењу

Овлашћујем Универзитетску библиотеку „Светозар Марковић“ да у Дигитални репозиторијум Универзитета у Београду унесе моју докторску дисертацију под насловом:

Сорпциони процеси на граничној површини колоидног силицијумдиоксида

која је моје ауторско дело.

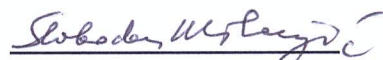
Сагласан/на сам да електронска верзија моје дисертације буде доступна у отвореном приступу.

Моју докторску дисертацију похрањену у Дигитални репозиторијум Универзитета у Београду могу да користе сви који поштују одредбе садржане у одабраном типу лиценце Креативне заједнице (Creative Commons) за коју сам се одлучио/ла.

1. Ауторство
2. Ауторство - некомерцијално
- 3. Ауторство – некомерцијално – без прераде**
4. Ауторство – некомерцијално – делити под истим условима
5. Ауторство – без прераде
6. Ауторство – делити под истим условима

(Молимо да заокружите само једну од шест понуђених лиценци. Кратак опис лиценци дат је на следећој страници.)

Потпис



У Београду, 6. октобра 2015.